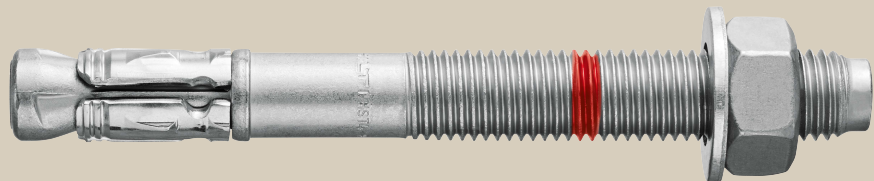




**HILTI HST4-R, HST4
EXPANSION ANCHOR
ETA-21/0878 (31.10.2024)**



English	2-33
Français	34-65
Polski	66-97

Centre Scientifique et
Technique du
Bâtiment

84 avenue Jean Jaurès
CHAMPS-SUR-MARNE
F-77447 Marne-la-Vallée Cedex 2

Tél. : (33) 01 64 68 82 82

Fax : (33) 01 60 05 70 37

**European Technical
Assessment**

**ETA-21/0878
of 31/10/2024**

English translation prepared by CSTB - Original version in French language

General Part

Technical Assessment Body issuing the European Technical Assessment:

Centre Scientifique et Technique du Bâtiment (CSTB)

Trade name:

Hilti HST4-R, HST4

Product family:

Torque-controlled expansion anchor for use in concrete: sizes M8, M10, M12, M16 and M20.

Manufacturer:

Hilti Aktiengesellschaft
Feldkircherstrasse 100
FL-9494 Schaan
Principality of Liechtenstein

Manufacturing plants:

Hilti plants

This European Technical
Assessment contains:

32 pages including 29 pages of annexes which form an
integral part of this assessment

This European Technical
Assessment is issued in
accordance with Regulation (EU)
No 305/2011, on the basis of:

EAD 330232-01-0601-v05 "Mechanical fasteners for use in
concrete C12/15 to C90/105 and in steel fibre reinforced concrete"

This Assessment replaces:

ETA-21/0878 of 28/02/2023

The European Technical Assessment is issued by the Technical Assessment Body in its official language. Translations of this European Technical Assessment in other languages shall fully correspond to the original issued document and shall be identified as such. Communication of this European Technical Assessment, including transmission by electronic means, shall be in full. However, partial reproduction may only be made with the written consent of the issuing Technical Assessment Body. Any partial reproduction shall be identified as such. This European Technical Assessment may be withdrawn by the issuing Technical Assessment Body, in particular pursuant to information by the Commission in accordance with Article 25(3) of Regulation (EU) No 305/2011.

Specific Part

1 Technical description of the product

The Hilti HST4-R and HST4 anchor is a torque-controlled expansion anchor made of stainless steel (HST4-R) or galvanised steel (HST4) which is placed into a drilled hole and anchored by torque-controlled expansion.

The product description is given in Annexes A.

2 Specification of the intended use

The performances given in Section 3 are only valid if the anchor is used in compliance with the specifications and conditions given in Annexes B.

The provisions made in this European technical assessment are based on an assumed working life of the anchor of 50 years. The indications given on the working life cannot be interpreted as a guarantee given by the producer but are to be regarded only as a means for choosing the right products in relation to the expected economically reasonable working life of the works.

3 Performance of the product

3.1 Mechanical resistance and stability (BWR 1)

Essential characteristic	Performance
Characteristic resistance in case of static and quasi-static loading, displacements	See Annexes C1 to C5
Characteristic resistance in case of seismic performance category C1, displacements	See Annexes C6 and C7
Characteristic resistance in case of seismic performance category C2, displacements	See Annexes C8 to C10
Durability	See Annex B1

3.2 Safety in case of fire (BWR 2)

Essential characteristic	Performance
Reaction to fire	Anchorage satisfy requirements for Class A1
Resistance to fire	See Annexes C11 to C13

3.3 Hygiene, health and the environment (BWR 3)

Regarding dangerous substances contained in this European Technical Assessment, there may be requirements applicable to the products falling within its scope (e.g. transposed European legislation and national laws, regulations and administrative provisions). In order to meet the provisions of the Construction Products Directive, these requirements need also to be complied with, when and where they apply.

3.4 Safety in use (BWR 4)

For Basic requirement Safety in use the same criteria are valid as for Basic Requirement Mechanical resistance and stability.

3.5 Protection against noise (BWR 5)

Not relevant.

3.6 Energy economy and heat retention (BWR 6)

Not relevant.

3.7 Sustainable use of natural resources (BWR 7)

For the sustainable use of natural resources no performance was determined for this product.

3.8 General aspects relating to fitness for use

Durability and Serviceability are only ensured if the specifications of intended use according to Annex B1 are kept.

4 Assessment and verification of constancy of performance (AVCP)

According to the Decision 96/582/EC of the European Commission¹, as amended, the system of assessment and verification of constancy of performance (see Annex V to Regulation (EU) No 305/2011) given in the following table apply.

Product	Intended use	Level or Class	System
Metal anchors for use in concrete	For fixing and/or supporting to concrete, structural elements (which contributes to the stability of the works) or heavy units	—	1

5 Technical details necessary for the implementation of the AVCP system, as planned in the relevant EAD

Technical details necessary for the implementation of the Assessment and verification of constancy of performance (AVCP) system are laid down in the control plan deposited at Centre Scientifique et Technique du Bâtiment.

The manufacturer shall, on the basis of a contract, involve a notified body approved in the field of anchors for issuing the certificate of conformity CE based on the control plan.

The original French version is signed by:

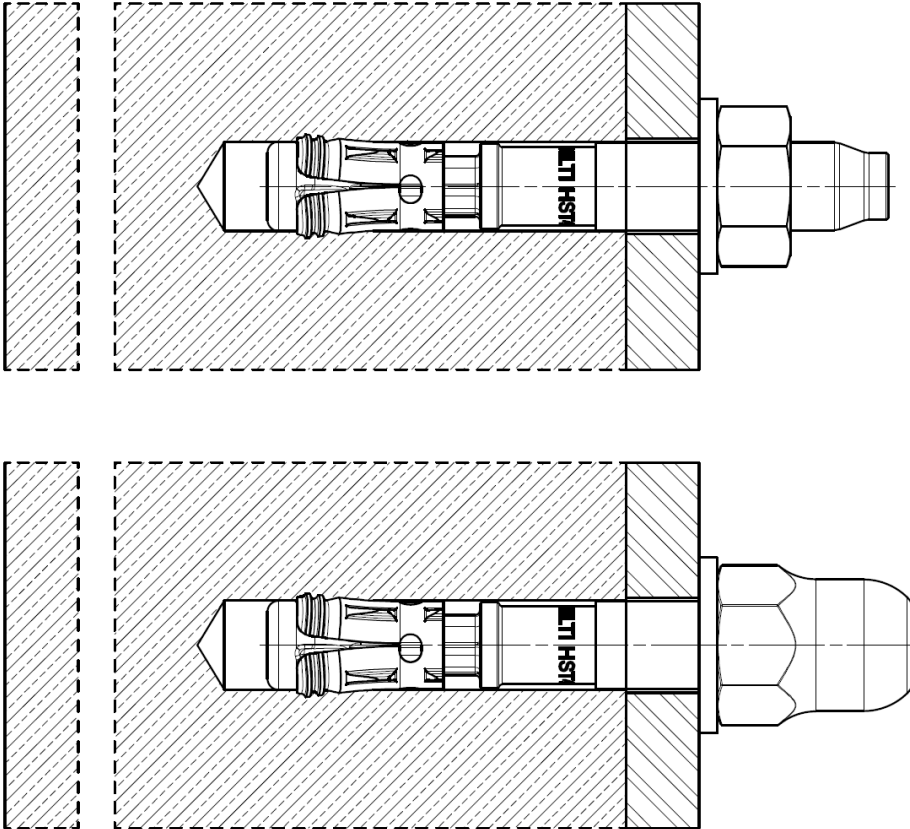
Loic PAYET
Head of the Structure, Masonry, Partition Division

¹ Official Journal of the European Communities L 254 of 08.10.1996

Installed condition

Figure A1:

Hilti metal expansion anchor HST4-R, HST4 with respectively a standard hexagon nut or an optional dome nut



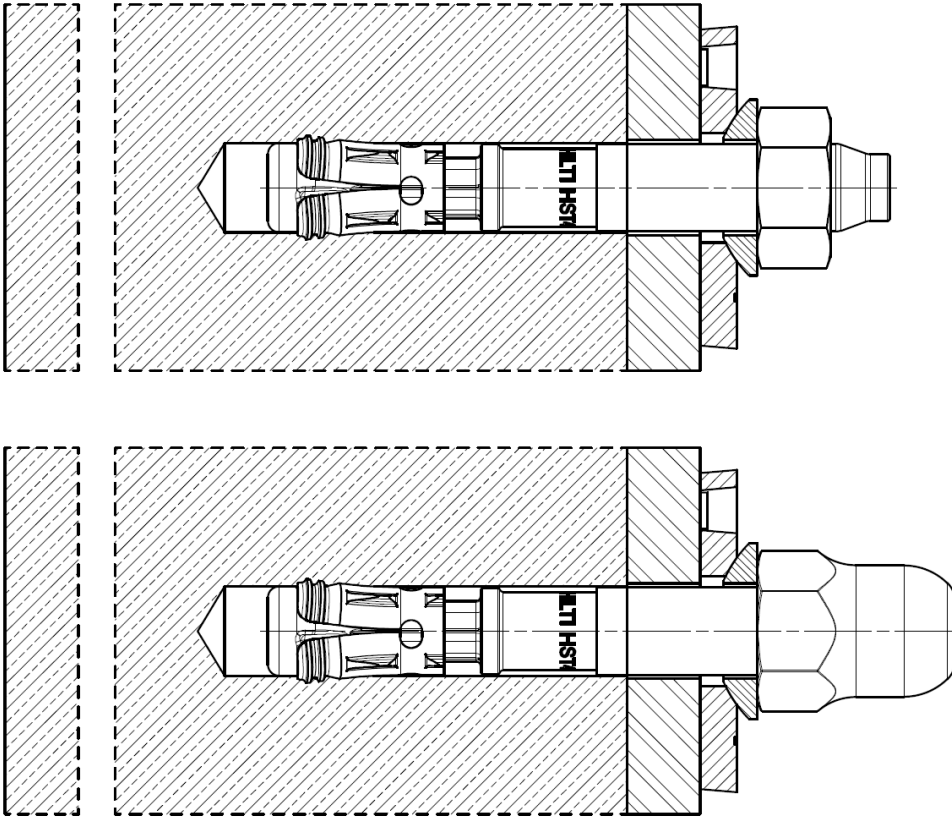
Hilti HST4-R, HST4

Product description
Installed condition

Annex A1

Figure A2:

Hilti metal expansion anchor HST4-R, HST4 with Filling Set and respectively standard hexagon nut or optional dome nut

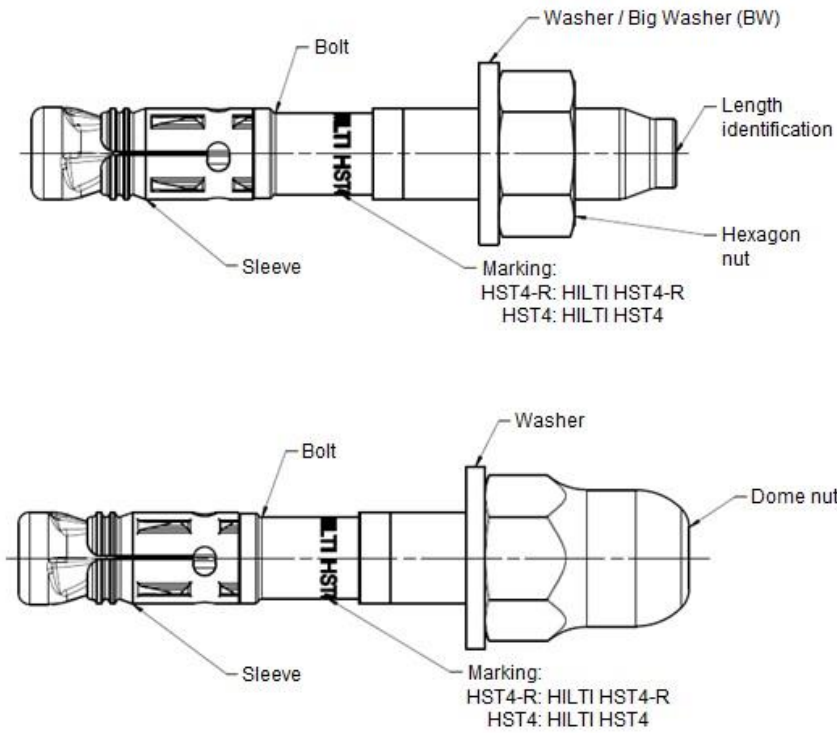


Hilti HST4-R, HST4

Product description
Installed condition

Annex A2

Product description: Hilti metal expansion anchor HST4-R, HST4



Hilti HST4-R, HST4

Product description
Anchor types, marking and identification

Annex A3

Table A1: Length identification HST4-R, HST4

Letter		A	B	C	D	E	F	G
Anchor length	≥ [mm]	38,1	50,8	63,5	76,2	88,9	101,6	114,3
	< [mm]	50,8	63,5	76,2	88,9	101,6	114,3	127,0

Letter		H	I	J	K	L	M	N
Anchor length	≥ [mm]	127,0	139,7	152,4	165,1	177,8	190,5	203,2
	< [mm]	139,7	152,4	165,1	177,8	190,5	203,2	215,9

Letter		O	P	Q	R	S	T	U
Anchor length	≥ [mm]	215,9	228,6	241,3	254,0	279,4	304,8	330,2
	< [mm]	228,6	241,3	254,0	279,4	304,8	330,2	355,6

Letter		V	W	X	Y	Z	AA	BB
Anchor length	≥ [mm]	355,6	381,0	406,4	431,8	457,2	482,6	508,0
	< [mm]	381,0	406,4	431,8	457,2	482,6	508,0	533,4

Letter		CC	DD	EE
Anchor length	≥ [mm]	533,4	558,8	584,2
	< [mm]	558,8	584,2	609,6

Hilti HST4-R, HST4

Product description
 Length identification

Annex A4

Table A2: Materials, Hilti HST4-R, HST4

Designation	Material
HST4-R (stainless steel)	
Corrosion resistance class III according EN 1993-1-4:2006+A1:2015	
Expansion sleeve	Stainless steel A4 according to EN 10088-1:2014
Bolt	Stainless steel A4 according to EN 10088-1:2014 Rupture elongation ($l_0 = 5d$) > 8 %
Washer	Stainless steel A4 according to EN 10088-1:2014
Hexagon nut Dome nut	Stainless steel A4 according to EN 10088-1:2014
HST4 (carbon steel)	
Expansion sleeve	M8-M20: carbon steel, galvanized, $\geq 5 \mu\text{m}$ or stainless steel according to EN 10088-1:2014
Bolt	Carbon steel, galvanized, $\geq 5 \mu\text{m}$, cone coated (transparent), Rupture elongation ($l_0 = 5d$) > 8 %
Washer	Carbon steel, galvanized, $\geq 5 \mu\text{m}$
Hexagon nut Dome nut	Carbon steel, galvanized, $\geq 5 \mu\text{m}$
Filling set	
HST4-R	
Corrosion resistance class III according EN 1993-1-4:2006+A1:2015	
Sealing washer	Stainless steel A4 according to EN 10088-1:2014
Spherical washer	Stainless steel A4 according to EN 10088-1:2014
HST4 (carbon steel)	
Sealing washer	Carbon steel, galvanized
Spherical washer	Carbon steel, galvanized
Mortar	
HST4-R, HST4	
Injection mortar	Injection mortar Hilti HIT-HY...

Hilti HST4-R, HST4

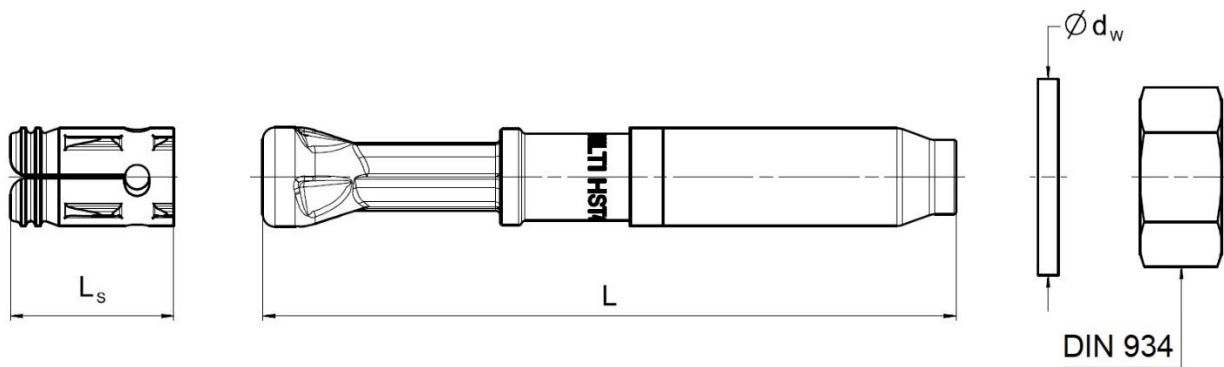
Product description
 Materials

Annex A5

Table A3: Fastener dimensions HST4-R, HST4

HST4-R, HST4	M8	M10	M12	M16	M20
Length of expansion sleeve L_s [mm]	15,0	18,0	20,0	26,0	28,3
Length of the bolt L [mm]	50-115	60-180	75-260	115-260	170-260
Outer diameter of washer $d_w \geq$ [mm]	16	20	24	30	37
Outer diameter of big washer version (BW) $d_w \geq$ [mm]	24	30	37	50	-

HST4-R, HST4



Hilti HST4-R, HST4

Product description
 Dimensions

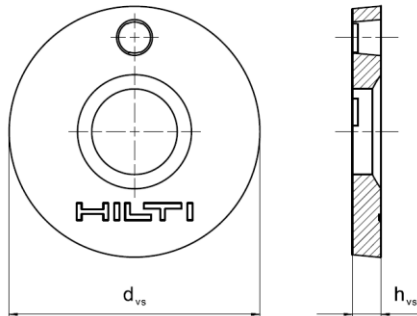
Annex A6

Filling Set to fill the annular gap between the anchor and the fixture

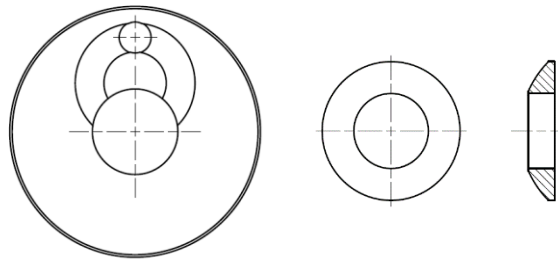
Table A4: Dimensions of the Filling Set used for HST4-R, HST4

Filling Set used for HST4-R, HST4			M8	M10	M12	M16	M20
Diameter of sealing washer	d_{vs}	[mm]	38	42	44	52	60
Thickness of sealing washer	h_{vs}	[mm]	5			6	
Thickness of Hilti Filling Set	h_{fs}	[mm]	8	9	10	11	13

Sealing washer



Spherical washer



Filling Set

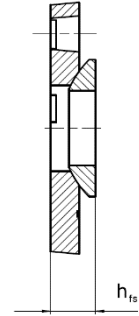
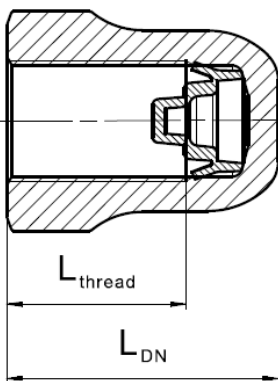


Table A5: Dimensions of the Dome nut

Dome nut used for HST4-R, HST4			M8	M10	M12	M16
Length of thread	$L_{thread} \geq$	[mm]	13,3	16,8	17,8	22,3
Length of nut	$L_{DN} \geq$	[mm]	18,1	21,9	24,0	29,5

Dome nut



Hilti HST4-R, HST4

Product description
 Dimensions

Annex A7

Specifications of intended use

Anchorage subject to:

- Static and quasi-static loading: all sizes.
- Seismic performance category C1 and C2: all sizes.
- Fire exposure: all sizes.

Base materials:

- Reinforced or unreinforced normal weight concrete according to EN 206:2013+ A1:2016.
- Strength classes C20/25 to C50/60 according to EN 206:2013+A1:2016.
- Cracked and uncracked concrete.
- The fastener is intended to be used in fibre reinforced concrete according to EN 206:2013+A2:2021 including steel fibres according to EN 14889-1:2006 clause 1, group I. The maximum content of steel fibres is 80 kg/m³.

Use conditions (Environmental conditions):

- HST4-R anchors made of stainless steel:
Structures subject to external / internal conditions see EAD.
- HST4 anchors made of galvanised steel:
Structures subject to dry internal conditions.

Design:

- Anchorages are designed under the responsibility of an engineer experienced in anchorages and concrete work.
- Verifiable calculation notes and drawings are prepared taking account of the loads to be anchored. The position of the anchor is indicated on the design drawings (e.g. position of the anchor relative to reinforcement or to supports etc.).
- Anchorages under static or quasi-static loading are designed in accordance with EN 1992-4:2018
- Anchorages under seismic actions (cracked concrete) are designed in accordance with EN 1992-4:2018
- Anchorages shall be positioned outside of critical regions (e.g. plastic hinges) of the concrete structure. Fastenings in stand-off installation or with a grout layer under seismic action are not covered in this European technical assessment (ETA).
- In case of requirements to resistance to fire local spalling of the concrete cover must be avoided.
- For effective embedment depth $h_{ef} < 40$ mm only statically indeterminate fixings (e.g. light weight suspended ceilings) and dry internal exposure only are covered by the ETA. These fixings are designed in accordance with EN 1992-4:2018, Clause 7 and Annex G.

Installation:

- Anchor installation carried out by appropriately qualified personnel and under the supervision of the person responsible for technical matters of the site.
- The anchor may only be set once.
- Drilling technique: see Table B1 and Table B2.
- Cleaning the hole of drilling dust.
- In case of aborted hole, drilling of a new hole at a minimum distance of twice the depth of the aborted hole, or smaller distance provided the aborted drill hole is filled with high strength mortar and no shear or oblique tension loads in the direction of aborted hole.

Hilti HST4-R, HST4

Annex B1

Intended use
Specifications




Table B1: Specifications of intended use

Anchorage subject to:	M8	M10	M12	M16	M20
Static and quasi static loading in plain cracked and uncracked concrete without fibres or in SFRC - hammer drilling ¹⁾ and diamond drilling ²⁾	✓ ¹⁾	✓	✓	✓	✓
Seismic performance category C1 in plain concrete without fibres or in SFRC - hammer drilling ¹⁾ and diamond drilling ²⁾	✓ ¹⁾	✓	✓	✓	✓
Seismic performance category C2 in plain concrete without fibres - hammer drilling ¹⁾ and diamond drilling ²⁾	✓ ¹⁾	✓	✓	✓	✓
Fire exposure in plain concrete without fibres or in SFRC - hammer drilling ¹⁾ and diamond drilling ²⁾	✓ ¹⁾	✓	✓	✓	✓

¹⁾ Hammer drilling with Hilti hollow drill bit (HDB) is not applicable to size M8




²⁾ Diamond drilling is covered by this ETA only for HST4-R

Table B2: Drilling technique

Anchorage subject to:	M8	M10	M12	M16	M20
Hammer drilling (HD) 	✓	✓	✓	✓	✓
Hammer drilling with Hilti hollow drill bit (HDB) 	-	✓	✓	✓	✓
Diamond drilling (DD) with: <ul style="list-style-type: none"> • DD EC-1 coring tool and TS or TL core bits • DD 30-W coring tool and SPX-T or SPX-T Abrasive core bits  • DD 150-U coring tool and SPX-L, SPX-L Abrasive or SPX-L Hand Held core bits 	✓ ¹⁾	✓ ¹⁾	✓ ¹⁾	✓ ¹⁾	✓ ¹⁾

¹⁾ Diamond drilling is covered by this ETA only for HST4-R

Table B3: Drill hole cleaning



Manual cleaning (MC): Hilti hand pump for blowing out boreholes 	
Compressed air cleaning (CAC): Air nozzle with an orifice opening of 3,5 mm in diameter 	
Automated cleaning (AC): Cleaning is performed during drilling with Hilti TE-CD and TE-YD drilling system including vacuum cleaner 	
Non-cleaning by 3 x venting	-

Hilti HST4-R, HST4

Intended use
 Specifications

Annex B2

Table B4: Methods for torquing

	HST4-R, HST4
Torque wrench 	M8 to M20
Machine torquing with Hilti SIW impact wrench and SI-AT adaptive torque module ¹⁾ 	M8 to M20

¹⁾ Combination of Hilti SIW + SI-AT tool, compatible to this anchor type, may be used

Table B5: Installation parameters HST4-R, HST4

HST4-R, HST4		M8	M10	M12	M16	M20
Nominal diameter of drill bit	d_0 [mm]	8	10	12	16	20
Max. cutting diameter of drill bit	d_{cut} [mm]	8,45	10,45	12,50	16,50	20,55
Max. diameter of clearance hole in the fixture ¹⁾	d_f [mm]	9	12	14	18	22
Effective anchorage depth	h_{ef} [mm]	30 - 90	30 - 100	40 - 125	65 - 160	101 - 180
Nominal embedment depth	h_{nom} [mm]	$h_{ef} + 6$	$h_{ef} + 8$	$h_{ef} + 9$	$h_{ef} + 12$	$h_{ef} + 15$
Min. depth of drill hole (hammer drilled, not cleaned)	$h_1 \geq$ [mm]	$h_{ef} + 26$	$h_{ef} + 28$	$h_{ef} + 29$	$h_{ef} + 32$	$h_{ef} + 35$
Min. depth of drill hole (hammer drilled, cleaned)	$h_1 \geq$ [mm]	$h_{ef} + 9$	$h_{ef} + 12$	$h_{ef} + 13$	$h_{ef} + 18$	$h_{ef} + 23$
Min. depth of drill hole (hollow drill bit drilled boreholes)	$h_1 \geq$ [mm]	-	$h_{ef} + 12$	$h_{ef} + 13$	$h_{ef} + 18$	$h_{ef} + 23$
Min. depth of drill hole (diamond cored boreholes)	$h_1 \geq$ [mm]	$h_{ef} + 16$	$h_{ef} + 18$	$h_{ef} + 19$	$h_{ef} + 22$	$h_{ef} + 25$
Min. thickness of concrete member ²⁾	$h_{min} \geq$ [mm]	max (80; $1,5 \cdot h_{ef}$)	max (80; $1,5 \cdot h_{ef}$)	max (100; $1,5 \cdot h_{ef}$)	max (120; $1,5 \cdot h_{ef}$)	$160 + h_{ef} - h_{ef.min}$
Minimum concrete thickness below borehole bottom ²⁾	$h_b \geq$ [mm]	21	27	32	34	36
Width across flats	SW [mm]	13	17	19	24	30
Installation torque	T_{inst} [Nm]	20	40	60	120	180

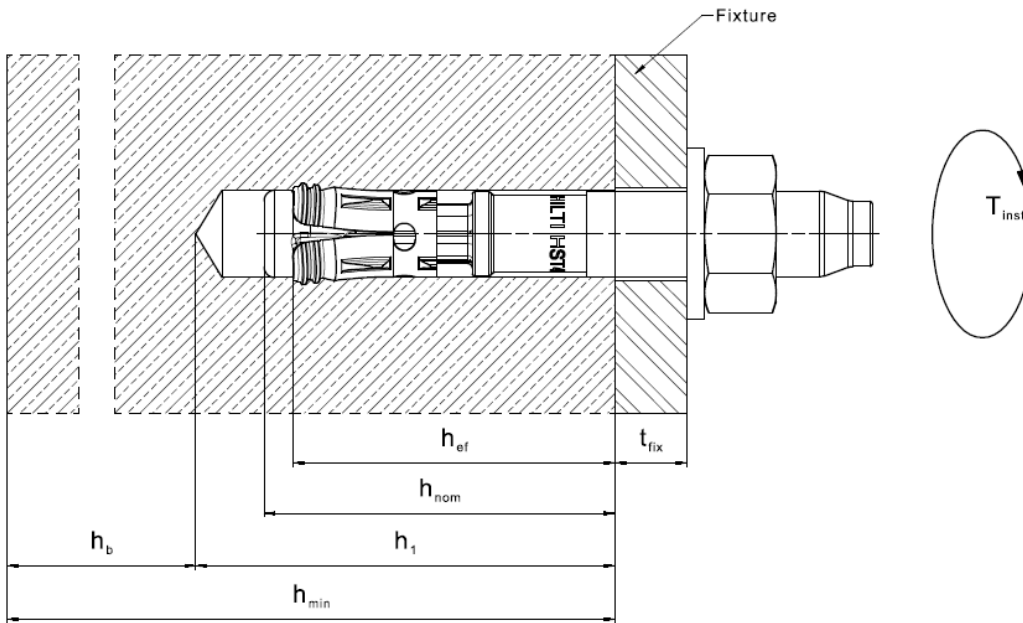
¹⁾ For the design of bigger clearance holes in the fixture see EN 1992-4:2018.

²⁾ Under consideration of minimum concrete thickness below borehole bottom: $h_{min} \geq h_1 + h_b$

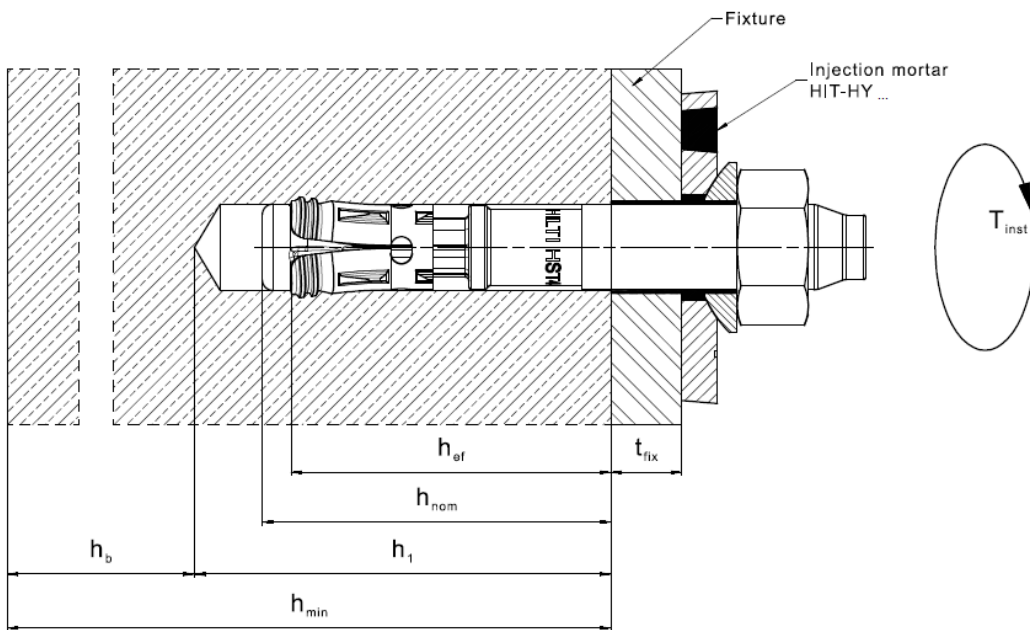
Hilti HST4-R, HST4	Annex B3
Intended use Installation parameters	

Setting positions for HST4-R, HST4

HST4-R, HST4 without the Filling Set to fill the annular gap between the anchor and the fixture



HST4-R, HST4 with the Filling Set to fill the annular gap between the anchor and the fixture



Hilti HST4-R, HST4

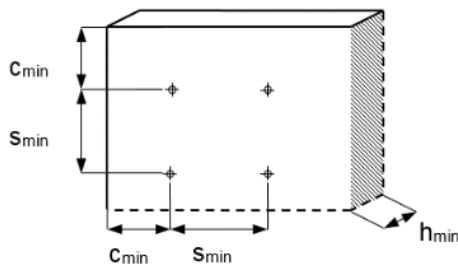
Product description
 Installation parameters

Annex B4

Table B6: Minimum spacing and edge distance for HST4-R, HST4

		M8	M10	M12	M16	M20
HST4-R						
Minimum thickness of concrete member ¹⁾	$h_{min} \geq$ [mm]	max (80; 1,5 h_{ef})	max (80; 1,5 h_{ef})	max (100; 1,5 h_{ef})	max (120; 1,5 h_{ef})	160 + h_{ef} - $h_{ef.min}$
Minimum spacing	S_{min} [mm]	35	40	50	65	90
Minimum edge distance	C_{min} [mm]	40	45	55	65	80
Uncracked concrete						
Effective embedment depth	h_{ef} [mm]	30 - 90	30 - 100	40 - 125	65 - 160	101 - 180
Required splitting area	$A_{sp,req}$ [mm ²]	18910	27082	41557	48281	79800
Cracked concrete						
Effective embedment depth	h_{ef} [mm]	30 - 90	30 - 100	40 - 125	65 - 160	101 - 180
Required splitting area	$A_{sp,req}$ [mm ²]	13667	22279	32228	42474	61000
HST4						
Minimum thickness of concrete member ¹⁾	$h_{min} \geq$ [mm]	max (80; 1,5 h_{ef})	max (80; 1,5 h_{ef})	max (100; 1,5 h_{ef})	max (120; 1,5 h_{ef})	160+ h_{ef} - $h_{ef.min}$
Minimum spacing	S_{min} [mm]	35	40	50	65	90
Minimum edge distance	C_{min} [mm]	40	45	55	65	80
Uncracked concrete						
Effective embedment depth	h_{ef} [mm]	30 - 90	30 - 100	40 - 125	65 - 160	101 - 180
Required splitting area	$A_{sp,req}$ [mm ²]	18910	27082	41557	57997	79800
Cracked concrete						
Effective embedment depth	h_{ef} [mm]	30 - 90	30 - 100	40 - 125	65 - 160	101 - 180
Required splitting area	$A_{sp,req}$ [mm ²]	13667	22279	32228	44350	61000

¹⁾ Under consideration of minimum concrete thickness below borehole bottom: $h_{min} \geq h_1 + h_b$ as given in Table B5



For the calculation of the minimum edge distance and spacing in combination with variable embedment depths and slab thickness the following equation must be fulfilled:

$$A_{sp,ef} \geq A_{sp,req}$$

With:

$A_{sp,ef}$: Effective splitting area according to table B7

$A_{sp,req}$: Minimum required splitting area according to table B6

Hilti HST4-R, HST4

Annex B5

Intended use

Minimum spacing and minimum edge distance

Table B7: Effective splitting area HST4-R, HST4

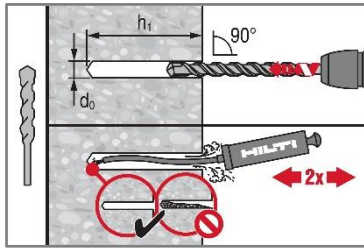
Effective splitting area $A_{sp,ef}$ for a concrete member thickness $h > h_{ef} + 1,5 \cdot c$ and $h \geq h_{min}$			
Anchors and anchor groups with ¹⁾	$s > 3 \cdot c$ $h_{ef} < 1,5 \cdot c$	$A_{sp,ef} = (6 \cdot c) \cdot (h_{ef} + 1,5 \cdot c)$	[mm ²] For $c \geq c_{min}$
Anchor groups with ¹⁾	$s \leq 3 \cdot c$ $h_{ef} < 1,5 \cdot c$	$A_{sp,ef} = (3 \cdot c + s) \cdot (h_{ef} + 1,5 \cdot c)$	[mm ²] For $c \geq c_{min}$ $s \geq s_{min}$
Anchors and anchor groups with ¹⁾	$s > 3 \cdot c$ $h_{ef} \geq 1,5 \cdot c$	$A_{sp,ef} = (6 \cdot c) \cdot (3 \cdot c)$	[mm ²] For $c \geq c_{min}$
Anchor groups with ¹⁾	$s \leq 3 \cdot c$ $h_{ef} \geq 1,5 \cdot c$	$A_{sp,ef} = (3 \cdot c + s) \cdot (3 \cdot c)$	[mm ²] For $c \geq c_{min}$ $s \geq s_{min}$
Effective splitting area $A_{sp,ef}$ for a concrete member thickness $h \leq h_{ef} + 1,5 \cdot c$ and $h \geq h_{min}$			
Anchors and anchor groups with ¹⁾	$s > 3 \cdot c$ $h_{ef} < 1,5 \cdot c$	$A_{sp,ef} = (6 \cdot c) \cdot h$	[mm ²] For $c \geq c_{min}$
Anchor groups with ¹⁾	$s \leq 3 \cdot c$ $h_{ef} < 1,5 \cdot c$	$A_{sp,ef} = (3 \cdot c + s) \cdot h$	[mm ²] For $c \geq c_{min}$ $s \geq s_{min}$
Anchors and anchor groups with ¹⁾	$s > 3 \cdot c$ $h_{ef} \geq 1,5 \cdot c$	$A_{sp,ef} = (6 \cdot c) \cdot (h - h_{ef} + 1,5 \cdot c)$	[mm ²] For $c \geq c_{min}$
Anchor groups with ¹⁾	$s \leq 3 \cdot c$ $h_{ef} \geq 1,5 \cdot c$	$A_{sp,ef} = (3 \cdot c + s) \cdot (h - h_{ef} + 1,5 \cdot c)$	[mm ²] For $c \geq c_{min}$ $s \geq s_{min}$

¹⁾ Edge distance and spacing must be rounded up in 5 mm increments

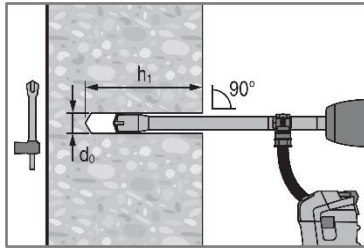
Hilti HST4-R, HST4	Annex B6
Intended use Minimum spacing and minimum edge distance	

Installation instruction

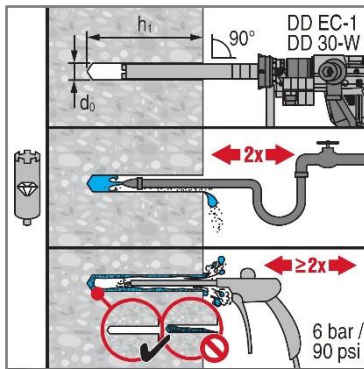
Hole drilling and cleaning



a) Hammer drilling (HD):
M8 to M20

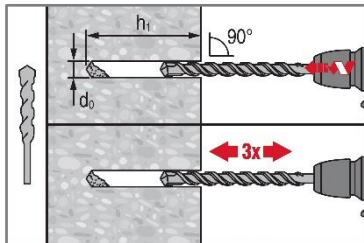


b) Hammer drilling with Hilti hollow drill bit (HDB):
M10 to M20



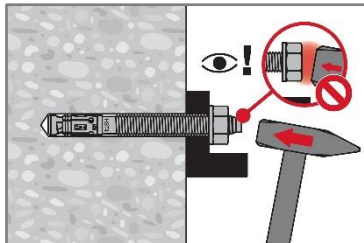
c) Diamond drilling (DD):
M8 to M20

Hole drilling without cleaning



Hammer drilling non-cleaned (HD NC):
M8 to M20

Anchor setting



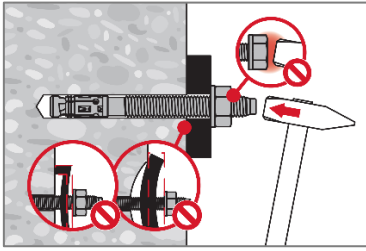
a) Hammer setting

Hilti HST4-R, HST4

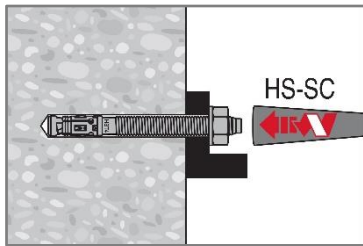
Intended use
Installation instructions

Annex B7

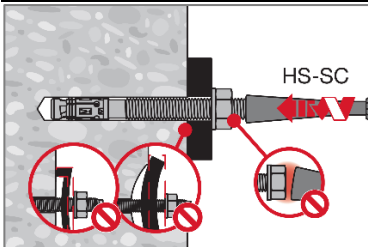
Anchor setting (continued)



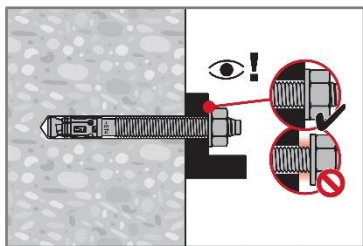
Anchor setting



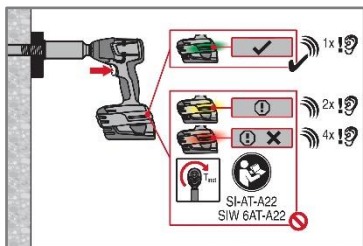
b) Machine setting (setting tool):



Anchor torquing

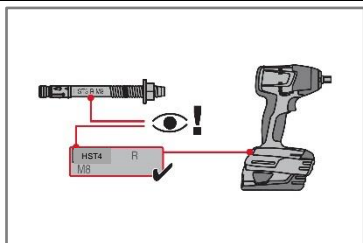


a) Torque wrench:
M8 to M20



b) Machine torquing:
M8 to M20

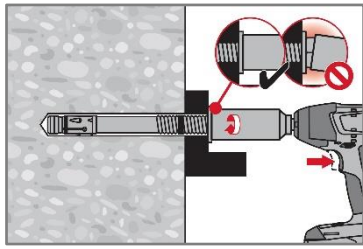
Selecting the anchor



Hilti HST4-R, HST4

Annex B8

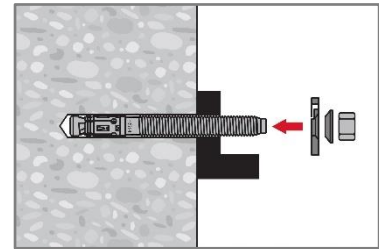
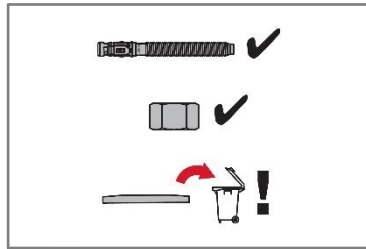
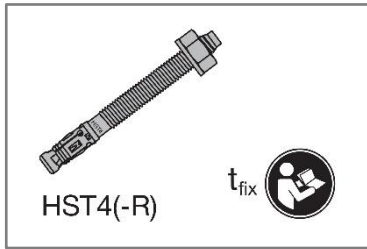
Intended use
 Installation instructions



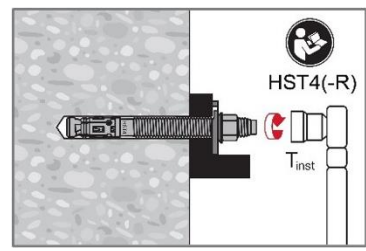
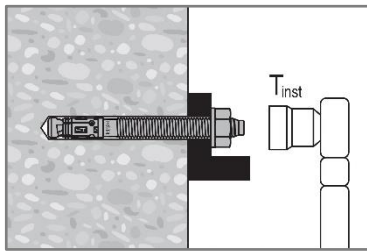
Socket positioning and the torquing

Installation with Filling Set

Installation of sealing washer

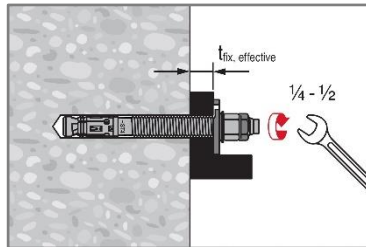
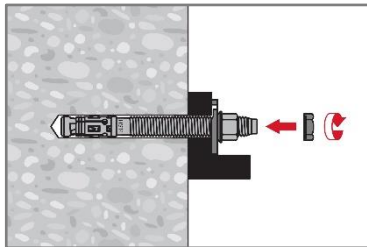


Anchor torquing

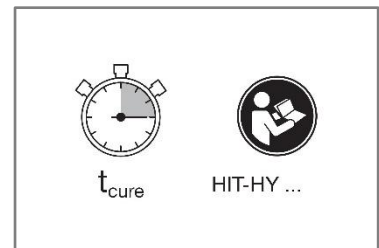
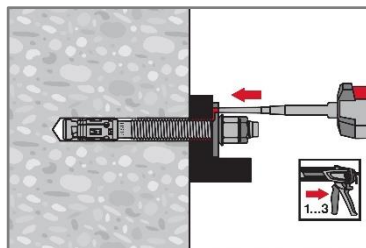


Torque wrench:
M8 to M20

Installation of counter nut (optional)



Injection of mortar



Hilti HST4-R, HST4

Intended use
 Installation instructions

Annex B8

Table C1: Characteristic values of resistance under tension load in case of static and quasi-static loading in cracked concrete

Size			M8	M10	M12	M16	M20
Effective anchorage depth	h_{ef}	[mm]	30-90	30-100	40-125	65-160	101-180
Steel failure							
HST4-R							
Partial safety factor	$\gamma_{Ms,N}^{1)}$	[-]	1,40				
Characteristic resistance	$N_{Rk,s}$	[kN]	22,0	32,5	48,0	75,0	115,8
HST4							
Partial safety factor	$\gamma_{Ms,N}^{1)}$	[-]	1,40				
Characteristic resistance	$N_{Rk,s}$	[kN]	21,0	32,5	46,0	75,0	117,5
Pull-out failure							
Characteristic resistance in concrete C20/25							
HST4-R							
Installation safety factor	γ_{inst}	[-]	1,00				
Uncracked concrete	$N_{Rk,p,uncr}$	[kN]	19,0	32,0	46,0	60,0	49,9
Cracked concrete	$N_{Rk,p,cr}$	[kN]	10,0	20,0	28,0	38,0	35,0
HST4							
Installation safety factor	γ_{inst}	[-]	1,00				
Uncracked concrete	$N_{Rk,p,uncr}$	[kN]	19,0	30,0	42,0	55,0	49,9
Cracked concrete	$N_{Rk,p,cr}$	[kN]	12,0	19,0	28,0	38,0	35,0
HST4-R, HST4							
Increasing factor for $N_{Rk,p}$ for cracked and uncracked concrete $\psi_c = (f_{ck}/20)^{0,5}$	C30/37	[-]	1,22				
	C40/50	[-]	1,41				
	C50/60	[-]	1,58				

¹⁾ In absence of other national regulations

Hilti HST4-R, HST4

Performances
 Characteristic resistance under tension load

Annex C1

Table C1: continued

Size			M8	M10	M12	M16	M20	
Effective anchorage depth	h_{ef}	[mm]	30-90	30-100	40-125	65-160	101-180	
Concrete cone and splitting failure								
HST4-R								
Installation safety factor	γ_{inst}	[-]	1,0					
Factor	$k_1=k_{ucr,N}$	[-]	11,0	12,7	12,7	12,7	11,0	
	$k_1=k_{cr,N}$	[-]	7,7	8,9	8,9	8,9	7,7	
HST4								
Installation safety factor	γ_{inst}	[-]	1,0					
Factor	$k_1=k_{ucr,N}$	[-]	11,0	11,8	12,7	12,7	11,0	
	$k_1=k_{cr,N}$	[-]	7,7	8,9	8,9	8,9	7,7	
HST4-R, HST4								
Spacing	$s_{cr,N}$	[mm]	$3 \cdot h_{ef}$					
Edge distance	$c_{cr,N}$	[mm]	$1,5 \cdot h_{ef}$					
Characteristic resistance in splitting ²⁾	$N^0_{Rk,sp}$	[kN]	Min ($N_{Rk,p}$; $N^0_{Rk,c}$) ²⁾					
Splitting area required to determine $c_{cr,sp}$ ³⁾	A_{rqd}	[mm ²]	$(N^0_{Rk,sp,C20} - b) / a$ ³⁾					1)
HST4-R, HST4								
Calculation factor for A_{rqd}	b	[-]	-4,7072	-8,7141	-11,678	3,7791	1)	
Calculation factor for A_{rqd}	a	[-]	0,00099	0,00109	0,00109	0,0006	1)	
HST4-R, HST4								
Spacing (splitting)	$s_{cr,sp}$	[mm]	$2 \cdot c_{cr,sp}$					
HST4-R, HST4								
Edge distance (splitting) ⁴⁾	$c_{cr,sp}$	[mm]	Min [$(A_{rqd} + 0,8 \cdot (h_{min} - h_{ef})^2) / (3,41 \cdot h_{min} - 0,59 \cdot h_{ef})$; $A_{rqd} / (h_{min} \cdot 8^{0,5})$] $\geq (1,5 \cdot h_{ef})$ ⁵⁾					$1,9 \cdot h_{ef}$

1) No performance assessed

2) $N^0_{Rk,c}$ according to EN 1992-4:2018

3) $N^0_{Rk,sp,C20}$ in kN and calculated for C20/25 uncracked concrete

4) h_{min} = minimum member thickness associated with the embedment depth h_{ef} under consideration $h_{min} \leq 4 \cdot h_{ef}$

5) $c_{cr,sp} \geq (1,5 \cdot h_{ef})$ if concrete cone failure is decisive on the evaluation of the $N^0_{Rk,sp}$

Hilti HST4-R, HST4

Performances

Characteristic resistance under tension load

Annex C2

Table C2: Characteristic values of resistance under shear load in case of static and quasi-static loading

Size		M8	M10	M12	M16	M20			
Steel failure without lever arm									
Effective anchorage depth	h_{ef} [mm]	30-90	30-100	40-125	65-160	101-180			
Partial safety factor	$\gamma_{Ms,V}^{1)}$ [-]	1,25							
Ductility factor	k_7 [-]	1,00							
HST4-R									
Characteristic resistance	$V^0_{Rk,s}$ [kN]	17,4	27,5	Min (0,34· h_{ef} + 20,76; 41,3)	72,4	97,2			
Characteristic resistance using Filling Set	$V^0_{Rk,s}$ [kN]	17,4	27,5	Min (0,34· h_{ef} + 20,76; 41,3)	72,4	102,7			
HST4									
Characteristic resistance	$V^0_{Rk,s}$ [kN]	16,3	24,8	Min (0,166· h_{ef} + 27,49; 37,4)	62,9	83,9			
Characteristic resistance using Filling Set	$V^0_{Rk,s}$ [kN]	16,3	24,8	Min (0,166· h_{ef} + 27,49; 37,4)	62,9	100,4			
Steel failure with lever arm									
HST4-R, HST4									
Effective anchorage depth	h_{ef} [mm]	30-90	30-100	40-125	65-160	101-180			
Partial safety factor	$\gamma_{Ms,V}^{1)}$ [-]	1,25							
Ductility factor	k_7 [-]	1,00							
HST4-R									
Characteristic resistance	$M^0_{Rk,s}$ [Nm]	30	58	100	243	425			
HST4									
Characteristic resistance	$M^0_{Rk,s}$ [Nm]	31	63	110	247	457			
Concrete pry-out failure									
HST4-R, HST4									
Effective anchorage depth	h_{ef} [mm]	30-39	40-90	30-39	40-100	40-49	50-125	65-160	101-180
Pry-out factor	k_8 [-]	2,05	2,76	1,86	2,00	2,5	2,74	3,0	3,2
Installation safety factor	γ_{inst} [-]	1,00							
Concrete edge failure									
Effective length of anchor	$l_f = h_{ef}$ [mm]	30-90	30-100	40-125	65-160	101-180			
Diameter of anchor	d_{nom} [mm]	8	10	12	16	20			
Installation safety factor	γ_{inst} [-]	1,00							

¹⁾ In absence of other national regulations

Hilti HST4-R, HST4

Performances
 Characteristic resistance under shear load

Annex C3

Table C3: Displacements under tension load in case of static and quasi-static loading

Size			M8	M10	M12	M16	M20
Effective anchorage depth	h_{ef}	[mm]	30-90	30-100	40-125	65-160	101-180
HST4-R							
Tension load in uncracked concrete	N	[kN]	10,5	15,5	22,9	35,7	24,4
Corresponding displacement	δ_{N0}	[mm]	0,92	0,79	1,53	2,04	0,50
	$\delta_{N\infty}$	[mm]	0,92	0,79	1,53	2,04	0,90
Tension load in cracked concrete	N	[kN]	4,8	9,5	13,3	17,1	17,4
Corresponding displacement	δ_{N0}	[mm]	0,70	0,86	0,87	1,12	1,30
	$\delta_{N\infty}$	[mm]	1,78	1,54	1,62	1,29	1,80
HST4							
Tension load in uncracked concrete	N	[kN]	6,0	9,6	13,9	18,2	24,4
Corresponding displacement	δ_{N0}	[mm]	0,09	0,10	0,10	0,18	0,50
	$\delta_{N\infty}$	[mm]	1,50	1,50	1,50	1,50	0,90
Tension load in cracked concrete	N	[kN]	3,9	6,1	9,0	12,21	17,4
Corresponding displacement	δ_{N0}	[mm]	0,60	0,58	0,38	0,64	1,30
	$\delta_{N\infty}$	[mm]	1,84	1,70	2,00	1,95	1,80

Table C4: Displacements under shear load in case of static and quasi-static loading

Size			M8	M10	M12	M16	M20
Effective anchorage depth	h_{ef}	[mm]	30-90	30-100	40-125	65-160	101-180
HST4-R							
Shear load in cracked and uncracked concrete	V	[kN]	8,9	14,1	21,1	36,9	55,6
Corresponding displacement	δ_{v0}	[mm]	6,7	4,0	4,5	3,2	3,2
	$\delta_{v\infty}$	[mm]	10,0	5,9	6,8	4,7	4,8
Shear load in cracked and uncracked concrete using Filling Set	V	[kN]	8,9	14,1	21,1	36,9	58,7
Corresponding displacement	δ_{v0}	[mm]	6,7	4,0	4,5	3,2	4,9
	$\delta_{v\infty}$	[mm]	10,0	5,9	6,8	4,7	7,3

Hilti HST4-R, HST4

Performances
Displacements

Annex C4

Table C4: continued

Size			M8	M10	M12	M16	M20
Effective anchorage depth	h_{ef}	[mm]	30-90	30-100	40-125	65-160	101-180
HST4							
Shear load in cracked and uncracked concrete	V	[kN]	5,5	8,4	11,6	21,4	47,9
Corresponding displacement	δ_{v0}	[mm]	1,10	1,55	0,59	0,42	2,7
	$\delta_{v\infty}$	[mm]	2,34	3,89	1,70	0,98	4,1
Shear load in cracked and uncracked concrete using Filling Set	V	[kN]	5,5	8,4	11,6	21,4	57,4
Corresponding displacement	δ_{v0}	[mm]	1,1	1,55	0,59	0,42	5,9
	$\delta_{v\infty}$	[mm]	2,34	3,89	1,7	0,98	8,8

Hilti HST4-R, HST4

Annex C5

Performances
 Displacements

Table C5: Characteristic values of resistance under tension load in case of seismic category C1

Size	M8	M10	M12	M16	M20
Effective anchorage depth h_{ef} [mm]	30-90	30-100	40-125	65-160	101-180
Steel failure					
Partial safety factor $\gamma_{Ms,C1}^{(1)}$ [-]	1,4				
HST4-R					
Characteristic resistance $N_{Rk,s,C1}$ [kN]	22,0	32,5	48,0	75,0	115,8
HST4					
Characteristic resistance $N_{Rk,s,C1}$ [kN]	21,0	32,5	46,0	75,0	124,2
Pull-out failure					
Installation safety factor γ_{inst} [-]	1,0				
HST4-R					
Characteristic resistance $N_{Rk,p,C1}$ [kN]	Min (0,0321· $h_{ef}^{1,5}$; 9,3)	Min (0,0378· $h_{ef}^{1,5}$; 19,1)	Min (0,0374· $h_{ef}^{1,5}$; 26,3)	Min (0,0389· $h_{ef}^{1,5}$; 37,1)	35,0
HST4					
Characteristic resistance $N_{Rk,p,C1}$ [kN]	Min (0,0321· $h_{ef}^{1,5}$; 11,2)	Min (0,0378· $h_{ef}^{1,5}$; 18,1)	Min (0,0374· $h_{ef}^{1,5}$; 26,3)	Min (0,0389· $h_{ef}^{1,5}$; 37,1)	35,0
Concrete cone failure ²⁾					
HST4-R, HST4					
Installation safety factor γ_{inst} [-]	1,0				
Factor $k_1=k_{cr,N}$ [-]	7,7	8,9	8,9	8,9	7,7
Splitting failure ²⁾					
Installation safety factor γ_{inst} [-]	1,0				

¹⁾ In absence of other national regulations

²⁾ For concrete cone failure and splitting failure see EN 1992-4:2018

Hilti HST4-R, HST4

Performances

Characteristic resistance under seismic actions, seismic category C1

Annex C6

Table C6: Characteristic values of resistance under shear load in case of seismic category C1

Size			M8	M10	M12	M16	M20
Steel failure							
Reduction factor according to EN 1992-4:2018 without Filling Set	α_{gap}	[-]	0,5				
Reduction factor according to EN 1992-4:2018 using filling set	α_{gap}	[-]	1,0				
Effective anchorage depth	h_{ef}	[mm]	30-90	30-100	40-125	65-160	101-180
HST4-R							
Characteristic resistance	$V_{Rk,s,C1}$	[kN]	Min (0,165· h_{ef} +8,26; 15,7)	Min (0,166· h_{ef} +13,3; 23,3)	Min (0,00063· h_{ef}^2 +0,3283· h_{ef} +17,72; 39,9)	Min (0,268· h_{ef} +38,0; 60,8)	56,7
Characteristic resistance using Filling Set	$V_{Rk,s,C1}$	[kN]	Min (0,165· h_{ef} +8,26; 15,7)	Min (0,166· h_{ef} +13,3; 23,3)	Min (0,00063· h_{ef}^2 +0,3283· h_{ef} +17,72; 39,9)	Min (0,268· h_{ef} +38,0; 60,8)	102,7
Partial safety factor	$\gamma_{Ms,C1}^{1)}$	[-]	1,25				
HST4							
Characteristic resistance	$V_{Rk,s,C1}$	[kN]	13,43	Min (0,136· h_{ef} +13,83; 21,97)	Min (0,476· h_{ef} +4,61; 33,16)	Min (0,432· h_{ef} +13,4; 50,13)	77,6
Characteristic resistance using Filling Set	$V_{Rk,s,C1}$	[kN]	13,43	Min (0,136· h_{ef} +13,83; 21,97)	Min (0,476· h_{ef} +4,61; 33,16)	Min (0,432· h_{ef} +13,4; 50,13)	100,4
Partial safety factor	$\gamma_{Ms,C1}^{1)}$	[-]	1,25				
Concrete pry-out failure ²⁾							
HST4-R, HST4							
Effective anchorage depth	h_{ef}	[mm]	30-90	30-100	40-125	65-160	101-180
Installation safety factor	γ_{inst}	[-]	1,00				
Concrete edge failure ²⁾							
Effective anchorage depth	h_{ef}	[mm]	30-90	30-100	40-125	65-160	101-180
Installation safety factor	γ_{inst}	[-]	1,00				

¹⁾ In absence of other national regulations

²⁾ For concrete pry-out failure and concrete edge failure see EN 1992-4:2018

Hilti HST4-R, HST4

Performances

Characteristic resistance under seismic actions, seismic category C1

Annex C7

Table C7: Characteristic values of resistance under tension load in case of seismic category C2

Size		M8	M10	M12	M16	M20
Steel failure						
Effective anchorage depth	h_{ef} [mm]	30-90	30-100	40-125	65-160	101-180
HST4-R						
Characteristic resistance	$N_{Rk,s,C2}$ [kN]	22,0	32,5	40,0	75,0	115,8
Partial safety factor	$\gamma_{Ms,C2}^{1)}$ [-]	1,4				
HST4						
Characteristic resistance	$N_{Rk,s,C2}$ [kN]	21,0	32,5	40,0	75,0	124,2
Partial safety factor	$\gamma_{Ms,C2}^{1)}$ [-]	1,4				
Pull-out failure						
Effective anchorage depth	h_{ef} [mm]	30 – 90	30 – 100	40 – 125	65 – 160	101 – 180
HST4-R						
Characteristic resistance	$N_{Rk,p,C2}$ [kN]	Min (0,09· h_{ef} + 0,33; 5,0)	Min (0,25· h_{ef} – 2,44; 12,7)	Min (0,33· h_{ef} – 2,68; 22,0)	Min (0,69· h_{ef} – 25,25; 36,8)	35,0
Installation safety factor	γ_{inst} [-]	1,0				
HST4						
Characteristic resistance	$N_{Rk,p,C2}$ [kN]	Min (0,07· h_{ef} + 1,09; 4,61)	Min (0,253· h_{ef} – 2,67; 12,51)	Min (0,380· h_{ef} – 21,6)	Min (0,824· h_{ef} – 35,93; 38,2)	35,0
Installation safety factor	γ_{inst} [-]	1,0				
Concrete cone failure ²⁾						
HST4-R, HST4						
Effective anchorage depth	h_{ef} [mm]	30-90	30-100	40-125	65-160	101-180
Installation safety factor	γ_{inst} [-]	1,0				
Factor	$k_1=k_{cr,N}$ [-]	7,7	8,9	8,9	8,9	7,7
Splitting failure ²⁾						
Effective anchorage depth	h_{ef} [mm]	30-90	30-100	40-125	65-160	101-180
Installation safety factor	γ_{inst} [-]	1,0				

¹⁾ In absence of other national regulations

²⁾ For concrete cone failure and splitting failure see EN 1992-4:2018.

Hilti HST4-R, HST4

Annex C8

Performances

Characteristic resistance and displacements under seismic actions, seismic category C2

Table C8: Displacements under tension load in case of seismic category C2

Size			M8	M10	M12	M16	M20
Effective anchorage depth	h_{ef}	[mm]	30-90	30-100	40-125	65-160	101-180
HST4-R							
Displacement DLS	$\delta_{N,C2(DLS)}$	[mm]	3,4	3,4	3,5	4,6	6,9
Displacement ULS	$\delta_{N,C2(ULS)}$	[mm]	10,1	22,9	17,3	13,9	18,4
HST4							
Displacement DLS	$\delta_{N,C2(DLS)}$	[mm]	3,8	3,9	4,0	5,6	6,9
Displacement ULS	$\delta_{N,C2(ULS)}$	[mm]	13,5	22,9	18,7	16,2	18,4

Table C9: Characteristic values of resistance under shear load in case of seismic category C2

Size			M8	M10	M12	M16	M20
Steel failure							
Reduction factor according to EN 1992-4:2018 without gap filling	α_{gap}	[-]	0,5				
Reduction factor according to EN 1992-4:2018 using filling set	α_{gap}	[-]	1,0				
Effective anchorage depth	h_{ef}	[mm]	30 - 90	30 - 100	40 - 125	65 - 160	101-180
HST4-R							
Characteristic resistance	$V_{Rk,s,C2}$	[kN]	Min (0,11· h_{ef} +5,06; 10,2)	Min (0,14· h_{ef} +10,24; 18,8)	Min (0,20· h_{ef} +12,05; 24,0)	51,3	49,5
Characteristic resistance using Filling Set	$V_{Rk,s,C2}$	[kN]	Min (0,11· h_{ef} +5,06; 10,2)	Min (0,14· h_{ef} +10,24; 18,8)	Min (0,20· h_{ef} +12,05; 24,0)	51,3	67,4
Partial safety factor	$\gamma_{Ms,C2}^{1)}$	[-]	1,25				
HST4							
Characteristic resistance	$V_{Rk,s,C2}$	[kN]	Min (0,186· h_{ef} +2,452; 10,81)	Min (0,157· h_{ef} +8,321; 17,77)	Min (0,114· h_{ef} +18,487; 26,46)	Min (0,299· h_{ef} +19,463; 44,91)	66,9
Characteristic resistance using Filling Set	$V_{Rk,s,C2}$	[kN]	Min (0,186· h_{ef} +2,452; 10,81)	Min (0,157· h_{ef} +8,321; 17,77)	Min (0,114· h_{ef} +18,487; 26,46)	Min (0,299· h_{ef} +19,463; 44,91)	84,3
Partial safety factor	$\gamma_{Ms,C2}^{1)}$	[-]	1,25				

Hilti HST4-R, HST4

Annex C9

Performances

Characteristic resistance and displacements under seismic actions, seismic category C2

Table C9: continued

Size			M8	M10	M12	M16	M20
Concrete pry-out failure ²⁾							
HST4-R, HST4							
Effective anchorage depth	h_{ef}	[mm]	30-90	30-100	40-125	65-160	101-180
Installation safety factor	γ_{inst}	[-]	1,00				
Concrete edge failure ²⁾							
Effective anchorage depth	h_{ef}	[mm]	30-90	30-100	40-125	65-160	101-180
Installation safety factor	γ_{inst}	[-]	1,00				

¹⁾ In absence of other national regulations

²⁾ For concrete cone failure and splitting failure see EN 1992-4:2018

Table C10: Displacements under shear load in case of seismic category C2

Size			M8	M10	M12	M16	M20
Effective anchorage depth	h_{ef}	[mm]	30-90	30-100	40-125	65-160	101-180
Displacements							
HST4-R							
Displacement DLS	$\delta_{V,C2 (DLS)}$	[mm]	3,8	4,1	5,1	4,5	3,9
Displacement DLS using Filling Set	$\delta_{V,C2 (DLS)}$	[mm]	¹⁾	¹⁾	¹⁾	¹⁾	2,2
Displacement ULS	$\delta_{V,C2 (ULS)}$	[mm]	6,2	8,2	9,9	7,5	7,0
Displacement ULS using Filling Set	$\delta_{V,C2 (ULS)}$	[mm]	¹⁾	¹⁾	¹⁾	¹⁾	5,8
HST4							
Displacement DLS	$\delta_{V,C2 (DLS)}$	[mm]	3,1	5,0	5,0	4,9	5,2
Displacement DLS using Filling Set	$\delta_{V,C2 (DLS)}$	[mm]	¹⁾	¹⁾	¹⁾	¹⁾	1,9
Displacement ULS	$\delta_{V,C2 (ULS)}$	[mm]	4,9	8,3	7,5	9,0	10,0
Displacement ULS using Filling Set	$\delta_{V,C2 (ULS)}$	[mm]	¹⁾	¹⁾	¹⁾	¹⁾	5,3

¹⁾ No performance assessed

Hilti HST4-R, HST4

Performances

Characteristic resistance and displacements under seismic actions, seismic category C2

Annex C10

Table C11: Characteristic tension resistance under fire exposure in cracked concrete

Size				M8		M10			M12			M16		M20
Effective anchorage depth	h_{ef}	[mm]		30 - 46	47 - 90	30 - 39	40 - 59	60 - 100	40 - 49	50 - 69	70 - 125	65 - 84	85 - 160	101 - 180
Steel failure														
HST4-R														
Characteristic resistance	R30	$N_{Rk,s,fi}$	[kN]	2,2	4,9	3,5	5,2	11,8	5,2	9,1	17,1	16,9	31,9	49,8
	R60	$N_{Rk,s,fi}$	[kN]	1,8	3,6	2,9	3,7	8,4	4,4	6,8	12,2	12,6	22,8	35,5
	R90	$N_{Rk,s,fi}$	[kN]	1,4	2,4	2,3	2,5	5,0	3,6	4,5	7,3	8,4	13,6	21,2
	R120	$N_{Rk,s,fi}$	[kN]	1,2	1,7	2,0	2,0	3,3	3,2	3,3	4,8	6,2	9,0	14,1
HST4														
Characteristic resistance	R30	$N_{Rk,s,fi}$	[kN]	0,9	0,9	1,5	1,5	2,4	2,3	2,3	5,2	4,4	9,7	15,2
	R60	$N_{Rk,s,fi}$	[kN]	0,8	0,8	1,2	1,2	1,8	1,7	1,7	3,7	3,2	6,8	10,6
	R90	$N_{Rk,s,fi}$	[kN]	0,7	0,7	0,9	0,9	1,2	1,1	1,1	2,1	2,1	3,9	6,0
	R120	$N_{Rk,s,fi}$	[kN]	0,6	0,6	0,8	0,8	0,9	0,8	0,8	1,3	1,3	2,4	3,8
Pull-out failure														
HST4-R														
Characteristic resistance $\geq C20/25$	R30	$N_{Rk,p,fi}$	[kN]	2,5		5,0			7,0			9,5		9,1
	R60	$N_{Rk,p,fi}$	[kN]	2,5		5,0			7,0			9,5		9,1
	R90	$N_{Rk,p,fi}$	[kN]	2,5		5,0			7,0			9,5		9,1
	R120	$N_{Rk,p,fi}$	[kN]	2,0		4,0			5,6			7,6		7,3
HST4														
Characteristic resistance $\geq C20/25$	R30	$N_{Rk,p,fi}$	[kN]	3,0		4,7			7,0			9,5		9,1
	R60	$N_{Rk,p,fi}$	[kN]	3,0		4,7			7,0			9,5		9,1
	R90	$N_{Rk,p,fi}$	[kN]	3,0		4,7			7,0			9,5		9,1
	R120	$N_{Rk,p,fi}$	[kN]	2,4		3,8			5,6			7,6		7,3

Hilti HST4-R, HST4

Performances
 Characteristic tension resistance under fire exposure

Annex C11

Table C11: continued

Size			M8		M10			M12			M16		M20
Effective anchorage depth	h_{ef}	[mm]	30 - 46	47 - 90	30 - 39	40 - 59	60 - 100	40 - 49	50 - 69	70 - 125	65 - 84	85 - 160	101 - 180
Concrete cone failure													
HST4-R, HST4													
Characteristic resistance $\geq C20/25$	R30	$N_{Rk,c,fi}$ [kN]	$h_{ef} / 200 \cdot N^0_{Rk,c} \leq N^0_{Rk,c}$										
	R60	$N_{Rk,c,fi}$ [kN]											
	R90	$N_{Rk,c,fi}$ [kN]											
	R120	$N_{Rk,c,fi}$ [kN]											
			$0,8 \cdot h_{ef} / 200 \cdot N^0_{Rk,c} \leq N^0_{Rk,c}$										
Factor	$k_1 = k_{cr,N}$	[-]	7,7		8,9			8,9			8,9		7,7
Spacing	$s_{cr,N,fi}$	[mm]	4 h_{ef}										
	s_{min}	[mm]	35		40			50			65		90
Edge distance	$c_{cr,N,fi}$	[mm]	2 h_{ef}										
	c_{min}	[mm]	Fire attack from one side: 2 h_{ef} Fire attack from more than one side: ≥ 300 mm										

In absence of other national regulations the partial safety factor for resistance under fire exposure $\gamma_{M,fi} = 1,0$ is recommended

Hilti HST4-R, HST4	Annex C12
Performances Characteristic tension resistance under fire exposure	

Table C12: Characteristic shear resistance under fire exposure in cracked concrete

Size			M8		M10			M12			M16		M20
Effective anchorage depth	h_{ef}	[mm]	30 - 46	47 - 90	30 - 39	40 - 59	60 - 100	40 - 49	50 - 69	70 - 125	65 - 84	85 - 160	101-180
Steel failure													
HST4-R													
Characteristic resistance	R30	$V_{Rk,s,fi}$ [kN]	2,2	4,9	3,5	5,2	11,8	5,2	9,1	17,1	16,9	31,9	49,8
	R60	$V_{Rk,s,fi}$ [kN]	1,8	3,6	2,9	3,7	8,4	4,4	6,8	12,2	12,6	22,8	35,5
	R90	$V_{Rk,s,fi}$ [kN]	1,4	2,4	2,3	2,5	5,0	3,6	4,5	7,3	8,4	13,6	21,2
	R120	$V_{Rk,s,fi}$ [kN]	1,2	1,7	2,0	2,0	3,3	3,2	3,3	4,8	6,2	9,0	14,1
HST4													
Characteristic resistance	R30	$V_{Rk,s,fi}$ [kN]	0,9	0,9	1,5	1,5	2,4	2,3	2,3	5,2	4,4	9,7	15,2
	R60	$V_{Rk,s,fi}$ [kN]	0,8	0,8	1,2	1,2	1,8	1,7	1,7	3,7	3,2	6,8	10,6
	R90	$V_{Rk,s,fi}$ [kN]	0,7	0,7	0,9	0,9	1,2	1,1	1,1	2,1	2,1	3,9	6,0
	R120	$V_{Rk,s,fi}$ [kN]	0,6	0,6	0,8	0,8	0,9	0,8	0,8	1,3	1,3	2,4	3,8
Steel failure with lever arm													
HST4-R													
Characteristic resistance	R30	$M^0_{Rk,s,fi}$ [Nm]	2,2	5,0	4,5	6,7	15,2	8,1	14,1	26,6	35,9	67,6	132,0
	R60	$M^0_{Rk,s,fi}$ [Nm]	1,8	3,7	3,8	4,8	10,8	6,9	10,5	19,0	26,8	48,2	94,1
	R90	$M^0_{Rk,s,fi}$ [Nm]	1,4	2,4	3,0	3,2	6,5	5,6	7,0	11,3	17,7	28,8	56,3
	R120	$M^0_{Rk,s,fi}$ [Nm]	1,2	1,8	2,6	2,6	4,3	5,0	5,2	7,5	13,2	19,1	37,3
HST4													
Characteristic resistance	R30	$M^0_{Rk,s,fi}$ [Nm]	0,9	0,9	2,0	2,0	3,1	3,6	3,6	8,1	9,3	20,6	40,2
	R60	$M^0_{Rk,s,fi}$ [Nm]	0,8	0,8	1,6	1,6	2,4	2,7	2,7	5,7	6,9	14,4	28,1
	R90	$M^0_{Rk,s,fi}$ [Nm]	0,7	0,7	1,2	1,2	1,6	1,8	1,8	3,2	4,5	8,2	16,0
	R120	$M^0_{Rk,s,fi}$ [Nm]	0,6	0,6	1,0	1,0	1,2	1,3	1,3	2,0	3,3	5,1	10,0

In absence of other national regulations the partial safety factor for resistance under fire exposure $\gamma_{M,fi} = 1,0$ is recommended.

Hilti HST4-R, HST4

Performances
 Characteristic shear resistance under fire exposure

Annex C13

Centre Scientifique et
Technique du
Bâtiment

84 avenue Jean Jaurès
CHAMPS-SUR-MARNE
F-77447 Marne-la-Vallée Cedex 2

Tél. : (33) 01 64 68 82 82
Fax : (33) 01 60 05 70 37

**Evaluation Technique
Européenne**

**ETE-21/0878
du 31/10/2024**

(Version originale en langue française)

Partie Générale

Organisme d'Evaluation Technique (TAB) délivrant l'Evaluation Technique Européenne:
Centre Scientifique et Technique du Bâtiment (CSTB)

Nom commercial:

Hilti HST4-R, HST4

Famille de produit:

Cheville à expansion à couple contrôlé: tailles M8, M10, M12, M16 et M20.

Fabricant:

Hilti Corporation
Feldkircherstrasse 100
FL-9494 Schaan
Principality of Liechtenstein

Usines de fabrication:

Usines Hilti

Cette Evaluation Technique
Européenne contient:

32 pages incluant 29 pages d'annexes qui font partie
intégrante de cette évaluation

Cette Evaluation Technique
Européenne est délivrée selon la
Réglementation (EU) No
305/2011, sur la base de:

EAD 330232-01-0601-v05 "Mechanical fasteners for use in
concrete C12/15 to C90/105 and in steel fibre reinforced
concrete"

Cette Evaluation remplace:

ETA-21/0878 du 28/02/2023

Les traductions de cette Evaluation Technique Européenne dans d'autres langues doivent correspondre pleinement au document original et doivent être identifiées comme telles. La communication de cette évaluation technique européenne, y compris la transmission par voie électronique, doit être complète. Cependant, une reproduction partielle peut être faite, avec le consentement écrit de l'organisme d'évaluation technique d'émission. Toute reproduction partielle doit être identifiée comme telle. La présente Evaluation Technique Européenne peut être retirée par l'Organisme d'Evaluation Technique émetteur, notamment sur information de la Commission conformément à l'article 25, paragraphe 3, du règlement (UE) n° 305/2011.

Partie spécifique

1 Description technique du produit

La cheville Hilti HST4-R et HST4 est une cheville à expansion à couple contrôlé fabriquée en acier inoxydable (HST4-R) ou en acier galvanisé (HST4) qui est insérée dans un trou et expanse par une expansion par couple contrôlé.

La description du produit est donnée dans les Annexes A.

2 Définition de l'usage prévu

Les performances données dans la section 3 ne sont valables que si la cheville est utilisée conformément aux spécifications et conditions données dans les annexes B.

Les dispositions prises dans cette Evaluation Technique Européenne sont basées sur une durée de vie supposée de l'ancrage de 50 ans. Les indications données sur la durée de vie ne peuvent être interprétées comme une garantie donnée par le fabricant mais doivent être considérées uniquement comme un moyen de choisir les bons produits par rapport à la durée de vie économiquement raisonnable attendue des ouvrages.

3 Performances du produit

3.1 Résistance mécanique et stabilité (BWR 1)

Caractéristique essentielle	Performance
Résistances caractéristiques sous chargement statique et quasi statique, déplacements	Voir les Annexes C1 à C5
Résistances caractéristiques sous chargement sismique de catégorie C1, déplacements	Voir les Annexes C6 à C7
Résistances caractéristiques sous chargement sismique de catégorie C2, déplacements	Voir les Annexes C8 à C10
Durabilité	Voir l'Annexe B1

3.2 Sécurité en cas d'incendie (BWR 2)

Caractéristique essentielle	Performance
Réaction au feu	Les ancrages satisfont aux exigences de la Classe A1
Résistance au feu	Voir les Annexes C11 à C13

3.3 Hygiène, santé et environnement (BWR 3)

Concernant les substances dangereuses contenues dans cette Evaluation technique Européenne, il peut y avoir des exigences applicables aux produits entrant dans son champ d'application (par exemple la législation européenne transposée et les lois, réglementations et dispositions administratives nationales). Afin de respecter les dispositions de la directive sur les produits de construction, ces exigences doivent également être respectées, quand et où elles s'appliquent.

3.4 Sécurité d'utilisation (BWR 4)

Pour les exigences essentielles de Sécurité d'utilisation les mêmes critères que ceux mentionnés dans les exigences essentielles Résistance mécanique et stabilité sont applicables.

3.5 Protection contre le bruit (BWR 5)

Not relevant.

3.6 Economie d'énergie et isolation thermique (BWR 6)

Non applicable.

3.7 Utilisation durable des ressources naturelles (BWR 7)

Pour l'utilisation durable des ressources naturelles aucune performance a été déterminée pour ce produit.

3.8 Aspects généraux relatifs à l'aptitude à l'emploi

La durabilité et l'aptitude à l'usage ne sont assurées que si les spécifications pour l'usage prévu conformément à l'annexe B1 sont maintenus.

4 Evaluation et vérification de la constance des performances (EVCP)

Conformément à la décision 96/582/EC de la Commission Européenne , tel qu'amendée, le système d'évaluation et de vérification de la constance des performances (Voir Annexe V du règlement n° 305/2011 du parlement Européen) donné dans le tableau suivant s'applique.

Produit	Usage prévu	Niveau ou classe	Système
Ancrages métalliques pour le béton	Pour fixer et / ou soutenir dans le béton, des éléments structurels (qui contribuent à la stabilité de l'ouvrage) ou des éléments lourds.	—	1

5 Données techniques nécessaires pour la mise en place d'un système Evaluation et de vérification de la constance des performances (EVCP)

Les données techniques nécessaires à la mise en œuvre du système d'évaluation et de vérification de la constance des performances (EVCP) sont fixées dans le plan de contrôle déposé au Centre Scientifique et Technique du Bâtiment.

Le fabricant doit, sur la base d'un contrat, impliquer un organisme notifié pour les tâches visant la délivrance du certificat de conformité CE dans le domaine des fixations, basé sur ce plan de contrôle.

Délivré à Marne La Vallée le 31/10/2024 par :

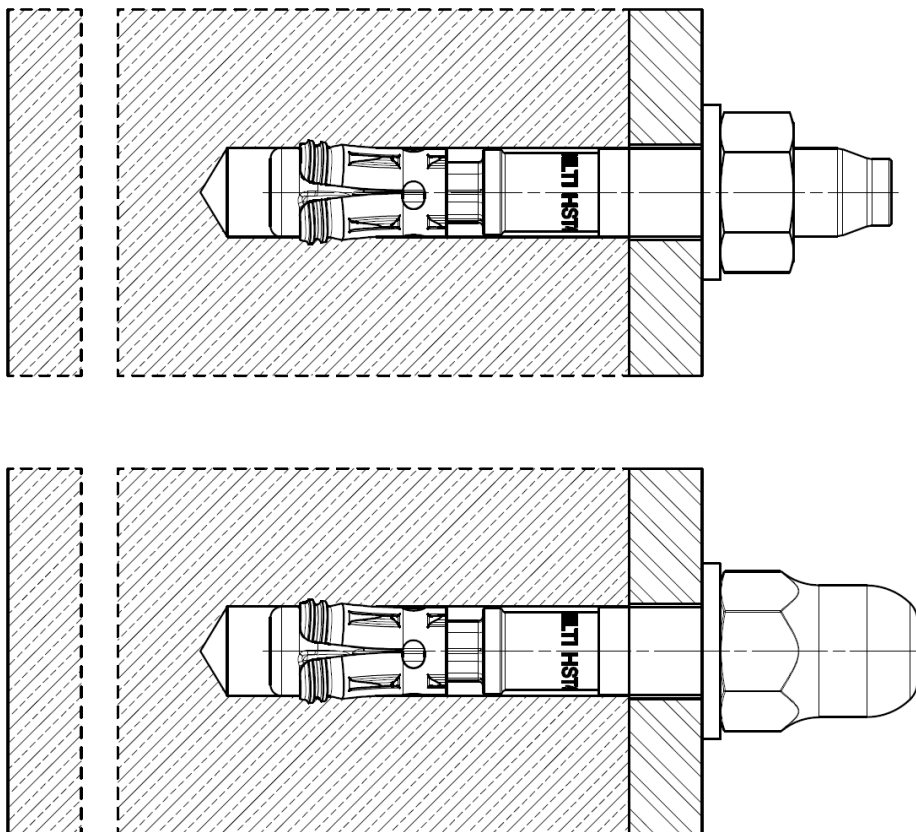
Loic PAYET

Chef de la division Structure, Maçonnerie et Partition

Produit installé

Figure A1:

Cheville métallique à expansion Hilti HST4-R, HST4 avec respectivement un écrou hexagonal standard ou avec un écrou optionnel en dôme



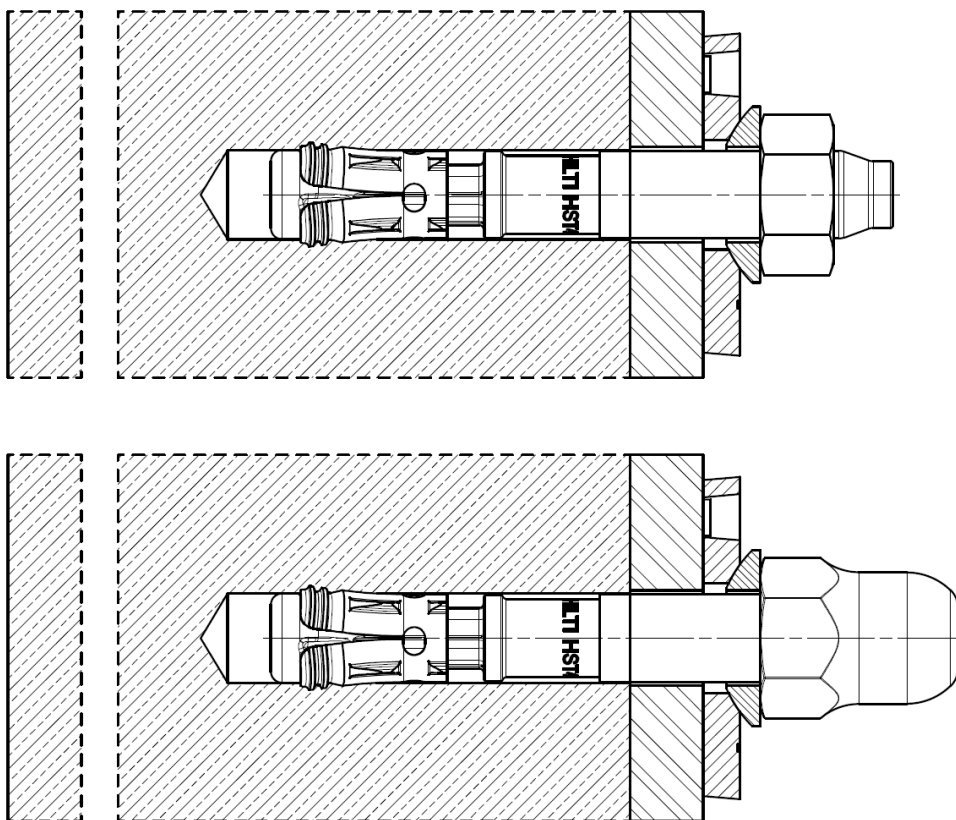
Hilti HST4-R, HST4

Description du produit
Produit installé

Annexe A1

Figure A2:

Cheville métallique à expansion Hilti HST4-R, HST4 avec le Filling Set Hilti et respectivement un écrou hexagonal standard ou avec un écrou optionnel en dôme

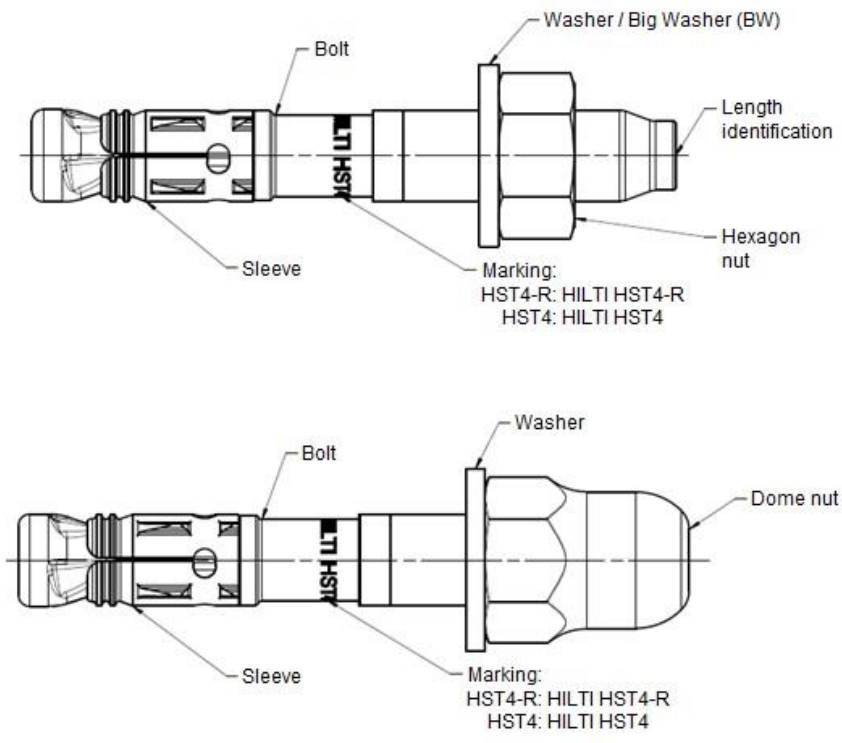


Hilti HST4-R, HST4

Description du produit
Produit installé

Annexe A2

Description du produit: Cheville métallique à expansion Hilti HST4-R, HST4



<p>Hilti HST4, HST4</p>	<p>Annexe A3</p>
<p>Description du produit Types de chevilles, marquages et identification</p>	

Tableau A1: Identification de la longueur, chevilles HST4-R

Lettre		A	B	C	D	E	F	G
Longueur de la cheville	≥ [mm]	38,1	50,8	63,5	76,2	88,9	101,6	114,3
	< [mm]	50,8	63,5	76,2	88,9	101,6	114,3	127,0

Lettre		H	I	J	K	L	M	N
Longueur de la cheville	≥ [mm]	127,0	139,7	152,4	165,1	177,8	190,5	203,2
	< [mm]	139,7	152,4	165,1	177,8	190,5	203,2	215,9

Lettre		O	P	Q	R	S	T	U
Longueur de la cheville	≥ [mm]	215,9	228,6	241,3	254,0	279,4	304,8	330,2
	< [mm]	228,6	241,3	254,0	279,4	304,8	330,2	355,6

Lettre		V	W	X	Y	Z	AA	BB
Longueur de la cheville	≥ [mm]	355,6	381,0	406,4	431,8	457,2	482,6	508,0
	< [mm]	381,0	406,4	431,8	457,2	482,6	508,0	533,4

Lettre		CC	DD	EE
Longueur de la cheville	≥ [mm]	533,4	558,8	584,2
	< [mm]	558,8	584,2	609,6

Hilti HST4-R, HST4

Description du produit
Identification de la longueur

Annexe A4

Tableau A2: Matériaux, Hilti HST4-R, HST4

Élément	Matériaux
HST4-R (acier inoxydable)	
Classe de résistance à la corrosion III selon l'EN 1993-1-4:2006+A1:2015	
Douille d'expansion	Acier inoxydable A4 selon l'EN 10088-1:2014
Élément fileté	Acier inoxydable A4 selon l'EN 10088-1:2014 Allongement à la rupture ($l_0 = 5d$) > 8 %
Rondelle	Acier inoxydable A4 selon l'EN 10088-1:2014
Ecrou hexagonal Ecrou dôme	Acier inoxydable A4 selon l'EN 10088-1:2014
HST4 (acier au carbone)	
Douille d'expansion	M8-M20: acier au carbone, galvanisé, $\geq 5 \mu\text{m}$ ou acier inoxydable selon l'EN 10088-1:2014
Élément fileté	Acier au carbone, galvanisé, $\geq 5 \mu\text{m}$, cone revêtu (transparent), Allongement à la rupture ($l_0 = 5d$) > 8 %
Rondelle	Acier au carbone, galvanisé, $\geq 5 \mu\text{m}$
Ecrou hexagonal Ecrou dôme	Acier au carbone, galvanisé, $\geq 5 \mu\text{m}$
Filling set	
Classe de résistance à la corrosion III selon l'EN 1993-1-4:2006+A1:2015	
Rondelle de scellement	Acier inoxydable A4 selon l'EN 10088-1:2014
Rondelle sphérique	Acier inoxydable A4 selon l'EN 10088-1:2014
HST4 (acier au carbone)	
Rondelle de scellement	Acier au carbone, galvanisé
Rondelle sphérique	Acier au carbone, galvanisé
Mortier	
Mortier d'injection	Mortier d'injection Hilti HIT-HY...

Hilti HST4-R, HST4

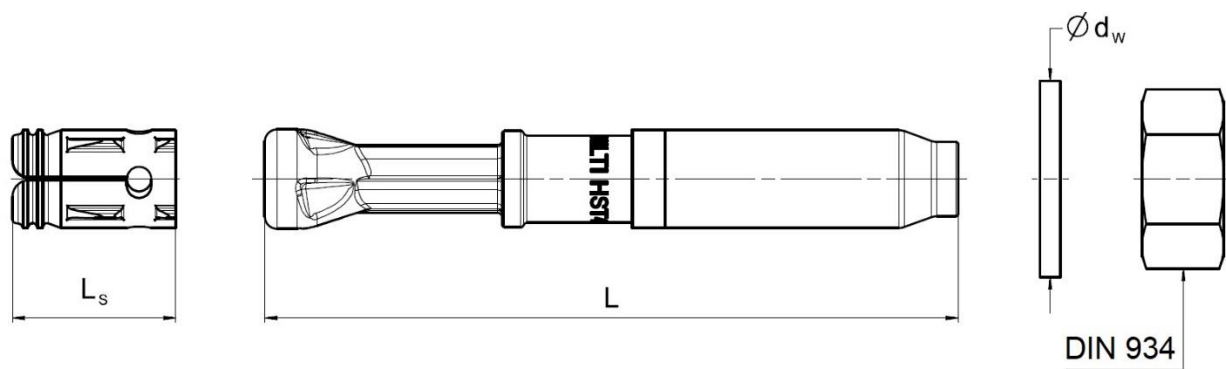
Description du produit
Matériaux

Annexe A5

Tableau A3: Dimensions de la cheville HST4-R, HST4

HST4-R, HST4			M8	M10	M12	M16	M20
Longueur de la douille d'expansion	L_s	[mm]	15,0	18,0	20,0	26,0	28,3
Longueur du corps	L	[mm]	50-115	60-180	75-260	115-260	170-260
Diamètre ext. de la rondelle	$d_w \geq$	[mm]	16	20	24	30	37
Diamètre ext. de la rondelle large (BW)	$d_w \geq$	[mm]	24	30	37	50	-

HST4-R, HST4



Hilti HST4, HST4

Description du produit
Dimensions

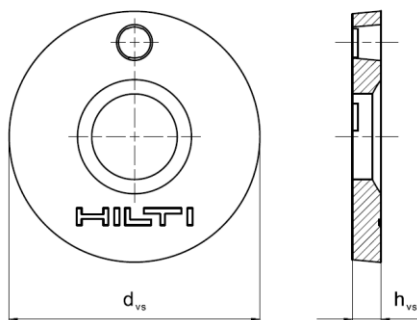
Annexe A6

Filling Set permettant de combler l'espace annulaire entre la cheville et la pièce à fixer

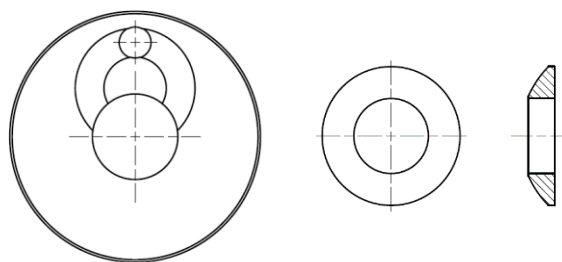
Tableau A4: Dimensions du Filling Set utilisé avec la cheville HST4-R, HST4

Filling Set			M8	M10	M12	M16	M20
Diamètre de la rondelle de scellement	d_{vs}	[mm]	38	42	44	52	60
Epaisseur de la rondelle de scellement	h_{vs}	[mm]	5			6	
Epaisseur du Filling Set Hilti	h_{fs}	[mm]	8	9	10	11	13

Rondelle de scellement



Rondelle sphérique



Filling Set

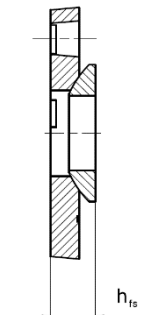
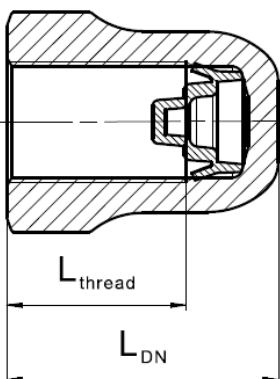


Tableau A5: Dimensions de l'écrou dôme

Ecrou dôme utilisé avec la cheville HST4-R, HST4			M8	M10	M12	M16
Longueur filetée	$L_{thread} \geq$	[mm]	13,3	16,8	17,8	22,3
Longueur de l'écrou	$L_{DN} \geq$	[mm]	18,1	21,9	24,0	29,5

Ecrou dôme



Hilti HST4, HST4

Annexe A7

Description du produit
Dimensions

Précisions sur l'emploi prévu

Ancrages soumis à:

- Chargement statique et quasi statique: toutes tailles.
- Performance sismique de catégorie C1 et C2: toutes tailles.
- Exposition au feu: toutes tailles.

Matériau support:

- Béton renforcé ou non renforcé de masse volumique courante selon l'EN 206:2013+ A1:2016.
- Classes de résistance C20/25 à C50/60 selon l'EN 206:2013+A1:2016.
- Béton fissuré et non fissuré.

Conditions d'utilisation (Conditions environnementales):

- Chevilles HST4-R fabriquées en acier inoxydable:
Structures soumises à des conditions externes / internes, voir EAD.

Dimensionnement:

- Les ancrages sont dimensionnés sous la responsabilité d'un ingénieur expérimenté en ancrages et travaux de bétonnage.
- Des notes de calcul et des dessins vérifiables sont établis en tenant compte des charges à ancrer. La position de la cheville est indiquée sur les dessins de conception (par exemple position de la cheville par rapport aux armatures ou aux supports, etc.).
- Les ancrages sous charge statique ou quasi-statique sont dimensionnés conformément à l'EN 1992-4:2018
- Les ancrages sous actions sismiques (béton fissuré) sont dimensionnés conformément à l'EN 1992-4:2018
- Les ancrages doivent être positionnés à l'extérieur des zones critiques (par exemple les rotules plastiques) de la structure en béton. Les fixations avec déport ou avec une couche de mortier sous action sismique ne sont pas couvertes par cette Evaluation Technique Européenne (ETA)
- En cas d'exigences de résistance au feu, un éclatement local de l'enrobage en béton doit être évité.
- Pour une profondeur d'ancrage efficace $h_{ef} < 40$ mm, seuls les fixations statiquement indéterminées (par exemple, les plafonds suspendus légers) et des conditions d'exposition intérieur seulement sont couvertes par l'ETA. Ces fixations sont conçues conformément à la norme EN 1992-4:2018, Clause 7 et Annexe G.

Installation:

- Installation des ancrages effectuée par du personnel dûment qualifié et sous la supervision de la personne responsable des questions techniques du chantier
- La cheville doit être posée une fois.
- Technique de perçage: voir le Tableau B1 et le Tableau B2.
- Nettoyer le trou des poussières de perçage.
- En cas de trou abandonné, percer le nouveau trou à une distance minimale de deux fois la profondeur du trou abandonné, ou à une distance plus petite à condition que le trou de forage abandonné soit rempli de mortier à haute résistance et qu'il n'y ait pas de charges de cisaillement ou de tension oblique dans la direction du trou abandonné.

Hilti HST4, HST4

Annexe B1

Emploi prévu
Spécifications




Tableau B1: Précisions sur l'emploi prévu

Ancrages soumis à:	M8	M10	M12	M16	M20
Chargement statique et quasi statique dans le béton fissuré et non fissuré sans fibres ou dans du béton renforcé par des fibres métalliques (SFRC) – perçage par percussion ¹⁾ et carottage diamant	✓ ¹⁾	✓	✓	✓	✓
Performance sismique de catégorie C1 dans le béton fissuré et non fissuré sans fibres ou dans du béton renforcé par des fibres métalliques (SFRC) - perçage par percussion ¹⁾ et carottage diamant ²⁾	✓ ¹⁾	✓	✓	✓	✓
Performance sismique de catégorie C2 dans du béton sans fibres - perçage par percussion ¹⁾ et carottage diamant ²⁾	✓ ¹⁾	✓	✓	✓	✓
Exposition au feu dans du béton sans fibres ou dans du béton renforcé par des fibres métalliques - perçage par percussion ¹⁾ et perçage par carottage diamant ²⁾	✓ ¹⁾	✓	✓	✓	✓

¹⁾ perçage par percussion avec le foret creux Hilti (HDB) n'est pas autorisé pour la taille M8.




²⁾ perçage par carottage diamant couvert par cette ETA uniquement pour les chevilles HST4-R

Tableau B2: Technique de perçage

Ancrages soumis à:	M8	M10	M12	M16	M20
Perçage par percussion (HD) 	✓	✓	✓	✓	✓
Perçage par percussion avec le foret creux Hilti (HDB) 	-	✓	✓	✓	✓
Carottage diamant (DD) avec: <ul style="list-style-type: none"> • Carotreuse DD EC-1 et couronne diamant TS ou TL • Carotreuse DD 30-W et couronne diamant SPX-T ou SPX-T  • Carotreuse DD 150-U et couronne diamant SPX-L, SPX-L ou SPX-L 	✓ ¹⁾	✓ ¹⁾	✓ ¹⁾	✓ ¹⁾	✓ ¹⁾

¹⁾ perçage par carottage diamant couvert par cette ETA uniquement pour les chevilles HST4-R

Tableau B3: Nettoyage du trou



Nettoyage manuel (MC): Pompe à main Hilti pour souffler les poussières du trou	
Nettoyage à l'air comprimé (CAC): La buse doit avoir un diamètre de 3,5 mm	
Nettoyage automatique (AC): Le nettoyage est effectué pendant le perçage avec le système de perçage Hilti TE-CD et TE-YD comprenant un aspirateur	
Absence de nettoyage par 3 aller-retours	-

Hilti HST4-R, HST4

Emploi prévu
Spécifications

Annexe B2

Tableau B4: Méthodes pour l'application du couple

		HST4-R, HST4
Clef dynamométrique		M8 à M20
Serrage avec la clé à chocs Hilti SIW et le module de couple adaptatif SI-AT. ¹⁾		M8 à M20

¹⁾ La combinaison de l'outil Hilti SIW + SI-AT, compatible avec ce type d'ancrage, peut être utilisée.

Tableau B5: Paramètres d'installation HST4-R, HST4

HST4-R, HST4		M8	M10	M12	M16	M20
Diamètre nominal du foret	d_0 [mm]	8	10	12	16	20
Diamètre de coupe max. du foret	d_{cut} [mm]	8,45	10,45	12,50	16,50	20,55
Diamètre max du trou de passage dans la pièce fixée	d_f [mm]	9	12	14	18	22
Profondeur d'ancrage effective	h_{ef} [mm]	30 - 90	30 - 100	40 - 125	65 - 160	101 - 180
Profondeur nominale d'ancrage	h_{nom} [mm]	$h_{ef} + 6$	$h_{ef} + 8$	$h_{ef} + 9$	$h_{ef} + 12$	$h_{ef} + 15$
Profondeur min. du trou (perçage par percussion, sans nettoyage)	$h_{i \geq}$ [mm]	$h_{ef} + 26$	$h_{ef} + 28$	$h_{ef} + 29$	$h_{ef} + 32$	$h_{ef} + 35$
Profondeur min. du trou (perçage par percussion, avec nettoyage)	$h_{i \geq}$ [mm]	$h_{ef} + 9$	$h_{ef} + 12$	$h_{ef} + 13$	$h_{ef} + 18$	$h_{ef} + 23$
Profondeur min. du trou (trous percés avec foret aspirant)	$h_{i \geq}$ [mm]	-	$h_{ef} + 12$	$h_{ef} + 13$	$h_{ef} + 18$	$h_{ef} + 23$
Profondeur min. du trou (trous percés par carottage diamant)	$h_{i \geq}$ [mm]	$h_{ef} + 16$	$h_{ef} + 18$	$h_{ef} + 19$	$h_{ef} + 22$	$h_{ef} + 25$
Épaisseur min. de l'élément en béton ²⁾	$h_{min \geq}$ [mm]	max (80; $1,5 \cdot h_{ef}$)	max (80; $1,5 \cdot h_{ef}$)	max (100; $1,5 \cdot h_{ef}$)	max (120; $1,5 \cdot h_{ef}$)	$160 + h_{ef} - h_{ef.min}$
Épaisseur min. de béton sous le trou ²⁾	$h_b \geq$ [mm]	21	27	32	34	36
Largeur de l'écrou	SW [mm]	13	17	19	24	30
Couple d'installation	T_{inst} [Nm]	20	40	60	120	180

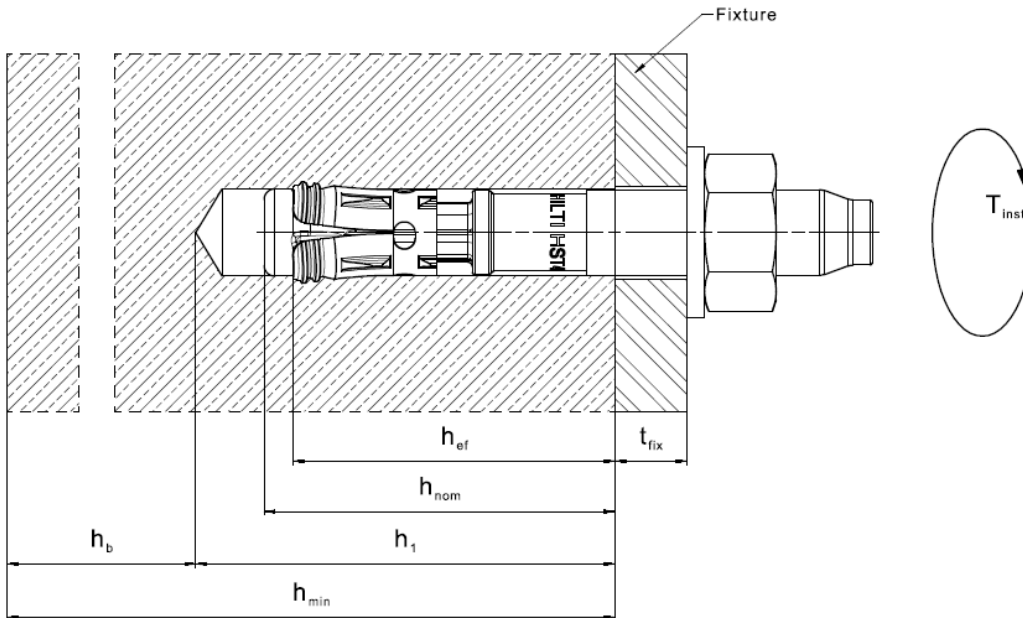
¹⁾ Pour le dimensionnement de trous de passage plus grands dans la pièce à fixer voir l'EN 1992-4:2018.

²⁾ Sous condition d'une épaisseur min. de béton sous le fond du trou : $h_{min} \geq h_1 + h_b$

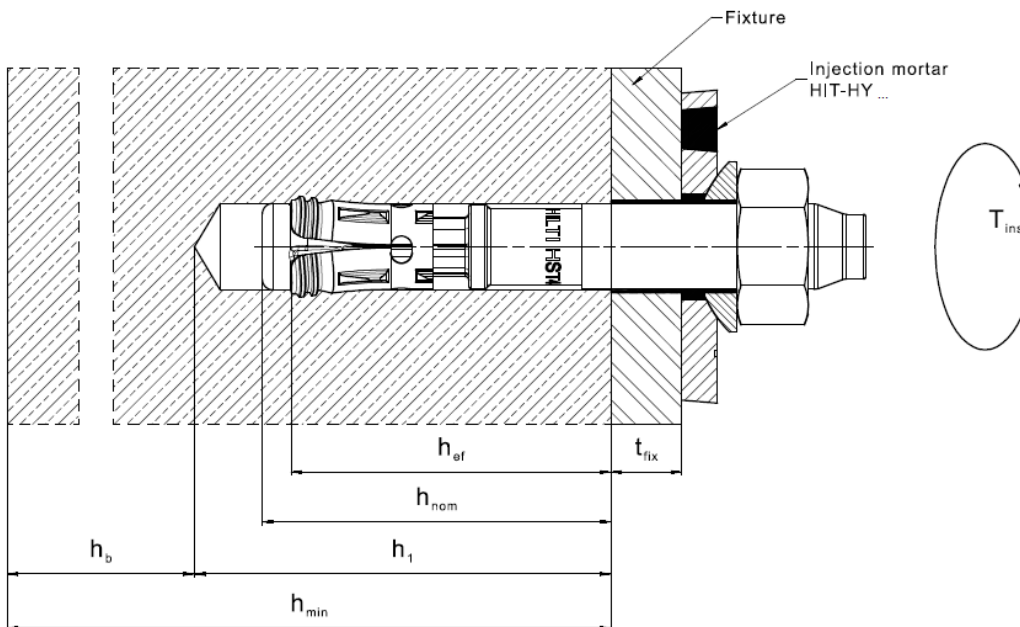
Hilti HST4-R, HST4	Annexe B3
Emploi prévu Paramètres d'installation	

Positions d'installation de la cheville HST4-R, HST4

Cheville HST4-R, HST4 sans le Filling Set Hilti pour remplir l'espace annulaire entre la cheville et la pièce à fixer



Cheville HST4-R, HST4 avec le Filling Set Hilti pour remplir l'espace annulaire entre la cheville et la pièce à fixer



Hilti HST4-R, HST4

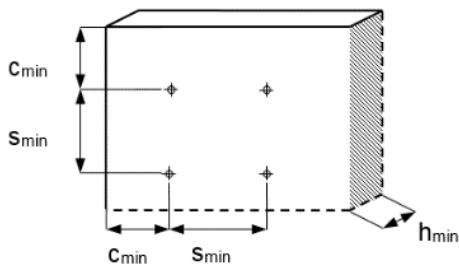
Annexe B4

Description du produit
Paramètres d'installation

Tableau B6: Distance minimum au bord et d'espacement for HST4-R, HST4

		M8	M10	M12	M16	M20
HST4-R						
Épaisseur minimale de l'élément en béton ¹⁾	$h_{min} \geq$ [mm]	max (80; 1,5 h_{ef})	max (80; 1,5 h_{ef})	max (100; 1,5 h_{ef})	max (120; 1,5 h_{ef})	160 + h_{ef} - $h_{ef.min}$
Espacement minimal	s_{min} [mm]	35	40	50	65	90
Distance minimale au bord	c_{min} [mm]	40	45	55	65	80
Béton non-fissuré						
Profondeur d'ancrage effective	h_{ef} [mm]	30 - 90	30 - 100	40 - 125	65 - 160	101 - 180
Surface de fendage requise	$A_{sp,req}$ [mm ²]	18910	27082	41557	48281	79800
Béton fissuré						
Profondeur d'ancrage effective	h_{ef} [mm]	30 - 90	30 - 100	40 - 125	65 - 160	101 - 180
Surface de fendage requise	$A_{sp,req}$ [mm ²]	13667	22279	32228	42474	61000
HST4						
Épaisseur minimale de l'élément en béton ¹⁾	$h_{min} \geq$ [mm]	max (80; 1,5 h_{ef})	max (80; 1,5 h_{ef})	max (100; 1,5 h_{ef})	max (120; 1,5 h_{ef})	160+ h_{ef} - $h_{ef.min}$
Espacement minimal	s_{min} [mm]	35	40	50	65	90
Distance minimale au bord	c_{min} [mm]	40	45	55	65	80
Béton non-fissuré						
Profondeur d'ancrage effective	h_{ef} [mm]	30 - 90	30 - 100	40 - 125	65 - 160	101 - 180
Surface de fendage requise	$A_{sp,req}$ [mm ²]	18910	27082	41557	57997	79800
Béton fissuré						
Profondeur d'ancrage effective	h_{ef} [mm]	30 - 90	30 - 100	40 - 125	65 - 160	101 - 180
Surface de fendage requise	$A_{sp,req}$ [mm ²]	13667	22279	32228	44350	61000

¹⁾ Sous condition d'une épaisseur min. de béton sous le fond du trou: $h_{min} \geq h_1 + h_b$ telle que donnée dans le Tableau B5



Pour le calcul de la distance minimale au bord et de l'espacement en combinaison avec des profondeurs d'encastrement et des épaisseurs de dalle variables, l'équation suivante doit être remplie :

$$A_{sp,ef} \geq A_{sp,req.}$$

Avec:

$A_{sp,ef}$: Surface de fendage effective selon le Tableau B7

$A_{sp,req.}$: Surface min. de fendage requise selon le Tableau B6

Hilti HST4-R, HST4

Emploi prévu

Espacement minimum et distance minimale au bord

Annexe B5

Tableau B7: Surface de fendage effective, cheville HST4-R, HST4

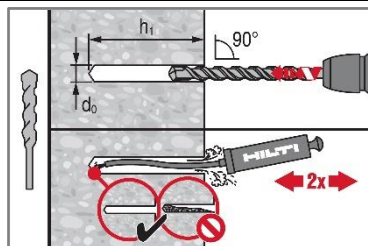
Surface de fendage effective $A_{sp,ef}$ pour une épaisseur de béton $h > h_{ef} + 1,5 \cdot c$ et $h \geq h_{min}$			
Chevilles et groupes de chevilles avec ¹⁾	$s > 3 \cdot c$ $h_{ef} < 1,5 \cdot c$	$A_{sp,ef} = (6 \cdot c) \cdot (h_{ef} + 1,5 \cdot c)$	[mm ²] Pour $c \geq c_{min}$
Groupes de chevilles avec ¹⁾	$s \leq 3 \cdot c$ $h_{ef} < 1,5 \cdot c$	$A_{sp,ef} = (3 \cdot c + s) \cdot (h_{ef} + 1,5 \cdot c)$	[mm ²] Pour $c \geq c_{min}$ $s \geq s_{min}$
Chevilles et groupes de chevilles avec ¹⁾	$s > 3 \cdot c$ $h_{ef} \geq 1,5 \cdot c$	$A_{sp,ef} = (6 \cdot c) \cdot (3 \cdot c)$	[mm ²] Pour $c \geq c_{min}$
Groupes de chevilles avec ¹⁾	$s \leq 3 \cdot c$ $h_{ef} \geq 1,5 \cdot c$	$A_{sp,ef} = (3 \cdot c + s) \cdot (3 \cdot c)$	[mm ²] Pour $c \geq c_{min}$ $s \geq s_{min}$
Surface de fendage effective $A_{sp,ef}$ pour une épaisseur de béton $h \leq h_{ef} + 1,5 \cdot c$ and $h \geq h_{min}$			
Chevilles et groupes de chevilles avec ¹⁾	$s > 3 \cdot c$ $h_{ef} < 1,5 \cdot c$	$A_{sp,ef} = (6 \cdot c) \cdot h$	[mm ²] Pour $c \geq c_{min}$
Groupes de chevilles avec ¹⁾	$s \leq 3 \cdot c$ $h_{ef} < 1,5 \cdot c$	$A_{sp,ef} = (3 \cdot c + s) \cdot h$	[mm ²] Pour $c \geq c_{min}$ $s \geq s_{min}$
Chevilles et groupes de chevilles avec ¹⁾	$s > 3 \cdot c$ $h_{ef} \geq 1,5 \cdot c$	$A_{sp,ef} = (6 \cdot c) \cdot (h - h_{ef} + 1,5 \cdot c)$	[mm ²] Pour $c \geq c_{min}$
Groupes de chevilles avec ¹⁾	$s \leq 3 \cdot c$ $h_{ef} \geq 1,5 \cdot c$	$A_{sp,ef} = (3 \cdot c + s) \cdot (h - h_{ef} + 1,5 \cdot c)$	[mm ²] Pour $c \geq c_{min}$ $s \geq s_{min}$

¹⁾ La distance au bord et l'espacement doivent être arrondis par incréments de 5 mm.

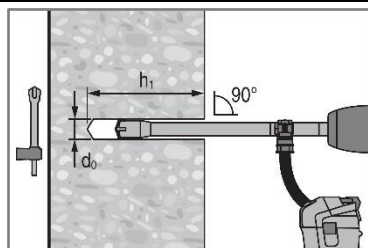
Hilti HST4-R, HST4	Annexe B6
Emploi prévu Espacement minimum et distance minimale au bord	

Instructions d'installation

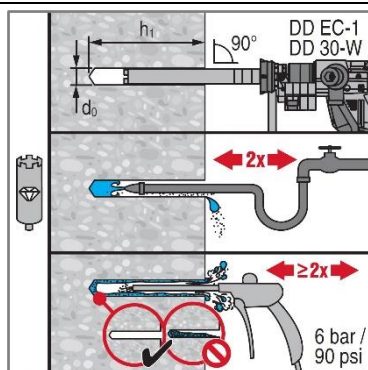
Perçage du trou et nettoyage



a) Perçage par percussion (HD):
M8 à M20

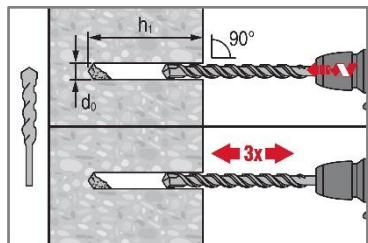


b) Perçage par percussion avec le foret creux Hilti (HDB):
M10 à M20



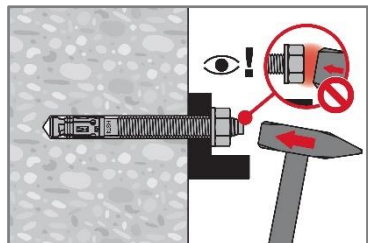
c) Carottage diamant (DD):
M8 à M20

Perçage du trou sans nettoyage



Perçage par percussion
Absence de nettoyage (HD NC):
M8 à M20

Installation de la cheville



a) Installation au marteau

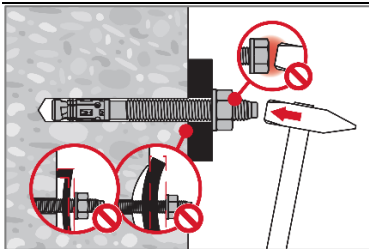
Hilti HST4-R, HST4

Annexe B7

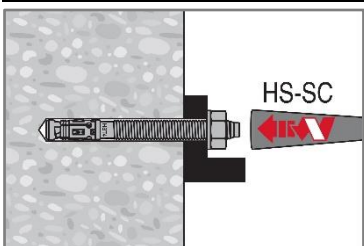
Emploi prévu

Instructions d'installation

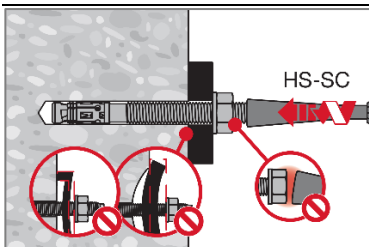
Installation de la cheville (suite)



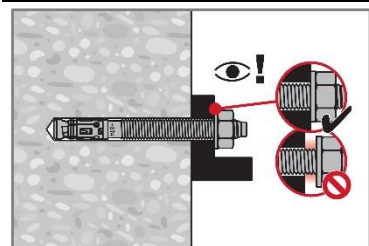
Installation de la cheville



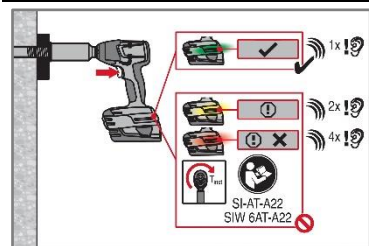
b) Vissage à la machine (outil d'installation):



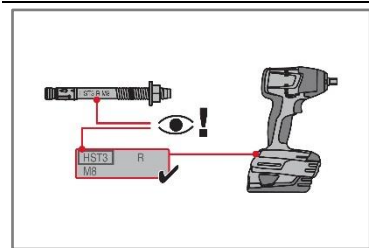
Serrage au couple contrôlé



a) Clef dynamométrique:
M8 à M20



b) Serrage à la clef à chocs:
M8 à M20



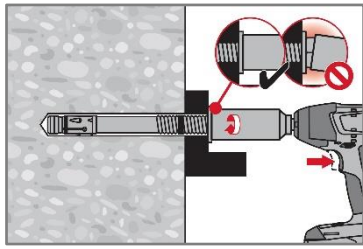
Sélection de la cheville

Hilti HST4-R, HST4

Annexe B8

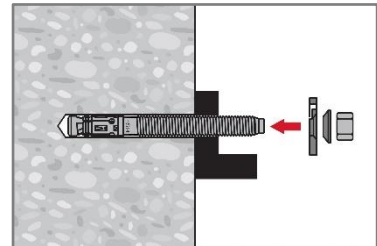
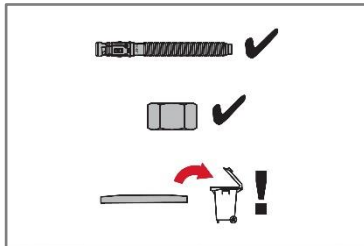
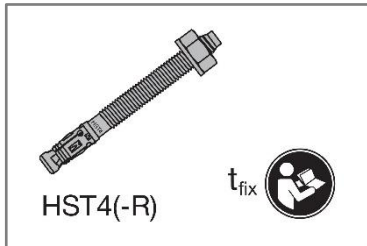
Emploi prévu

Instructions d'installation

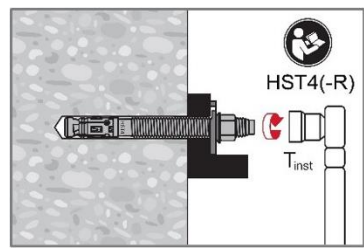
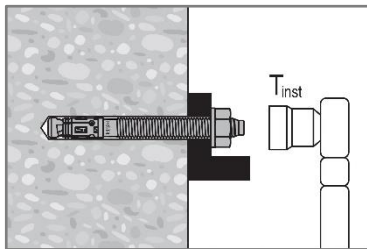


Installation avec le Filling Set

Installation de la rondelle de scellement

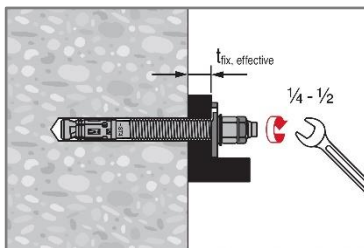
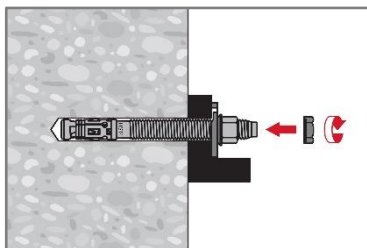


Serrage au couple contrôlé

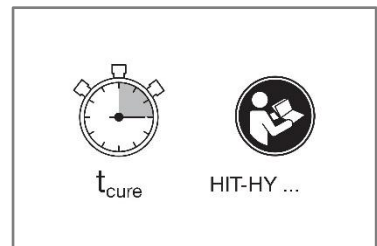
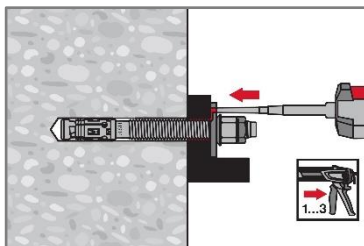


Clef dynamométrique:
M8 à M20

Installation d'un contre-écrou (optionnel)



Injection du mortier



Hilti HST4-R, HST4

Annexe B8

Emploi prévu
Instructions d'installation

Tableau C1: Valeurs caractéristiques de résistance sous charges de traction en cas de chargement statique ou quasi-statique dans le béton fissuré

Taille			M8	M10	M12	M16	M20
Profondeur d'ancrage effective	h_{ef}	[mm]	30-90	30-100	40-125	65-160	101-180
Rupture de l'acier							
HST4-R							
Coefficient de sécurité partiel	$\gamma_{Ms,N}^{1)}$	[-]	1,40				
Résistance caractéristique	$N_{Rk,s}$	[kN]	22,0	32,5	48,0	75,0	115,8
HST4							
Coefficient de sécurité partiel	$\gamma_{Ms,N}^{1)}$	[-]	1,40				
Résistance caractéristique	$N_{Rk,s}$	[kN]	21,0	32,5	46,0	75,0	117,5
Rupture par extraction							
Résistance caractéristique dans le béton C20/25							
HST4-R							
Coefficient de sécurité d'installation	γ_{inst}	[-]	1,00				
Béton non-fissuré	$N_{Rk,p,uncr}$	[kN]	19,0	32,0	46,0	60,0	49,9
Béton fissuré	$N_{Rk,p,cr}$	[kN]	10,0	20,0	28,0	38,0	35,0
HST4							
Coefficient de sécurité d'installation	γ_{inst}	[-]	1,00				
Béton non-fissuré	$N_{Rk,p,uncr}$	[kN]	19,0	30,0	42,0	55,0	49,9
Béton fissuré	$N_{Rk,p,cr}$	[kN]	12,0	19,0	28,0	38,0	35,0
HST4-R, HST4							
Facteur d'amplification de $N_{Rk,p}$ pour le béton fissuré et non fissuré	C30/37	[-]	1,22				
	C40/50	[-]	1,41				
$\psi_c = (f_{ck}/20)^{0,5}$	C50/60	[-]	1,58				

1) En l'absence d'autres réglementations nationales

Hilti HST4-R, HST4

Performances
Résistance caractéristique sous charge de traction

Annexe C2

Tableau C1: Suite

Taille		M8	M10	M12	M16	M20	
Profondeur d'ancrage effective	h_{ef} [mm]	30-90	30-100	40-125	65-160	101-180	
Rupture par cône béton et par fendage							
HST4-R							
Coefficient de sécurité d'installation	γ_{inst} [-]	1,0					
Facteur	$k_1=k_{ucr,N}$ [-]	11,0	12,7	12,7	12,7	11,0	
	$k_1=k_{cr,N}$ [-]	7,7	8,9	8,9	8,9	7,7	
HST4							
Coefficient de sécurité d'installation	γ_{inst} [-]	1,0					
Facteur	$k_1=k_{ucr,N}$ [-]	11,0	11,8	12,7	12,7	11,0	
	$k_1=k_{cr,N}$ [-]	7,7	8,9	8,9	8,9	7,7	
HST4-R, HST4							
Espacement	$s_{cr,N}$ [mm]	$3 \cdot h_{ef}$					
Distance au bord	$c_{cr,N}$ [mm]	$1,5 \cdot h_{ef}$					
Résistance caractéristique au fendage ³⁾	$N^0_{Rk,sp}$ [kN]	Min ($N_{Rk,p}$; $N^0_{Rk,c}$) ²⁾					
Surface de fendage requise pour déterminer $c_{cr,sp}$ ⁴⁾	A_{rqd} [mm ²]	$(N^0_{Rk,sp,C20} - b) / a$ ³⁾					1)
Facteur pour le calcul de A_{rqd}	b [-]	-4,7072	-8,7141	-11,678	3,7791	1)	
Facteur pour le calcul de A_{rqd}	a [-]	0,00099	0,00109	0,00109	0,0006	1)	
Espacement (fendage)	$s_{cr,sp}$ [mm]	$2 \cdot c_{cr,sp}$					
Distance au bord (fendage) ⁵⁾	$c_{cr,sp}$ [mm]	Min [$(A_{rqd} + 0,8 \cdot (h_{min} - h_{ef})^2) / (3,41 \cdot h_{min} - 0,59 \cdot h_{ef})$; $A_{rqd} / (h_{min} \cdot 8^{0,5})$] $\geq (1,5 \cdot h_{ef})$ ⁵⁾					$1,9 \cdot h_{ef}$

1) Aucune performance évaluée

2) $N^0_{Rk,c}$ selon l'EN 1992-4:2018

3) $N^0_{Rk,sp,C20}$ en kN et calculé pour du béton C20/25 non-fissuré

4) h_{min} = épaisseur minimale de l'élément associée à la profondeur d'ancrage h_{ef} sous la condition $h_{min} \leq 4 \cdot h_{ef}$

5) $c_{cr,sp} \geq (1,5 \cdot h_{ef})$ si la rupture du cône de béton est déterminante pour l'évaluation de $N^0_{Rk,sp}$

Hilti HST4-R, HST4

Performances
Résistance caractéristique sous charge de traction

Annexe C2

Tableau C2: Valeurs caractéristiques de la résistance sous charges de cisaillement en cas de chargement statique ou quasi-statique

Taille		M8	M10	M12	M16	M20			
Rupture de l'acier sans lever arm									
Profondeur d'ancrage	h_{ef} [mm]	30-90	30-100	40-125	65-160	101-180			
Coefficient de sécurité partiel	$\gamma_{Ms,V^1)}$ [-]	1,25							
Facteur de ductilité	k_7 [-]	1,00							
HST4-R									
Résistance caractéristique	$V^0_{Rk,s}$ [kN]	17,4	27,5	Min (0,34· h_{ef} + 20,76; 41,3)	72,4	97,2			
Résistance caractéristique avec le Filling Set Hilti	$V^0_{Rk,s}$ [kN]	17,4	27,5	Min (0,34· h_{ef} + 20,76; 41,3)	72,4	102,7			
HST4									
Résistance caractéristique	$V^0_{Rk,s}$ [kN]	16,3	24,8	Min (0,166· h_{ef} + 27,49; 37,4)	62,9	83,9			
Résistance caractéristique avec le Filling Set Hilti	$V^0_{Rk,s}$ [kN]	16,3	24,8	Min (0,166· h_{ef} + 27,49; 37,4)	62,9	100,4			
Rupture de l'acier avec lever arm									
HST4-R, HST4									
Profondeur d'ancrage	h_{ef} [mm]	30-90	30-100	40-125	65-160	101-180			
Coefficient de sécurité partiel	$\gamma_{Ms,V^1)}$ [-]	1,25							
Facteur de ductilité	k_7 [-]	1,00							
HST4-R									
Résistance caractéristique	$M^0_{Rk,s}$ [Nm]	30	58	100	243	425			
HST4									
Résistance caractéristique	$M^0_{Rk,s}$ [Nm]	31	63	110	247	457			
Rupture du béton par effet levier									
Profondeur d'ancrage effective	h_{ef} [mm]	30-39	40-90	30-39	40-100	40-49	50-125	65-160	101-180
Facteur d'effet levier	k_8 [-]	2,05	2,76	1,86	2,00	2,5	2,74	3,0	3,2
Coefficient de sécurité d'installation	γ_{inst} [-]	1,00							
Rupture du bord de l'élément en béton									
Longueur effective de la cheville	$l_f = h_{ef}$ [mm]	30-90	30-100	40-125	65-160	101-180			
Diamètre de la cheville	d_{nom} [mm]	8	10	12	16	20			
Coefficient de sécurité d'installation	γ_{inst} [-]	1,00							

1) En l'absence d'autres réglementations nationales

Hilti HST4-R, HST4	Annexe C3
Performances Résistance caractéristique sous charge de cisaillement	

Tableau C3: Déplacements sous charge de traction en cas de chargement statique ou quasi-statique

Taille			M8	M10	M12	M16	M20
Profondeur d'ancrage effective	h_{ef}	[mm]	30-90	30-100	40-125	65-160	101-180
HST4-R							
Charge de traction dans le béton non-fissuré	N	[kN]	10,5	15,5	22,9	35,7	24,4
Déplacement correspondant	δ_{N0}	[mm]	0,92	0,79	1,53	2,04	0,50
	$\delta_{N\infty}$	[mm]	0,92	0,79	1,53	2,04	0,90
Charge de traction dans le béton fissuré	N	[kN]	4,8	9,5	13,3	17,1	17,4
Déplacement correspondant	δ_{N0}	[mm]	0,70	0,86	0,87	1,12	1,30
	$\delta_{N\infty}$	[mm]	1,78	1,54	1,62	1,29	1,80
HST4							
Charge de traction dans le béton non-fissuré	N	[kN]	6,0	9,6	13,9	18,2	24,4
Déplacement correspondant	δ_{N0}	[mm]	0,09	0,10	0,10	0,18	0,50
	$\delta_{N\infty}$	[mm]	1,50	1,50	1,50	1,50	0,90
Charge de traction dans le béton fissuré	N	[kN]	3,9	6,1	9,0	12,21	17,4
Déplacement correspondant	δ_{N0}	[mm]	0,60	0,58	0,38	0,64	1,30
	$\delta_{N\infty}$	[mm]	1,84	1,70	2,00	1,95	1,80

Tableau C4: Déplacements sous charge de cisaillement en cas de chargement statique ou quasi-statique

Taille			M8	M10	M12	M16	M20
Profondeur d'ancrage effective	h_{ef}	[mm]	30-90	30-100	40-125	65-160	101-180
HST4-R							
Charge de cisaillement dans le béton non-fissuré	V	[kN]	8,9	14,1	21,1	36,9	55,6
Déplacement correspondant	δ_{v0}	[mm]	6,7	4,0	4,5	3,2	3,2
	$\delta_{v\infty}$	[mm]	10,0	5,9	6,8	4,7	4,8
Charge de cisaillement dans le béton non-fissuré avec le Filling Set	V	[kN]	8,9	14,1	21,1	36,9	58,7
Déplacement correspondant	δ_{v0}	[mm]	6,7	4,0	4,5	3,2	4,9
	$\delta_{v\infty}$	[mm]	10,0	5,9	6,8	4,7	7,3

Hilti HST4-R, HST4

Performances
Déplacements

Annexe C4

Tableau C4: suite

Taille			M8	M10	M12	M16	M20
Profondeur d'ancrage effective	h_{ef}	[mm]	30-90	30-100	40-125	65-160	101-180
HST4							
Charge de cisaillement dans le béton non-fissuré	V	[kN]	5,5	8,4	11,6	21,4	47,9
Déplacement correspondant	δ_{v0}	[mm]	1,10	1,55	0,59	0,42	2,7
	$\delta_{v\infty}$	[mm]	2,34	3,89	1,70	0,98	4,1
Charge de cisaillement dans le béton non-fissuré avec le Filling Set	V	[kN]	5,5	8,4	11,6	21,4	57,4
Déplacement correspondant	δ_{v0}	[mm]	1,1	1,55	0,59	0,42	5,9
	$\delta_{v\infty}$	[mm]	2,34	3,89	1,7	0,98	8,8

Hilti HST4-R, HST4

Performances
Déplacements

Annexe C5

Tableau C5: Valeurs caractéristiques de résistance sous charges de traction, catégorie sismique C1

Taille			M8	M10	M12	M16	M20
Profondeur d'ancrage effective	h_{ef}	[mm]	30-90	30-100	40-125	65-160	101-180
Rupture de l'acier							
Coefficient de sécurité partiel	$\gamma_{Ms,C1}^{1)}$	[-]	1,4				
HST4-R							
Résistance caractéristique	$N_{Rk,s,C1}$	[kN]	22,0	32,5	48,0	75,0	115,8
HST4							
Résistance caractéristique	$N_{Rk,s,C1}$	[kN]	21,0	32,5	46,0	75,0	124,2
Rupture par extraction							
Coefficient de sécurité d'installation	γ_{inst}	[-]	1,0				
HST4-R							
Résistance caractéristique	$N_{Rk,p,C1}$	[kN]	Min (0,0321· $h_{ef}^{1,5}$; 9,3)	Min (0,0378· $h_{ef}^{1,5}$; 19,1)	Min (0,0374· $h_{ef}^{1,5}$; 24,4)	Min (0,0390· $h_{ef}^{1,5}$; 37,1)	35,0
HST4							
Résistance caractéristique	$N_{Rk,p,C1}$	[kN]	Min (0,0321· $h_{ef}^{1,5}$; 11,2)	Min (0,0378· $h_{ef}^{1,5}$; 18,1)	Min (0,0374· $h_{ef}^{1,5}$; 26,3)	Min (0,0389· $h_{ef}^{1,5}$; 37,1)	35,0
Rupture par cône béton ²⁾							
HST4-R, HST4							
Coefficient de sécurité d'installation	γ_{inst}	[-]	1,0				
Facteur	$k_1=k_{cr,N}$	[-]	7,7	8,9	8,9	8,9	7,7
Rupture par fendage ²⁾							
Coefficient de sécurité d'installation	γ_{inst}	[-]	1,0				

1) En l'absence d'autres réglementations nationales

2) Pour une rupture par cône béton et une rupture par fendage voir l'EN 1992-4:2018

Hilti HST4-R, HST4

Performances

Resistance caractéristique sous actions sismiques, catégorie sismique C1

Annex C6

Tableau C6: Valeurs caractéristiques de la résistance sous charges de cisaillement, catégorie sismique C1

Taille			M8	M10	M12	M16	M20
Rupture de l'acier							
Facteur de réduction selon l'EN 1992-4:2018 sans Filling Set	α_{gap}	[-]	0,5				
Facteur de réduction selon l'EN 1992-4:2018 avec Filling Set	α_{gap}	[-]	1,0				
Profondeur d'ancrage effective	h_{ef}	[mm]	30-90	30-100	40-125	65-160	101-180
HST4-R							
Résistance caractéristique	$V_{Rk,s,C1}$	[kN]	Min (0,165· h_{ef} +8,26; 15,7)	Min (0,166· h_{ef} +13,3; 23,3)	Min (0,00063· h_{ef}^2 +0,3283· h_{ef} +17,72; 39,9)	Min (0,268· h_{ef} +38,0; 60,8)	56,7
Résistance caractéristique avec le Filling Set	$V_{Rk,s,C1}$	[kN]	Min (0,165· h_{ef} +8,26; 15,7)	Min (0,166· h_{ef} +13,3; 23,3)	Min (0,00063· h_{ef}^2 +0,3283· h_{ef} +17,72; 39,9)	Min (0,268· h_{ef} +38,0; 60,8)	102,7
Coefficient de sécurité partiel	$\gamma_{Ms,C1}^{1)}$	[-]	1,25				
HST4							
Résistance caractéristique	$V_{Rk,s,C1}$	[kN]	13,43	Min (0,136· h_{ef} +13,83; 21,97)	Min (0,476· h_{ef} +4,61; 33,16)	Min (0,432· h_{ef} +13,4; 50,13)	77,6
Résistance caractéristique avec le Filling Set	$V_{Rk,s,C1}$	[kN]	13,43	Min (0,136· h_{ef} +13,83; 21,97)	Min (0,476· h_{ef} +4,61; 33,16)	Min (0,432· h_{ef} +13,4; 50,13)	100,4
Coefficient de sécurité partiel	$\gamma_{Ms,C1}^{1)}$	[-]	1,25				
Rupture du béton par effet levier ²⁾							
HST4-R, HST4							
Profondeur d'ancrage effective	h_{ef}	[mm]	30-90	30-100	40-125	65-160	101-180
Coefficient de sécurité d'installation	γ_{inst}	[-]	1,00				
Rupture du bord de l'élément en béton ²⁾							
Profondeur d'ancrage effective	h_{ef}	[mm]	30-90	30-100	40-125	65-160	101-180
Coefficient de sécurité d'installation	γ_{inst}	[-]	1,00				

1) En l'absence d'autres réglementations nationales

2) Pour une rupture par cône béton et une rupture par fendage voir l'EN 1992-4:2018

Hilti HST4-R, HST4

Annexe C7

Performances

Resistance caractéristique sous actions sismiques, catégorie sismique C1

Tableau C7: Valeurs caractéristiques de résistance sous charges de traction, catégorie sismique C2

Taille		M8	M10	M12	M16	M20
Rupture de l'acier						
Profondeur d'ancrage effective	h_{ef} [mm]	30-90	30-100	40-125	65-160	101-180
HST4-R						
Résistance caractéristique	$N_{Rk,s,C2}$ [kN]	22,0	32,5	40,0	75,0	115,8
Coefficient de sécurité partiel	$\gamma_{Ms,C2}^{1)}$ [-]	1,4				
HST4						
Résistance caractéristique	$N_{Rk,s,C2}$ [kN]	21,0	32,5	40,0	75,0	124,2
Coefficient de sécurité partiel	$\gamma_{Ms,C2}^{1)}$ [-]	1,4				
Rupture par extraction						
Profondeur d'ancrage effective	h_{ef} [mm]	30 - 90	30 - 100	40 - 125	65 - 160	101-180
HST4-R						
Résistance caractéristique	$N_{Rk,p,C2}$ [kN]	Min (0,09· h_{ef} + 0,33; 5,0)	Min (0,25· h_{ef} - 2,44; 12,7)	Min (0,33· h_{ef} - 2,68; 22,0)	Min (0,69· h_{ef} - 25,25; 36,8)	35,0
Coefficient de sécurité d'installation	γ_{inst} [-]	1,0				
HST4						
Résistance caractéristique	$N_{Rk,p,C2}$ [kN]	Min (0,07· h_{ef} + 1,09; 4,61)	Min (0,253· h_{ef} - 2,67; 12,51)	Min (0,380· h_{ef} - 6,875; 21,6)	Min (0,824· h_{ef} - 35,93; 38,2)	35,0
Coefficient de sécurité d'installation	γ_{inst} [-]	1,0				
Rupture par cône béton ²⁾						
HST4-R, HST4						
Profondeur d'ancrage effective	h_{ef} [mm]	30-90	30-100	40-125	65-160	101-180
Coefficient de sécurité d'installation	γ_{inst} [-]	1,0				
Facteur	$k_1=K_{cr,N}$ [-]	7,7	8,9	8,9	8,9	7,7
Rupture par fendage ²⁾						
Profondeur d'ancrage effective	h_{ef} [mm]	30-90	30-100	40-125	65-160	101-180
Coefficient de sécurité d'installation	γ_{inst} [-]	1,0				

¹⁾ En l'absence d'autres réglementations nationales

²⁾ Pour une rupture par cône béton et une rupture par fendage voir l'EN 1992-4:2018

Hilti HST4-R, HST4

Performances

Resistance caractéristique sous actions sismiques et déplacements, catégorie sismique C2

Annex C9

Tableau C8: Déplacements sous charges de traction, catégorie sismique C2

Taille		M8	M10	M12	M16	M20
Profondeur d'ancrage effective	h_{ef} [mm]	30-90	30-100	40-125	65-160	101-180
HST4-R						
Déplacements DLS	$\delta_{N,C2(DLS)}$ [mm]	3,4	3,4	3,5	4,6	6,9
Déplacements ULS	$\delta_{N,C2(ULS)}$ [mm]	10,1	22,9	17,3	13,9	18,4
HST4						
Déplacements DLS	$\delta_{N,C2(DLS)}$ [mm]	3,8	3,9	4,0	5,6	6,9
Déplacements ULS	$\delta_{N,C2(ULS)}$ [mm]	13,5	22,9	18,7	16,2	18,4

Tableau C9: Valeurs caractéristiques de la résistance sous charges de cisaillement, catégorie sismique C2

Taille		M8	M10	M12	M16	M20
Rupture de l'acier						
Facteur de réduction selon l'EN 1992-4:2018 sans Filling Set	α_{gap} [-]	0,5				
Facteur de réduction selon l'EN 1992-4:2018 avec Filling Set	α_{gap} [-]	1,0				
Profondeur d'ancrage effective	h_{ef} [mm]	30 - 90	30 - 100	40 - 125	65 - 160	101-180
HST4-R						
Résistance caractéristique	$V_{Rk,s,C2}$ [kN]	Min (0,11· h_{ef} +5,06; 10,2)	Min (0,14· h_{ef} +10,24; 18,8)	Min (0,20· h_{ef} +12,05; 24,0)	51,3	49,5
Résistance caractéristique avec Filling Set	$V_{Rk,s,C2}$ [kN]	Min (0,11· h_{ef} +5,06; 10,2)	Min (0,14· h_{ef} +10,24; 18,8)	Min (0,20· h_{ef} +12,05; 24,0)	51,3	67,4
Coefficient de sécurité partiel	$\gamma_{Ms,C2}^{1)}$ [-]	1,25				
HST4						
Résistance caractéristique	$V_{Rk,s,C2}$ [kN]	Min (0,11· h_{ef} +5,06; 10,2)	Min (0,14· h_{ef} +10,24; 18,8)	Min (0,20· h_{ef} +12,05; 24,0)	51,3	49,5
Résistance caractéristique avec Filling Set	$V_{Rk,s,C2}$ [kN]	Min (0,11· h_{ef} +5,06; 10,2)	Min (0,14· h_{ef} +10,24; 18,8)	Min (0,20· h_{ef} +12,05; 24,0)	51,3	67,4
Coefficient de sécurité partiel	$\gamma_{Ms,C2}^{1)}$ [-]	1,25				

Hilti HST4-R, HST4

Annex C9

Performances

Resistance caractéristique et déplacements sous actions sismiques, catégorie sismique C2

Tableau C9: Suite

Taille			M8	M10	M12	M16	M20
Rupture du béton par effet levier ²⁾							
HST4-R, HST4							
Profondeur d'ancrage effective	h_{ef}	[mm]	30-90	30-100	40-125	65-160	101-180
Coefficient de sécurité d'installation	γ_{inst}	[-]	1,00				
Rupture du bord de l'élément en béton ²⁾							
Profondeur d'ancrage effective	h_{ef}	[mm]	30-90	30-100	40-125	65-160	101-180
Coefficient de sécurité d'installation	γ_{inst}	[-]	1,00				

¹⁾ En l'absence d'autres réglementations nationales

²⁾ Pour une rupture par cône béton et une rupture par fendage voir l'EN 1992-4:2018

Tableau C10: Déplacements sous charges de cisaillement, catégorie sismique C2

Taille			M8	M10	M12	M16	M20
Profondeur d'ancrage effective	h_{ef}	[mm]	30-90	30-100	40-125	65-160	101-180
Déplacements							
HST4-R							
Déplacement DLS	$\delta_{V,C2}$ (DLS)	[mm]	3,8	4,1	5,1	4,5	3,9
Déplacement DLS avec le Filling set	$\delta_{V,C2}$ (DLS)	[mm]	¹⁾	¹⁾	¹⁾	¹⁾	2,2
Déplacement ULS	$\delta_{V,C2}$ (ULS)	[mm]	6,2	8,2	9,9	7,5	7,0
Déplacement ULS avec le Filling set	$\delta_{V,C2}$ (ULS)	[mm]	¹⁾	¹⁾	¹⁾	¹⁾	7,0
HST4							
Déplacement DLS	$\delta_{V,C2}$ (DLS)	[mm]	3,1	5,0	5,0	4,9	5,2
Déplacement DLS avec le Filling set	$\delta_{V,C2}$ (DLS)	[mm]	¹⁾	¹⁾	¹⁾	¹⁾	1,9
Déplacement ULS	$\delta_{V,C2}$ (ULS)	[mm]	4,9	8,3	7,5	9,0	10,0
Déplacement ULS avec le Filling set	$\delta_{V,C2}$ (ULS)	[mm]	¹⁾	¹⁾	¹⁾	¹⁾	5,3

¹⁾ Aucune performance évaluée

Hilti HST4-R, HST4

Performances

Resistance caractéristique et déplacements sous actions sismiques, catégorie sismique C2

Annexe C10

Tableau C11: Résistance caractéristique en traction sous exposition au feu dans le béton fissuré

Taille			M8		M10			M12			M16		M20	
Profondeur d'ancrage effective	h_{ef}	[mm]	30 - 46	47 - 90	30 - 39	40 - 59	60 - 100	40 - 49	50 - 69	70 - 125	65 - 84	85 - 160	101 - 180	
Rupture de l'acier														
HST4-R														
Résistance caractéristique	R30	$N_{Rk,s,fi}$	[kN]	2,2	4,9	3,5	5,2	11,8	5,2	9,1	17,1	16,9	31,9	49,8
	R60	$N_{Rk,s,fi}$	[kN]	1,8	3,6	2,9	3,7	8,4	4,4	6,8	12,2	12,6	22,8	35,5
	R90	$N_{Rk,s,fi}$	[kN]	1,4	2,4	2,3	2,5	5,0	3,6	4,5	7,3	8,4	13,6	21,2
	R120	$N_{Rk,s,fi}$	[kN]	1,2	1,7	2,0	2,0	3,3	3,2	3,3	4,8	6,2	9,0	14,1
HST4														
Résistance caractéristique	R30	$N_{Rk,s,fi}$	[kN]	0,9	0,9	1,5	1,5	2,4	2,3	2,3	5,2	4,4	9,7	15,2
	R60	$N_{Rk,s,fi}$	[kN]	0,8	0,8	1,2	1,2	1,8	1,7	1,7	3,7	3,2	6,8	10,6
	R90	$N_{Rk,s,fi}$	[kN]	0,7	0,7	0,9	0,9	1,2	1,1	1,1	2,1	2,1	3,9	6,0
	R120	$N_{Rk,s,fi}$	[kN]	0,6	0,6	0,8	0,8	0,9	0,8	0,8	1,3	1,3	2,4	3,8
Rupture par extraction														
HST4-R														
Résistance caractéristique $\geq C20/25$	R30	$N_{Rk,p,fi}$	[kN]	2,5		5,0		7,0			9,5		9,1	
	R60	$N_{Rk,p,fi}$	[kN]	2,5		5,0		7,0			9,5		9,1	
	R90	$N_{Rk,p,fi}$	[kN]	2,5		5,0		7,0			9,5		9,1	
	R120	$N_{Rk,p,fi}$	[kN]	2,0		4,0		5,6			7,6		7,3	
HST4														
Résistance caractéristique $\geq C20/25$	R30	$N_{Rk,p,fi}$	[kN]	3,0		4,7		7,0			9,5		9,1	
	R60	$N_{Rk,p,fi}$	[kN]	3,0		4,7		7,0			9,5		9,1	
	R90	$N_{Rk,p,fi}$	[kN]	3,0		4,7		7,0			9,5		9,1	
	R120	$N_{Rk,p,fi}$	[kN]	2,4		3,8		5,6			7,6		7,3	

Hilti HST4-R, HST4

Performances
 Résistance caractéristique en traction sous exposition au feu

Annexe C11

Tableau C11: Suite

Taille			M8		M10			M12			M16		M20
Profondeur d'ancrage effective	h_{ef}	[mm]	30 - 46	47 - 90	30 - 39	40 - 59	60 - 100	40 - 49	50 - 69	70 - 125	65 - 84	85 - 160	101 - 180
Rupture par cône béton													
HST4-R, HST4													
Résistance caractéristique $\geq C20/25$	R30	$N_{Rk,c,fi}$ [kN]	$h_{ef} / 200 \cdot N^0_{Rk,c} \leq N^0_{Rk,c}$										
	R60	$N_{Rk,c,fi}$ [kN]											
	R90	$N_{Rk,c,fi}$ [kN]											
	R120	$N_{Rk,c,fi}$ [kN]											
Facteur	$k_1 = k_{cr,N}$	[-]	7,7		8,9			8,9			8,9		7,7
Espacement	$s_{cr,N,fi}$	[mm]	$4 h_{ef}$										
	s_{min}	[mm]	35		40			50			65		90
Distance au bord	$c_{cr,N,fi}$	[mm]	$2 h_{ef}$										
	c_{min}	[mm]	Si le feu attaque d'un coté: $2 h_{ef}$ Si le feu attaque de plus d'un coté : ≥ 300 mm										

En l'absence d'autres réglementations nationales, le coefficient partiel de sécurité pour la résistance à l'exposition au feu $\gamma_{M,fi} = 1,0$ est recommandé

Hilti HST4-R, HST4

Performances
Résistance caractéristique en traction sous exposition au feu

Annexe C12

Tableau C12: Résistance caractéristique en cisaillement sous exposition au feu dans le béton fissuré

Taille			M8		M10			M12			M16		M20	
Profondeur d'ancrage effective	h_{ef}	[mm]	30 - 46	47 - 90	30 - 39	40 - 59	60 - 100	40 - 49	50 - 69	70 - 125	65 - 84	85 - 160	101 - 180	
Rupture de l'acier														
HST4-R														
Résistance caractéristique	R30	$V_{Rk,s,fi}$	[kN]	2,2	4,9	3,5	5,2	11,8	5,2	9,1	17,1	16,9	31,9	49,8
	R60	$V_{Rk,s,fi}$	[kN]	1,8	3,6	2,9	3,7	8,4	4,4	6,8	12,2	12,6	22,8	35,5
	R90	$V_{Rk,s,fi}$	[kN]	1,4	2,4	2,3	2,5	5,0	3,6	4,5	7,3	8,4	13,6	21,2
	R120	$V_{Rk,s,fi}$	[kN]	1,2	1,7	2,0	2,0	3,3	3,2	3,3	4,8	6,2	9,0	14,1
HST4														
Résistance caractéristique	R30	$V_{Rk,s,fi}$	[kN]	0,9	0,9	1,5	1,5	2,4	2,3	2,3	5,2	4,4	9,7	15,2
	R60	$V_{Rk,s,fi}$	[kN]	0,8	0,8	1,2	1,2	1,8	1,7	1,7	3,7	3,2	6,8	10,6
	R90	$V_{Rk,s,fi}$	[kN]	0,7	0,7	0,9	0,9	1,2	1,1	1,1	2,1	2,1	3,9	6,0
	R120	$V_{Rk,s,fi}$	[kN]	0,6	0,6	0,8	0,8	0,9	0,8	0,8	1,3	1,3	2,4	3,8
Rupture de l'acier avec bras de levier														
HST4-R														
Résistance caractéristique	R30	$M^0_{Rk,s,fi}$	[Nm]	2,2	5,0	4,5	6,7	15,2	8,1	14,1	26,6	35,9	67,6	132,0
	R60	$M^0_{Rk,s,fi}$	[Nm]	1,8	3,7	3,8	4,8	10,8	6,9	10,5	19,0	26,8	48,2	94,1
	R90	$M^0_{Rk,s,fi}$	[Nm]	1,4	2,4	3,0	3,2	6,5	5,6	7,0	11,3	17,7	28,8	56,3
	R120	$M^0_{Rk,s,fi}$	[Nm]	1,2	1,8	2,6	2,6	4,3	5,0	5,2	7,5	13,2	19,1	37,3
HST4														
Résistance caractéristique	R30	$M^0_{Rk,s,fi}$	[Nm]	0,9	0,9	2,0	2,0	3,1	3,6	3,6	8,1	9,3	20,6	40,2
	R60	$M^0_{Rk,s,fi}$	[Nm]	0,8	0,8	1,6	1,6	2,4	2,7	2,7	5,7	6,9	14,4	28,1
	R90	$M^0_{Rk,s,fi}$	[Nm]	0,7	0,7	1,2	1,2	1,6	1,8	1,8	3,2	4,5	8,2	16,0
	R120	$M^0_{Rk,s,fi}$	[Nm]	0,6	0,6	1,0	1,0	1,2	1,3	1,3	2,0	3,3	5,1	10,0

En l'absence d'autres réglementations nationales, le coefficient partiel de sécurité pour la résistance à l'exposition au feu $\gamma_{M,fi} = 1,0$ est recommandé

Hilti HST4-R, HST4

Performances
Résistance caractéristique en cisaillement sous exposition au feu

Annexe C13

/CSTB, le futur en construction/
**Centre Scientifique et
Technique du Bâtiment**

84 avenue Jean Jaurès
CHAMPS-SUR-MARNE
F-77447 Marne-la-Vallée Cedex 2

Tel.: (33) 01 64 68 82 82
Faks: (33) 01 60 05 70 37

Jednostka wyznaczona
na podstawie art. 29
Rozporządzenia (UE)
nr 305/2011

Europejska Ocena Techniczna **ETA-21/0878** z 31 października 2024 r.

*Tłumaczenie na język angielski opracowane przez CSTB - wersja oryginalna w języku francuskim
Tłumaczenie z języka angielskiego na język polski wykonano na zlecenie Hilti*

Część ogólna

Jednostka Oceny Technicznej wydająca niniejszą Europejską Ocena Techniczną:
Centre Scientifique et Technique du Bâtiment (CSTB)

Nazwa handlowa:	Hilti HST4-R, HST4
Rodzina wyrobów:	Kotwa rozprężna o rozprężaniu kontrolowanym momentem dokręcającym do stosowania w betonie: rozmiary M8, M10, M12, M16 i M20.
Producent:	Hilti Aktiengesellschaft Feldkircherstrasse 100 FL-9494 Schaan Księstwo Liechtenstein
Zakłady produkcyjne:	Zakłady Hilti
Niniejsza Europejska Ocena Techniczna zawiera:	32 strony, w tym 29 stron załączników stanowiących integralną część oceny technicznej
Niniejsza Europejska Ocena Techniczna została wydana zgodnie z rozporządzeniem (UE) nr 305/2011 na podstawie:	EAD 330232-01-0601-v05 „Łączniki mechaniczne do stosowania w betonie C12/15 do C90/105 oraz w betonie zbrojonym włóknami stalowymi”
Niniejsza ocena techniczna zastępuje:	ETA-21/0878 z 28 lutego 2023 r.

Niniejsza Europejska Ocena Techniczna została wydana przez Jednostkę Oceny Technicznej w języku urzędowym tej jednostki. Tłumaczenia niniejszej Europejskiej Oceny Technicznej na inne języki powinny w pełni odpowiadać oryginalnie wydanemu dokumentowi i powinny być oznaczone jako tłumaczenia. Niniejsza Europejska Ocena Techniczna, włączając w to jej formy elektroniczne, może być rozpowszechniana wyłącznie w całości. Jakkolwiek publikowanie części dokumentu jest możliwe wyłącznie za pisemną zgodą Jednostki Oceny Technicznej. W tym przypadku na kopii powinna być podana informacja, że jest to fragment dokumentu. Niniejsza Europejska Ocena Techniczna może zostać wycofana przez wydającą ją Jednostkę Oceny Technicznej, w szczególności na podstawie informacji Komisji zgodnie z artykułem 25(3) rozporządzenia (UE) nr 305/2011.

Tłumaczenie z języka angielskiego na język polski wykonano na zlecenie Hilti

Część szczegółowa

1 Opis techniczny wyrobu

Przedmiotowa kotwa Hilti HST4-R i HST4 jest kotwą rozprężną o rozprężeniu kontrolowanym momentem dokręcającym wykonaną ze stali nierdzewnej (HST4-R) lub ze stali ocynkowanej (HST4), która jest umieszczana w wywierconym otworze oraz kotwiona poprzez zastosowanie rozprężenia kontrolowanego momentem dokręcającym.

Opis wyrobu podano w Załącznikach A.

2 Wymagania techniczne zamierzonego zastosowania

Właściwości użytkowe podane w punkcie 3 obowiązują wyłącznie w przypadku, gdy przedmiotowa kotwa jest stosowana zgodnie z wymaganiami technicznymi i warunkami podanymi w Załącznikach B.

Postanowienia niniejszej Europejskiej Oceny Technicznej są oparte na zakładanym okresie użytkowania kotwy wynoszącym 50 lat. Wskazania dotyczące okresu użytkowania nie mogą być interpretowane jako gwarancja udzielona przez producenta, a jedynie jako przesłanki mające pomóc w wyborze odpowiedniego produktu spełniającego oczekiwania z punktu widzenia ekonomicznie optymalnego czasu eksploatacji wykonanych robót.

3 Właściwości użytkowe wyrobu

3.1 Nośność i stateczność (podstawowe wymagania 1)

Zasadnicze charakterystyki	Właściwości użytkowe
Nośność charakterystyczna w przypadku obciążeń statycznych oraz quasi-statycznych, przemieszczenia	Patrz Załączniki C1-C5
Nośność charakterystyczna w przypadku kategorii właściwości sejsmicznych C1, przemieszczenia	Patrz Załączniki C6-C7
Nośność charakterystyczna w przypadku kategorii właściwości sejsmicznych C2, przemieszczenia	Patrz Załączniki C8-C10
Trwałość	Patrz Załącznik B1

3.2 Bezpieczeństwo pożarowe (podstawowe wymagania 2)

Zasadnicze charakterystyki	Właściwości użytkowe
Reakcja na działanie ognia	Zakotwienia spełniają wymagania klasy A1
Nośność ogniowa	Patrz Załączniki C11-C13

3.3 Higiena, zdrowie i środowisko (podstawowe wymagania 3)

W odniesieniu do substancji niebezpiecznych zawartych w niniejszej Europejskiej Ocenie Technicznej, mogą istnieć wymogi mające zastosowanie do produktów objętych jej zakresem (np. transponowane prawodawstwo europejskie i prawa krajowe, regulacje i przepisy administracyjne). Aby zapewnić zgodność z postanowieniami dyrektywy budowlanej (CPD), należy również spełnić te wymagania, o ile mają zastosowanie.

3.4 Bezpieczeństwo użytkowania (podstawowe wymagania 4)

W zakresie podstawowych wymagań dotyczących bezpieczeństwa użytkowania obowiązują takie same kryteria jak dla podstawowych wymagań dotyczących nośności i stateczności.

3.5 Ochrona przed hałasem (podstawowe wymagania 5)

Nie dotyczy.

3.6 Oszczędność energii i izolacja cieplna (podstawowe wymagania 6)

Nie dotyczy.

3.7 Zrównoważone wykorzystanie zasobów naturalnych (podstawowe wymagania 7)

Nie określono właściwości użytkowych niniejszego produktu w zakresie zrównoważonego wykorzystania zasobów naturalnych.

3.8 Ogólne aspekty dotyczące przydatności do użycia

Trwałość i użyteczność produktu są zapewnione jedynie pod warunkiem zachowania specyfikacji zamierzonego stosowania zgodnie z Załącznikiem B1.

Tłumaczenie z języka angielskiego na język polski wykonano na zlecenie Hilti

4 System oceny i weryfikacji stałości właściwości użytkowych (AVCP)

Zgodnie z decyzją Komisji Europejskiej 96/582/WE¹ z późniejszymi zmianami, obowiązuje system oceny i weryfikacji stałości właściwości użytkowych (patrz załącznik V do rozporządzenia (UE) nr 305/2011) podany w poniższej tabeli.

Produkt	Zamierzone stosowanie	Poziom lub klasa	System
Kotwy metalowe do stosowania w betonie	Mocowanie i/lub podtrzymywanie w betonie elementów konstrukcyjnych (przyczyniających się do stateczności robót) lub elementów ciężkich	—	1

5 Szczegóły techniczne niezbędne do wdrożenia systemu AVCP, zgodnie z odpowiednim Europejskim Dokumentem Oceny (EAD)

Szczegóły techniczne niezbędne do wdrożenia systemu oceny i weryfikacji stałości właściwości użytkowych (AVCP) zostały określone w planie kontroli złożonym w Centre Scientifique et Technique du Bâtiment.

Producent na podstawie umowy zleca jednostce notyfikowanej zatwierdzonej w zakresie techniki kotwienia wydanie certyfikatu zgodności CE, zgodnie z planem kontroli.

Oryginalna wersja w języku francuskim podpisana przez:

Loic PAYET

Kierownik działu konstrukcji, konstrukcji murowych i ścian działowych

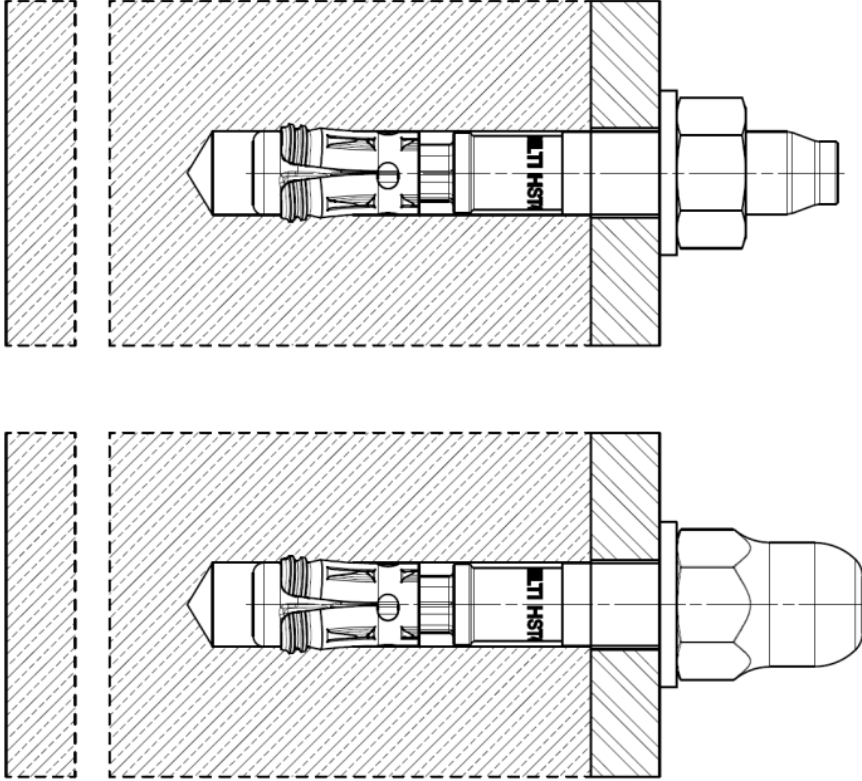
¹ Dziennik Urzędowy Wspólnot europejskich nr L 254 z dnia 08.10.1996 r.

Tłumaczenie z języka angielskiego na język polski wykonano na zlecenie Hilti

Warunki montażu

Rysunek A1:

Metalowa kotwa rozprężna Hilti HST4-R, HST4 odpowiednio ze standardową nakrętką sześciokątną lub z opcjonalną nakrętką kołpakową



Hilti HST4-R, HST4

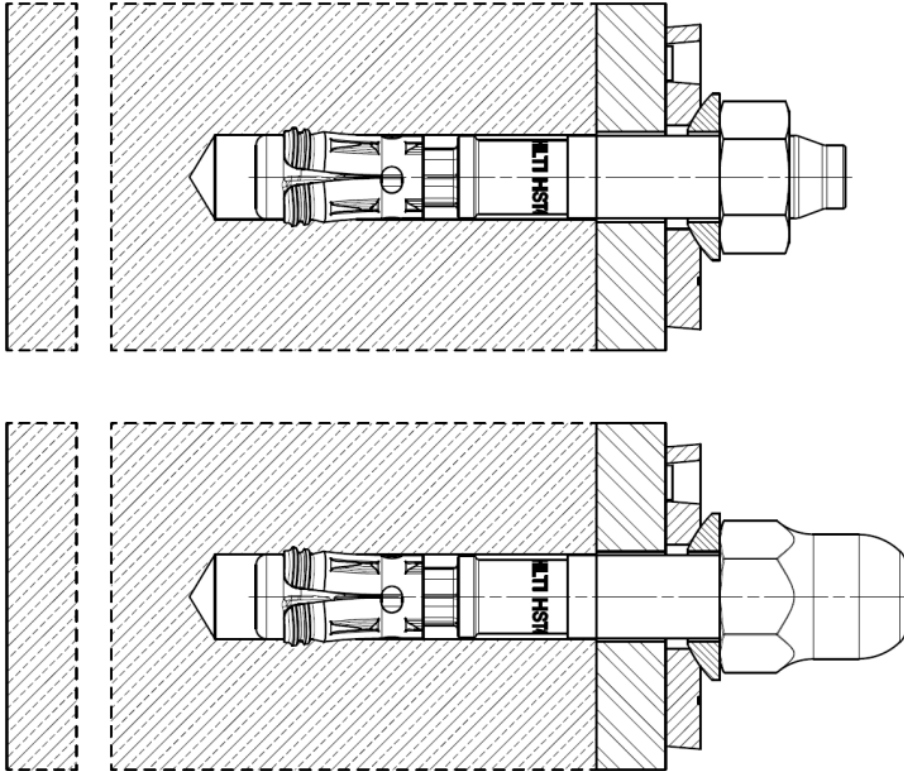
Opis wyrobu
Warunki montażu

Załącznik A1

Tłumaczenie z języka angielskiego na język polski wykonano na zlecenie Hilti

Rysunek A2:

Metalowa kotwa rozprężna Hilti HST4-R, HST4 z zestawem wypełniającym oraz odpowiednio ze standardową nakrętką sześciokątną lub z opcjonalną nakrętką kołpakową



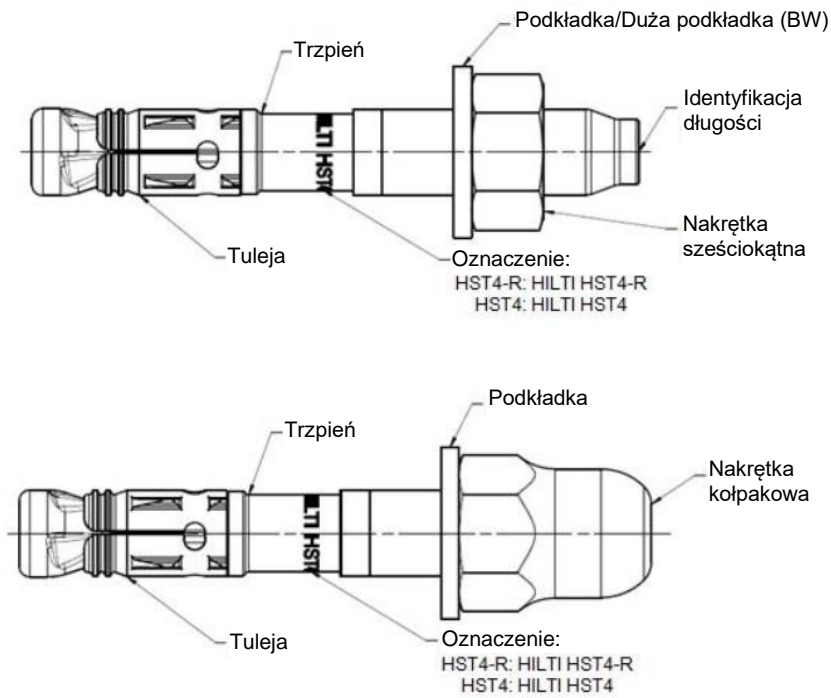
Hilti HST4-R, HST4

Opis wyrobu
Warunki montażu

Załącznik A2

Tłumaczenie z języka angielskiego na język polski wykonano na zlecenie Hilti

Opis wyrobu: Metalowa kotwa rozprężna Hilti HST4-R, HST4



Hilti HST4-R, HST4

Opis wyrobu
Typy kotew, oznaczenia i identyfikacja

Załącznik A3

Tłumaczenie z języka angielskiego na język polski wykonano na zlecenie Hilti

Tabela A1: Oznaczenie długości HST4-R, HST4

Litera		A	B	C	D	E	F	G
Długość kotwy	≥ [mm]	38,1	50,8	63,5	76,2	88,9	101,6	114,3
	< [mm]	50,8	63,5	76,2	88,9	101,6	114,3	127,0

Litera		H	I	J	K	L	M	N
Długość kotwy	≥ [mm]	127,0	139,7	152,4	165,1	177,8	190,5	203,2
	< [mm]	139,7	152,4	165,1	177,8	190,5	203,2	215,9

Litera		O	P	Q	R	S	T	U
Długość kotwy	≥ [mm]	215,9	228,6	241,3	254,0	279,4	304,8	330,2
	< [mm]	228,6	241,3	254,0	279,4	304,8	330,2	355,6

Litera		V	W	X	Y	Z	AA	BB
Długość kotwy	≥ [mm]	355,6	381,0	406,4	431,8	457,2	482,6	508,0
	< [mm]	381,0	406,4	431,8	457,2	482,6	508,0	533,4

Litera		CC	DD	EE
Długość kotwy	≥ [mm]	533,4	558,8	584,2
	< [mm]	558,8	584,2	609,6

Hilti HST4-R, HST4

Opis wyrobu
 Identyfikacja długości

Załącznik A4

Tłumaczenie z języka angielskiego na język polski wykonano na zlecenie Hilti

Tabela A2: Materiały, Hilti HST4-R, HST4

Oznaczenie	Materiał
HST4-R (stal nierdzewna)	
Klasa odporności na korozję III zgodnie z EN 1993-1-4:2006+A1:2015	
Tuleja rozprężna	Stal nierdzewna A4 zgodnie z EN 10088-1:2014
Trzpień	Stal nierdzewna A4 zgodnie z EN 10088-1:2014 Wydłużenie przy zerwaniu ($l_0 = 5d$) > 8%
Podkładka	Stal nierdzewna A4 zgodnie z EN 10088-1:2014
Nakrętka sześciokątna Nakrętka kołpakowa	Stal nierdzewna A4 zgodnie z EN 10088-1:2014
HST4 (stal węglowa)	
Tuleja rozprężna	M8-M20: stal węglowa, ocynkowana, $\geq 5 \mu\text{m}$ lub stal nierdzewna zgodnie z EN 10088-1:2014
Trzpień	Stal węglowa, ocynkowana, $\geq 5 \mu\text{m}$, stożek powlekany (powłoka przezroczysta), Wydłużenie przy zerwaniu ($l_0 = 5d$) > 8%
Podkładka	Stal węglowa, ocynkowana, $\geq 5 \mu\text{m}$
Nakrętka sześciokątna Nakrętka kołpakowa	Stal węglowa, ocynkowana, $\geq 5 \mu\text{m}$
Zestaw wypełniający	
HST4-R	
Klasa odporności na korozję III zgodnie z EN 1993-1-4:2006+A1:2015	
Podkładka iniekcyjna	Stal nierdzewna A4 zgodnie z EN 10088-1:2014
Podkładka sferyczna	Stal nierdzewna A4 zgodnie z EN 10088-1:2014
HST4 (stal węglowa)	
Podkładka iniekcyjna	Stal węglowa, ocynkowana
Podkładka sferyczna	Stal węglowa, ocynkowana
Zaprawa	
HST4-R, HST4	
Żywica iniekcyjna	Żywica iniekcyjna Hilti HIT-HY...

Hilti HST4-R, HST4

Opis wyrobu
Materiały

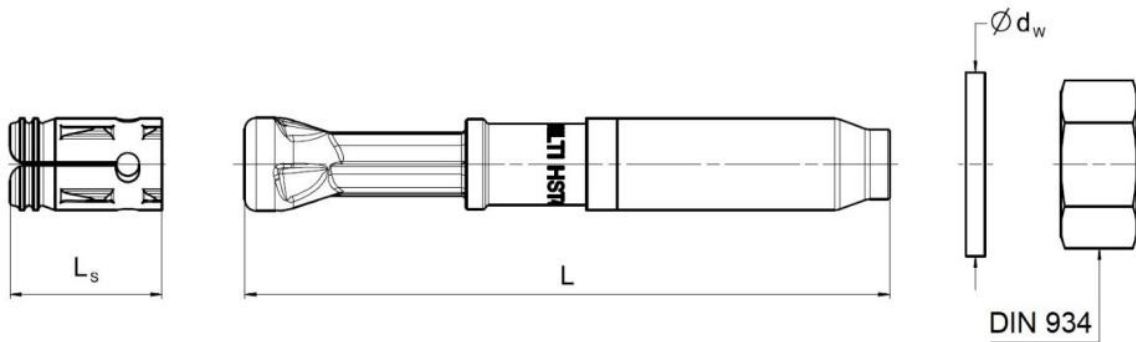
Załącznik A5

Tłumaczenie z języka angielskiego na język polski wykonano na zlecenie Hilti

Tabela A3: Wymiary łącznika HST4-R, HST4

HST4-R, HST4			M8	M10	M12	M16	M20
Długość tulei rozprężnej	L_s	[mm]	15,0	18,0	20,0	26,0	28,3
Długość trzpienia	L	[mm]	50-115	60-180	75-260	115-260	170-260
Średnica zewnętrzna podkładki	$d_w \geq$	[mm]	16	20	24	30	37
Średnica zewnętrzna dużej podkładki (BW)	$d_w \geq$	[mm]	24	30	37	50	-

HST4-R, HST4



Hilti HST4-R, HST4

Opis wyrobu
 Wymiary

Załącznik A6

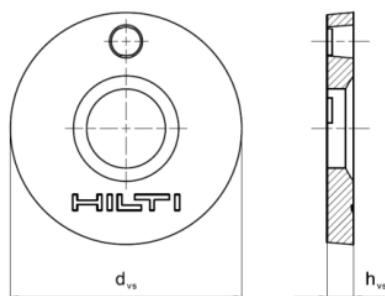
Tłumaczenie z języka angielskiego na język polski wykonano na zlecenie Hilti

Zestaw wypełniający do wypełniania przestrzeni pierścieniowej pomiędzy kotwą a elementem mocowanym

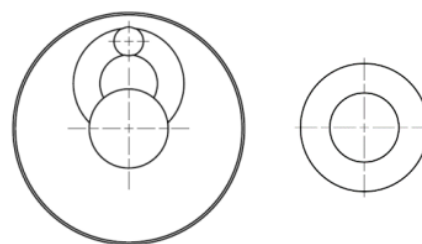
Tabela A4: Wymiary zestawu wypełniającego do stosowania z HST4-R, HST4

Zestaw wypełniający stosowany do HST4-R, HST4		M8	M10	M12	M16	M20
Średnica podkładki iniekcyjnej	d_{vs} [mm]	38	42	44	52	60
Grubość podkładki iniekcyjnej	h_{vs} [mm]	5			6	
Grubość zestawu wypełniającego Hilti	h_{fs} [mm]	8	9	10	11	13

Podkładka iniekcyjna



Podkładka sferyczna



Zestaw wypełniający

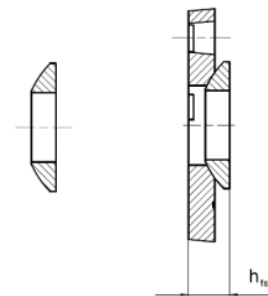
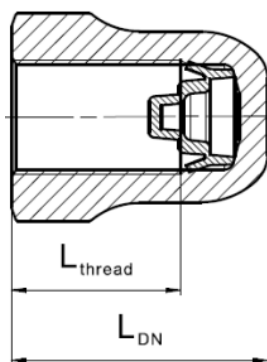


Tabela A5: Wymiary nakrętki kołpakowej

Nakrętka kołpakowa do stosowania z HST4-R, HST4		M8	M10	M12	M16
Długość gwintu	$L_{thread} \geq$ [mm]	13,3	16,8	17,8	22,3
Długość nakrętki	$L_{DN} \geq$ [mm]	18,1	21,9	24,0	29,5

Nakrętka kołpakowa



Hilti HST4-R, HST4

Opis wyrobu
Wymiary

Załącznik A7

Tłumaczenie z języka angielskiego na język polski wykonano na zlecenie Hilti

Szczegóły techniczne zamierzonego stosowania

Zakotwienia mogą być poddawane:

- Obciążeniom statycznym i quasi-statycznym: wszystkie rozmiary.
- Oddziaływaniom sejsmicznym kategorii C1 i C2: wszystkie rozmiary.
- Narażeniu na działanie ognia: wszystkie rozmiary.

Materiały podłoża:

- Zbrojony lub niezbrojony beton zwykły zgodnie z normą EN 206:2013+A1:2016.
- Klasy wytrzymałości od C20/25 do C50/60 zgodnie z normą EN 206:2013+A1:2016.
- Beton zarysowany i niezarysowany.
- Łącznik jest przeznaczony do stosowania w betonie zbrojonym włóknami zgodnie z normą EN 206:2013+A2:2021, w tym włóknami stalowymi zgodnie z normą EN 14889-1:2006, rozdział 1, grupa I. Maksymalna zawartość włókien stalowych wynosi 80 kg/m³.

Warunki użycia (warunki środowiskowe):

- Kotwy HST4-R wykonane ze stali nierdzewnej:
Konstrukcje poddawane oddziaływaniu warunków zewnętrznych/wewnętrznych - patrz EAD.
- Kotwy HST4 wykonane ze stali ocynkowanej:
Konstrukcje pracujące w suchych warunkach wewnętrznych.

Projektowanie:

- Zakotwienia powinny być zaprojektowane pod nadzorem inżyniera doświadczonego w dziedzinie zakotwień i robót betonowych.
- Należy sporządzić możliwe do weryfikacji obliczenia oraz dokumentację rysunkową z uwzględnieniem obciążeń, jakie mają być przeniesione przez kotwy. Położenie kotew musi być określone na rysunkach projektowych (np. poprzez podanie położenia kotwy względem zbrojenia lub względem podpór, itd.).
- Zakotwienia poddawane obciążeniom statycznym lub quasi-statycznym powinny być projektowane zgodnie z normą EN 1992-4:2018.
- Zakotwienia poddawane oddziaływaniom sejsmicznym (beton zarysowany) powinny być zaprojektowane zgodnie z normą EN 1992-4:2018.
- Zakotwienia należy umieścić poza strefami krytycznymi (np. plastycznych przegubów) konstrukcji betonowej. Zamocowania przewidziane do montażu dystansowego lub na warstwie podlewki poddane oddziaływaniom sejsmicznym nie są objęte niniejszą Europejską Oceną Techniczną (ETA).
- W przypadku wymagań w zakresie nośności ogniowej należy unikać występowania lokalnego odspojenia się otuliny betonowej.
- Dla efektywnej głębokości osadzenia $h_{ef} < 40$ mm tylko mocowania statycznie niewyznaczalne (np. lekkie sufity podwieszane) i narażenie w suchych warunkach wewnętrznych są objęte ETA. Mocowania te zostały zaprojektowane zgodnie z normą EN 1992-4:2018, rozdział 7 i Załącznik G.

Montaż:

- Montaż kotew powinien być wykonywany przez wykwalifikowany personel pod nadzorem osoby odpowiedzialnej za kwestie techniczne na terenie budowy.
- Kotwa może być osadzona tylko raz.
- Technika wiercenia otworu: patrz Tabela B1 i Tabela B2.
- Otwory należy oczyścić ze zwiercin powstałych podczas wiercenia.
- W przypadku niewykorzystanych otworów, nowe otwory należy wykonać w odległości równej przynajmniej dwukrotnej głębokości niewykorzystanego otworu lub w mniejszej odległości pod warunkiem, że niewykorzystany otwór został wypełniony zaprawą o wysokiej wytrzymałości oraz nie występują obciążenia ścinające lub ukośne rozciągające działające w kierunku niewykorzystanego otworu.

Hilti HST4-R, HST4

Zamierzone stosowanie
Szczegóły techniczne

Załącznik B1

Tłumaczenie z języka angielskiego na język polski wykonano na zlecenie Hilti




Tabela B1: Szczegóły techniczne zamierzonego stosowania

Zakotwienia poddawane:	M8	M10	M12	M16	M20
Obciążeniom statycznym i quasi-statycznym w betonie zwykłym zarysowanym i niezarysowanym bez włókien lub w SFRC - wiercenie udarowe ¹⁾ oraz wiercenie diamentowe rdzeniowe ²⁾	✓ ¹⁾	✓	✓	✓	✓
Oddziaływaniom sejsmicznym kategorii C1 w betonie zwykłym bez włókien lub w SFRC - wiercenie udarowe ¹⁾ oraz wiercenie diamentowe rdzeniowe ²⁾	✓ ¹⁾	✓	✓	✓	✓
Oddziaływaniom sejsmicznym kategorii C2 w betonie zwykłym bez włókien - wiercenie udarowe ¹⁾ oraz wiercenie diamentowe rdzeniowe ²⁾	✓ ¹⁾	✓	✓	✓	✓
Narażeniu na działanie ognia w betonie zwykłym bez włókien lub w SFRC - wiercenie udarowe ¹⁾ oraz wiercenie diamentowe rdzeniowe ²⁾	✓ ¹⁾	✓	✓	✓	✓

¹⁾ Wiercenie udarowe wiertłem rurowym Hilti (HDB) nie ma zastosowania dla rozmiaru M8




²⁾ Wiercenie diamentowe rdzeniowe jest objęte niniejszą ETA tylko dla HST4-R

Tabela B2: Technika wiercenia otworów

Zakotwienia poddawane:	M8	M10	M12	M16	M20
Wiercenie udarowe (HD) 	✓	✓	✓	✓	✓
Wiercenie udarowe wiertłem rurowym (HDB) 	-	✓	✓	✓	✓
Wiercenie diamentowe (rdzeniowe) (DD): • wiertnicą DD EC-1 oraz wiertłami koronowymi TS lub TL • wiertnicą DD 30-W oraz wiertłami koronowymi abrazyjnymi SPX-T lub SPX-T  • wiertnicą DD 150-U oraz wiertłami koronowymi abrazyjnymi SPX-L, SPX-L lub wiertłami koronowymi SPX-L do wiercenia "z ręki"	✓ ¹⁾	✓ ¹⁾	✓ ¹⁾	✓ ¹⁾	✓ ¹⁾

¹⁾ Wiercenie diamentowe rdzeniowe jest objęte niniejszą ETA tylko dla HST4-R

Tabela B3: Czyszczenie wywierconych otworów

Czyszczenie ręczne (MC): Pompka ręczna Hilti do przedmuchiwania wierconych otworów	
Czyszczenie sprężonym powietrzem (CAC): Dysza powietrzna z otworem wylotowym o średnicy 3,5 mm	
Czyszczenie automatyczne (AC): Czyszczenie przeprowadza się podczas wiercenia przy użyciu systemu Hilti TE-CD oraz TE-YD podłączonego do odkurzacza	
Bez czyszczenia - trzykrotne przewentylowanie otworu	-



Hilti HST4-R, HST4

Zamierzone stosowanie
 Szczegóły techniczne

Załącznik B2

Tłumaczenie z języka angielskiego na język polski wykonano na zlecenie Hilti

Tabela B4: Metody stosowania momentu dokręcającego

	HST4-R, HST4
Klucz dynamometryczny 	od M8 do M20
Dokręcanie maszynowe zakrętką z udarem stycznym Hilti SIW i modulem dynamometrycznym (adapterem) SI-AT ¹⁾ 	od M8 do M20

¹⁾ Można zastosować kombinację urządzenia Hilti SIW + SI-AT, kompatybilną z tym typem kotwy

Tabela B5: Parametry montażowe kotwy HST4-R, HST4

HST4-R, HST4			M8	M10	M12	M16	M20
Średnica nominalna wiertła	d_0	[mm]	8	10	12	16	20
Maks. średnica tnąca wiertła	d_{cut}	[mm]	8,45	10,45	12,50	16,50	20,55
Maks. średnica otworu przelotowego w elemencie mocowanym ¹⁾	d_f	[mm]	9	12	14	18	22
Efektywna głębokość zakotwienia	h_{ef}	[mm]	30 - 90	30 - 100	40 - 125	65 - 160	101 - 180
Nominalna głębokość osadzenia	h_{nom}	[mm]	$h_{ef} + 6$	$h_{ef} + 8$	$h_{ef} + 9$	$h_{ef} + 12$	$h_{ef} + 15$
Min. głębokość wierconego otworu (wiercenie udarowe, bez czyszczenia otworu)	$h_1 \geq$	[mm]	$h_{ef} + 26$	$h_{ef} + 28$	$h_{ef} + 29$	$h_{ef} + 32$	$h_{ef} + 35$
Min. głębokość wierconego otworu (wiercenie udarowe, z czyszczeniem otworu)	$h_1 \geq$	[mm]	$h_{ef} + 9$	$h_{ef} + 12$	$h_{ef} + 13$	$h_{ef} + 18$	$h_{ef} + 23$
Min. głębokość wierconego otworu (otwory wiercone przy użyciu wiertel rurowych)	$h_1 \geq$	[mm]	-	$h_{ef} + 12$	$h_{ef} + 13$	$h_{ef} + 18$	$h_{ef} + 23$
Min. głębokość wierconego otworu (otwory wiercone techniką diamentową rdzeniową)	$h_1 \geq$	[mm]	$h_{ef} + 16$	$h_{ef} + 18$	$h_{ef} + 19$	$h_{ef} + 22$	$h_{ef} + 25$
Min. grubość elementu betonowego ²⁾	$h_{min} \geq$	[mm]	maks. (80; $1,5 \cdot h_{ef}$)	maks. (80; $1,5 \cdot h_{ef}$)	maks. (100; $1,5 \cdot h_{ef}$)	maks. (120; $1,5 \cdot h_{ef}$)	$160 + h_{ef} - h_{ef,min}$
Minimalna grubość betonu pod wierconym otworem ²⁾	$h_b \geq$	[mm]	21	27	32	34	36
Rozwartość klucza	SW	[mm]	13	17	19	24	30
Montażowy moment dokręcający	T_{inst}	[Nm]	20	40	60	120	180

¹⁾ W celu zaprojektowania większych otworów przelotowych w elemencie mocowanym - patrz norma EN 1992-4:2018.

²⁾ Z uwzględnieniem minimalnej grubości betonu pod wierconym otworem: $h_{min} \geq h_1 + h_b$

Hilti HST4-R, HST4

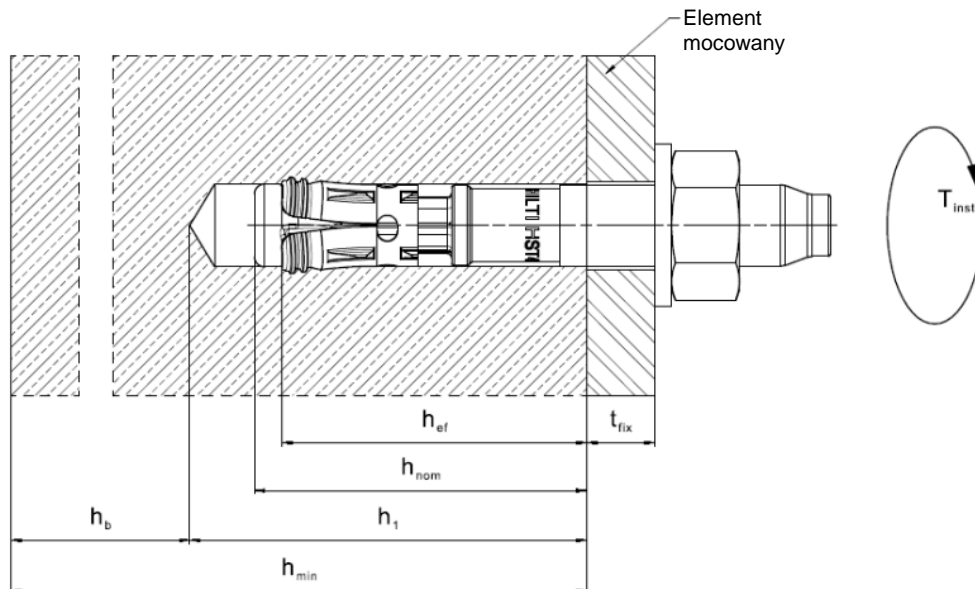
Zamierzone stosowanie
Parametry montażowe

Załącznik B3

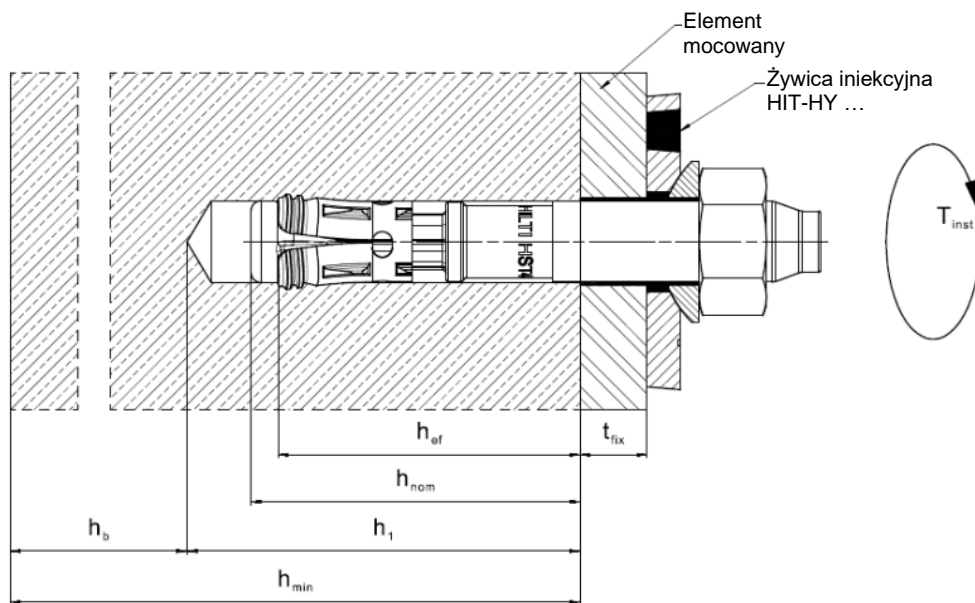
Tłumaczenie z języka angielskiego na język polski wykonano na zlecenie Hilti

Położenie kotew HST4-R, HST4 po osadzeniu

Kotwa HST4-R, HST4 bez zestawu wypełniającego przeznaczonych do wypełniania przestrzeni pierścieniowej między kotwą a elementem mocowanym



Kotwa HST4-R, HST4 z zestawem wypełniającym przeznaczonych do wypełniania przestrzeni pierścieniowej między kotwą a elementem mocowanym



Hilti HST4-R, HST4

Opis wyrobu
Parametry montażowe

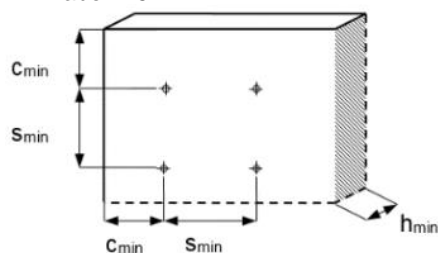
Załącznik B4

Tłumaczenie z języka angielskiego na język polski wykonano na zlecenie Hilti

Tabela B6: Minimalny rozstaw kotew oraz odległość od krawędzi podłoża dla HST4-R, HST4

		M8	M10	M12	M16	M20
HST4-R						
Min. grubość elementu betonowego ¹⁾	$h_{min} \geq$ [mm]	maks. (80; 1,5 h_{ef})	maks. (80; 1,5 h_{ef})	maks. (100; 1,5 h_{ef})	maks. (120; 1,5 h_{ef})	$160 + h_{ef} - h_{ef,min}$
Minimalny rozstaw	S_{min} [mm]	35	40	50	65	90
Minimalna odległość od krawędzi	C_{min} [mm]	40	45	55	65	80
Beton niezarysowany						
Efektywna głębokość osadzenia	h_{ef} [mm]	30 - 90	30 - 100	40 - 125	65 - 160	101 - 180
Wymagana powierzchnia na rozłupanie	$A_{sp,req}$ [mm ²]	18910	27082	41557	48281	79800
Beton zarysowany						
Efektywna głębokość osadzenia	h_{ef} [mm]	30 - 90	30 - 100	40 - 125	65 - 160	101 - 180
Wymagana powierzchnia na rozłupanie	$A_{sp,req}$ [mm ²]	13667	22279	32228	42474	61000
HST4						
Minimalna grubość elementu betonowego ¹⁾	$h_{min} \geq$ [mm]	maks. (80; 1,5 h_{ef})	maks. (80; 1,5 h_{ef})	maks. (100; 1,5 h_{ef})	maks. (120; 1,5 h_{ef})	$160 + h_{ef} - h_{ef,min}$
Minimalny rozstaw	S_{min} [mm]	35	40	50	65	90
Minimalna odległość od krawędzi	C_{min} [mm]	40	45	55	65	80
Beton niezarysowany						
Efektywna głębokość osadzenia	h_{ef} [mm]	30 - 90	30 - 100	40 - 125	65 - 160	101 - 180
Wymagana powierzchnia na rozłupanie	$A_{sp,req}$ [mm ²]	18910	27082	41557	57997	79800
Beton zarysowany						
Efektywna głębokość osadzenia	h_{ef} [mm]	30 - 90	30 - 100	40 - 125	65 - 160	101 - 180
Wymagana powierzchnia na rozłupanie	$A_{sp,req}$ [mm ²]	13667	22279	32228	44350	61000

¹⁾ Z uwzględnieniem minimalnej grubości betonu pod wierconym otworem: $h_{min} \geq h_1 + h_b$, jak podano w Tabeli B5



Do wykonania obliczeń minimalnej odległości od krawędzi podłoża oraz rozstawu kotew w połączeniu ze zmiennymi głębokościami osadzenia i grubością płyty konieczne jest spełnienie następującego równania:

$$A_{sp,ef} \geq A_{sp,req}$$

Gdzie:

$A_{sp,ef}$: Powierzchnia czynna na rozłupanie zgodnie z Tabelą B7

$A_{sp,req}$: Minimalna wymagana powierzchnia na rozłupanie zgodnie z Tabelą B6

Hilti HST4-R, HST4

Zamierzone stosowanie

Minimalny rozstaw kotew oraz minimalna odległość od krawędzi podłoża

Załącznik B5

Tłumaczenie z języka angielskiego na język polski wykonano na zlecenie Hilti

Tabela B7: Powierzchnia czynna na rozłupanie dla kotew HST4-R, HST4

Powierzchnia czynna na rozłupanie $A_{sp,ef}$ dla grubości elementu betonowego $h > h_{ef} + 1,5 \cdot c$ oraz $h \geq h_{min}$			
Kotwy i grupy kotew przy ¹⁾	$s > 3 \cdot c$ $h_{ef} < 1,5 \cdot c$	$A_{sp,ef} = (6 \cdot c) \cdot (h_{ef} + 1,5 \cdot c)$	[mm ²] Dla $c \geq c_{min}$
Grupy kotew przy ¹⁾	$s \leq 3 \cdot c$ $h_{ef} < 1,5 \cdot c$	$A_{sp,ef} = (3 \cdot c + s) \cdot (h_{ef} + 1,5 \cdot c)$	[mm ²] Dla $c \geq c_{min}$ $s \geq s_{min}$
Kotwy i grupy kotew przy ¹⁾	$s > 3 \cdot c$ $h_{ef} \geq 1,5 \cdot c$	$A_{sp,ef} = (6 \cdot c) \cdot (3 \cdot c)$	[mm ²] Dla $c \geq c_{min}$
Grupy kotew przy ¹⁾	$s \leq 3 \cdot c$ $h_{ef} \geq 1,5 \cdot c$	$A_{sp,ef} = (3 \cdot c + s) \cdot (3 \cdot c)$	[mm ²] Dla $c \geq c_{min}$ $s \geq s_{min}$
Powierzchnia czynna na rozłupanie $A_{sp,ef}$ dla grubości elementu betonowego $h \leq h_{ef} + 1,5 \cdot c$ oraz $h \geq h_{min}$			
Kotwy i grupy kotew przy ¹⁾	$s > 3 \cdot c$ $h_{ef} < 1,5 \cdot c$	$A_{sp,ef} = (6 \cdot c) \cdot h$	[mm ²] Dla $c \geq c_{min}$
Grupy kotew przy ¹⁾	$s \leq 3 \cdot c$ $h_{ef} < 1,5 \cdot c$	$A_{sp,ef} = (3 \cdot c + s) \cdot h$	[mm ²] Dla $c \geq c_{min}$ $s \geq s_{min}$
Kotwy i grupy kotew przy ¹⁾	$s > 3 \cdot c$ $h_{ef} \geq 1,5 \cdot c$	$A_{sp,ef} = (6 \cdot c) \cdot (h - h_{ef} + 1,5 \cdot c)$	[mm ²] Dla $c \geq c_{min}$
Grupy kotew przy ¹⁾	$s \leq 3 \cdot c$ $h_{ef} \geq 1,5 \cdot c$	$A_{sp,ef} = (3 \cdot c + s) \cdot (h - h_{ef} + 1,5 \cdot c)$	[mm ²] Dla $c \geq c_{min}$ $s \geq s_{min}$

¹⁾ Odległość od krawędzi podłoża oraz rozstaw kotew muszą być zaokrąglone w górę z dokładnością do 5 mm.

Hilti HST4-R, HST4

Zamierzone stosowanie

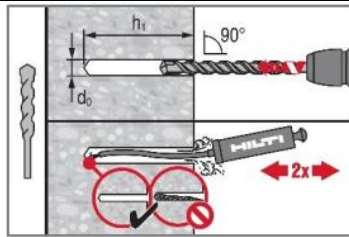
Minimalny rozstaw kotew oraz minimalna odległość od krawędzi podłoża

Załącznik B6

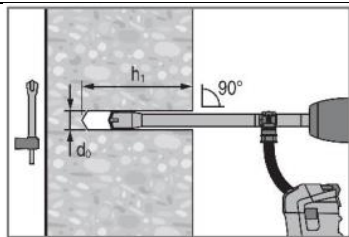
Tłumaczenie z języka angielskiego na język polski wykonano na zlecenie Hilti

Instrukcja montażu kotew

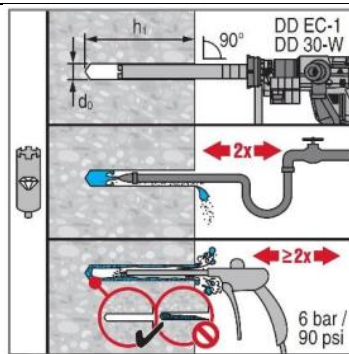
Wiercenie i czyszczenie otworu



a) Wiercenie udarowe (HD):
od M8 do M20

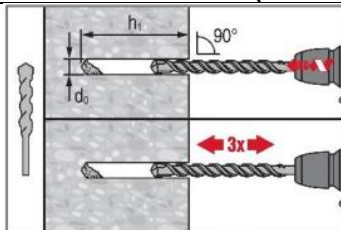


b) Wiercenie udarowe wiertłem rurowym (HDB):
od M10 do M20



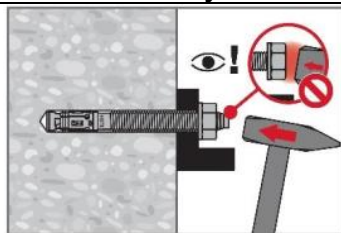
c) Wiercenie diamentowe rdzeniowe (DD):
od M8 do M20

Wiercenie otworów (bez czyszczenia)



Wiercenie udarowe bez czyszczenia otworów (HD NC):
od M8 do M20

Osadzanie kotwy



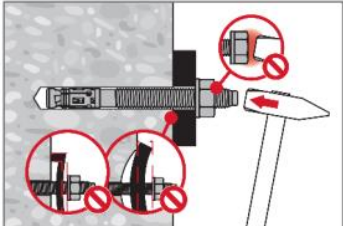
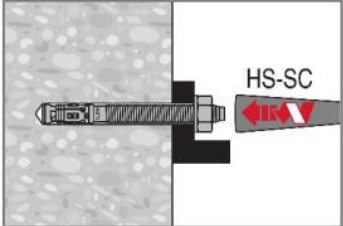
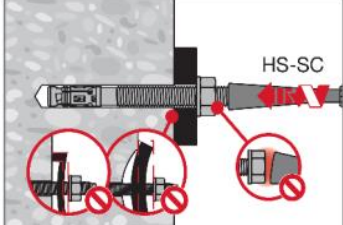
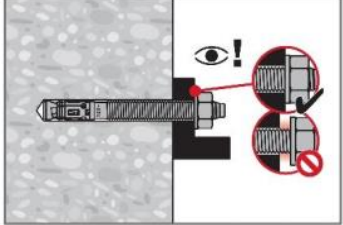
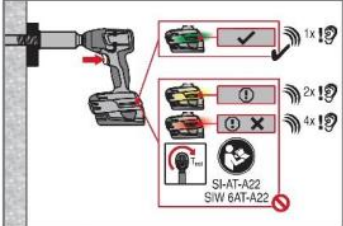
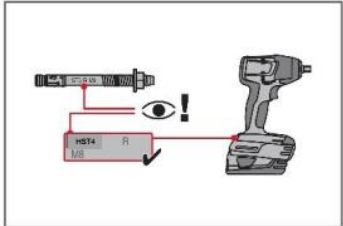
a) Osadzanie przy użyciu młotka

Hilti HST4-R, HST4

Zamierzone stosowanie
Instrukcja montażu

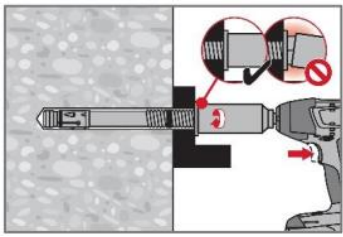
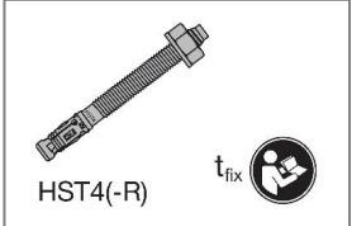

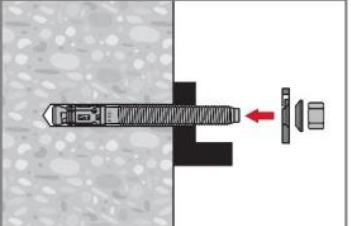
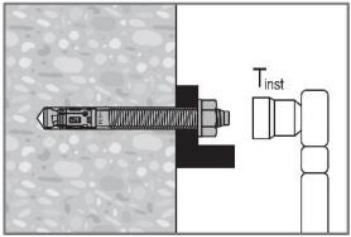
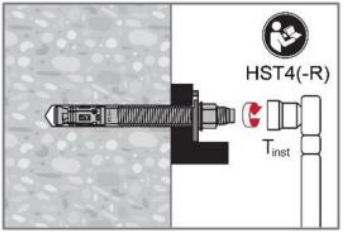
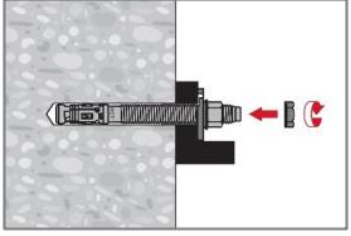
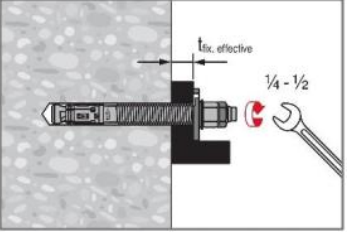

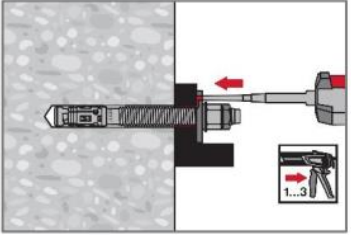
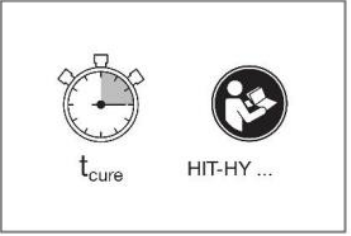
Załącznik B7

Tłumaczenie z języka angielskiego na język polski wykonano na zlecenie Hilti

<p>Osadzanie kotwy (ciąg dalszy)</p> 											
<p>Osadzanie kotwy</p> 	<p>b) Osadzanie maszynowe (urządzenie do osadzania):</p>										
											
<p>Dokręcanie kotwy</p> 	<p>a) Klucz dynamometryczny: od M8 do M20</p>										
 <table border="1" data-bbox="367 1321 550 1523"> <tr> <td>1x!</td> <td>!</td> </tr> <tr> <td>2x!</td> <td>!</td> </tr> <tr> <td>4x!</td> <td>!</td> </tr> <tr> <td>SI-AT-A22</td> <td>!</td> </tr> <tr> <td>SIW 6AT-A22</td> <td>!</td> </tr> </table>	1x!	!	2x!	!	4x!	!	SI-AT-A22	!	SIW 6AT-A22	!	<p>b) Dokręcanie dedykowanym urządzeniem: od M8 do M20</p>
1x!	!										
2x!	!										
4x!	!										
SI-AT-A22	!										
SIW 6AT-A22	!										
	<p>Wybór kotwy</p>										
<p>Hilti HST4-R, HST4</p>											
<p>Zamierzone stosowanie Instrukcja montażu</p>	<p>Załącznik B8</p>										

Tłumaczenie z języka angielskiego na język polski wykonano na zlecenie Hilti (Poland) Sp. z o.o. Wersja uwierzytelniona tłumaczenia dostępna na życzenie

Tłumaczenie z języka angielskiego na język polski wykonano na zlecenie Hilti

		<p>Pozycjonowanie gniazda i dokręcanie</p>
<p>Montaż z użyciem zestawu wypełniającego Montaż podkładki uszczelniającej (zestawu wypełniającego)</p>		
		
<p>Dokręcanie kotwy</p>		
		<p>Klucz dynamometryczny: od M8 do M20</p>
<p>Montaż nakrętki kontrolującej (opcja)</p>		
		
<p>Iniekcja żywicy</p>		
		
<p>Hilti HST4-R, HST4</p>		<p>Załącznik B8</p>
<p>Zamierzone stosowanie Instrukcja montażu</p>		

Tłumaczenie z języka angielskiego na język polski wykonano na zlecenie Hilti (Poland) Sp. z o.o. Wersja uwierzytelniona tłumaczenia dostępna na życzenie

Tłumaczenie z języka angielskiego na język polski wykonano na zlecenie Hilti

Tabela C1: Wartości charakterystyczne nośności pod wpływem obciążenia rozciągającego w przypadku obciążeń statycznych oraz quasi- statycznych kotew w betonie zarysowanym

Rozmiar			M8	M10	M12	M16	M20
Efektywna głębokość zakotwienia	h_{ef}	[mm]	30-90	30-100	40-125	65-160	101-180
Zniszczenie stali							
HST4-R							
Częściowy współczynnik bezpieczeństwa	$\gamma_{Ms,N}^{1)}$	[-]	1,40				
Nośność charakterystyczna	$N_{Rk,s}$	[kN]	22,0	32,5	48,0	75,0	115,8
HST4							
Częściowy współczynnik bezpieczeństwa	$\gamma_{Ms,N}^{1)}$	[-]	1,40				
Nośność charakterystyczna	$N_{Rk,s}$	[kN]	21,0	32,5	46,0	75,0	117,5
Zniszczenie przez wyciągnięcie kotwy							
Nośność charakterystyczna w betonie C20/25							
HST4-R							
Montażowy współczynnik bezpieczeństwa	γ_{inst}	[-]	1,00				
Beton niezarysowany	$N_{Rk,p,uncr}$	[kN]	19,0	32,0	46,0	60,0	49,9
Beton zarysowany	$N_{Rk,p,cr}$	[kN]	10,0	20,0	28,0	38,0	35,0
HST4							
Montażowy współczynnik bezpieczeństwa	γ_{inst}	[-]	1,00				
Beton niezarysowany	$N_{Rk,p,uncr}$	[kN]	19,0	30,0	42,0	55,0	49,9
Beton zarysowany	$N_{Rk,p,cr}$	[kN]	10,0	19,0	28,0	38,0	35,0
HST4-R, HST4							
Współczynnik zwiększający dla $N_{Rk,p}$ dla betonu zarysowanego	C30/37	[-]	1,22				
	C40/50	[-]	1,41				
i niezarysowanego	C50/60	[-]	1,58				
$\psi_c = (f_{ck}/20)^{0,5}$							

¹⁾ W przypadku braku innych przepisów krajowych

Hilti HST4-R, HST4

Właściwości użytkowe

Nośność charakterystyczna pod wpływem obciążenia rozciągającego

Załącznik C1

Tłumaczenie z języka angielskiego na język polski wykonano na zlecenie Hilti

Tabela C1: ciąg dalszy

Rozmiar		M8	M10	M12	M16	M20	
Efektywna głębokość zakotwienia	h_{ef} [mm]	30-90	30-100	40-125	65-160	101-180	
Zniszczenie przez wyłamanie stożka betonu i rozłupanie podłoża							
HST4-R							
Montażowy współczynnik bezpieczeństwa	γ_{inst} [-]	1,0					
Współczynnik	$k_1=K_{ucr,N}$ [-]	11,0	12,7	12,7	12,7	11,0	
	$k_1=K_{cr,N}$ [-]	7,7	8,9	8,9	8,9	7,7	
HST4							
Montażowy współczynnik bezpieczeństwa	γ_{inst} [-]	1,0					
Współczynnik	$k_1=K_{ucr,N}$ [-]	11,0	11,8	12,7	12,7	11,0	
	$k_1=K_{cr,N}$ [-]	7,7	8,9	8,9	8,9	7,7	
HST4-R, HST4							
Rozstaw	$S_{cr,N}$ [mm]	$3 \cdot h_{ef}$					
Odległość od krawędzi	$C_{cr,N}$ [mm]	$1,5 \cdot h_{ef}$					
Nośność charakterystyczna ze wzgl. na rozłupanie ²⁾	$N^{0}_{Rk,sp}$ [kN]	Min ($N_{Rk,sp}$; $N^{0}_{Rk,c}$) ²⁾					
Powierzchnia na rozłupanie wymagana do określenia $C_{cr,sp}$ ³⁾	A_{rqd} [mm ²]	$(N^{0}_{Rk,sp,C20} - b) / a$ ³⁾					1)
HST4-R, HST4							
Współczynnik obliczeniowy dla A_{rqd}	b [-]	-4,7072	-8,7141	-11,678	3,7791	1)	
Współczynnik obliczeniowy dla A_{rqd}	a [-]	0,00099	0,00109	0,00109	0,0006	1)	
HST4-R, HST4							
Rozstaw kotew (rozłupanie)	$S_{cr,sp}$ [mm]	$2 \cdot C_{cr,sp}$					
Odległość od krawędzi podłoża (rozłupanie) ⁴⁾	$C_{cr,sp}$ [mm]	Min $[(A_{rqd} + 0,8 \cdot (h_{min} - h_{ef})^2) / (3,41 \cdot h_{min} - 0,59 \cdot h_{ef}); A_{rqd} / (h_{min} \cdot 8^{0,5})] \geq (1,5 \cdot h_{ef})$ ⁵⁾					$1,9 \cdot h_{ef}$

1) Nie oceniano właściwości użytkowych

2) $N^{0}_{Rk,c}$ zgodnie z EN 1992-4:2018

3) $N^{0}_{Rk,sp,C20}$ w kN oraz obliczone dla betonu niezryowanego C20/25

4) h_{min} = minimalna grubość elementu związana z głębokością osadzenia h_{ef} z uwzględnieniem $h_{min} \leq 4 \cdot h_{ef}$

5) $C_{cr,sp} \geq (1,5 \cdot h_{ef})$, jeśli zniszczenie przez wyłamanie stożka betonu jest decydujące podczas obliczeń $N^{0}_{Rk,sp}$

Hilti HST4-R, HST4

Właściwości użytkowe

Nośność charakterystyczna pod wpływem obciążenia rozciągającego

Załącznik C2

Tłumaczenie z języka angielskiego na język polski wykonano na zlecenie Hilti

**Tabela C2: Wartości charakterystyczne nośności pod wpływem obciążenia ścinającego w przypadku obciążeń statycznych oraz quasi-
statycznych**

Rozmiar		M8	M10	M12	M16	M20			
Zniszczenie stali bez oddziaływania momentu zginającego									
Efektywna głębokość zakotwienia	h_{ef} [mm]	30-90	30-100	40-125	65-160	101-180			
Częściowy współczynnik bezpieczeństwa	$\gamma_{Ms,V}^{1)}$ [-]	1,25							
Współczynnik ciągliwości	k_7 [-]	1,00							
HST4-R									
Nośność charakterystyczna	$V_{Rk,s}^0$ [kN]	17,4	27,5	Min ($0,34 \cdot h_{ef} + 20,76$; 41,3)	72,4	97,2			
Nośność charakterystyczna przy użyciu zestawu wypełniającego	$V_{Rk,s}^0$ [kN]	17,4	27,5	Min ($0,34 \cdot h_{ef} + 20,76$; 41,3)	72,4	102,7			
HST4									
Nośność charakterystyczna	$V_{Rk,s}^0$ [kN]	16,3	24,8	Min ($0,166 \cdot h_{ef} + 27,49$; 37,4)	62,9	83,9			
Nośność charakterystyczna przy użyciu zestawu wypełniającego	$V_{Rk,s}^0$ [kN]	16,3	24,8	Min ($0,166 \cdot h_{ef} + 27,49$; 37,4)	62,9	100,4			
Zniszczenie stali z oddziaływaniem momentu zginającego									
HST4-R, HST4									
Efektywna głębokość zakotwienia	h_{ef} [mm]	30-90	30-100	40-125	65-160	101-180			
Częściowy współczynnik bezpieczeństwa	$\gamma_{Ms,V}^{1)}$ [-]	1,25							
Współczynnik ciągliwości	k_7 [-]	1,00							
HST4-R									
Nośność charakterystyczna	$M_{Rk,s}^0$ [Nm]	30	58	100	243	425			
HST4									
Nośność charakterystyczna	$M_{Rk,s}^0$ [Nm]	31	63	110	247	457			
Zniszczenie przez podważenie betonu									
HST4-R, HST4									
Efektywna głębokość zakotwienia	h_{ef} [mm]	30-39	40-90	30-39	40-100	40-49	50-125	65-160	101-180
Współczynnik dla podważenia	k_8 [-]	2,05	2,76	1,86	2,00	2,5	2,74	3,0	3,2
Montażowy współczynnik bezpieczeństwa	γ_{inst} [-]	1,00							
Zniszczenie krawędzi betonu									
Efektywna długość kotwy	$l_f = h_{ef}$ [mm]	30-90	30-100	40-125	65-160	101-180			
Średnica kotwy	d_{nom} [mm]	8	10	12	16	20			
Montażowy współczynnik bezpieczeństwa	γ_{inst} [-]	1,00							

¹⁾ W przypadku braku innych przepisów krajowych

Hilti HST4-R, HST4

Właściwości użytkowe

Nośność charakterystyczna pod wpływem obciążenia ścinającego

Załącznik C3

Tłumaczenie z języka angielskiego na język polski wykonano na zlecenie Hilti

Tabela C3: Przemieszczenia pod wpływem obciążenia rozciągającego w przypadku obciążeń statycznych oraz quasi-statycznych

Rozmiar			M8	M10	M12	M16	M20
Efektywna głębokość zakotwienia	h_{ef}	[mm]	30-90	30-100	40-125	65-160	101-180
HST4-R							
Obciążenie rozciągające w betonie niezarysowanym	N	[kN]	10,5	15,5	22,9	35,7	24,4
Odpowiadające przemieszczenie	δ_{N0}	[mm]	0,92	0,79	1,53	2,04	0,50
	$\delta_{N\infty}$	[mm]	0,92	0,79	1,53	2,04	0,90
Obciążenie rozciągające w betonie zarysowanym	N	[kN]	4,8	9,5	13,3	17,1	17,4
Odpowiadające przemieszczenie	δ_{N0}	[mm]	0,70	0,86	0,87	1,12	1,30
	$\delta_{N\infty}$	[mm]	1,78	1,54	1,62	1,29	1,80
HST4							
Obciążenie rozciągające w betonie niezarysowanym	N	[kN]	6,0	9,6	13,9	18,2	24,4
Odpowiadające przemieszczenie	δ_{N0}	[mm]	0,09	0,10	0,10	0,18	0,50
	$\delta_{N\infty}$	[mm]	1,50	1,50	1,50	1,50	0,90
Obciążenie rozciągające w betonie zarysowanym	N	[kN]	3,9	6,1	9,0	12,21	17,4
Odpowiadające przemieszczenie	δ_{N0}	[mm]	0,60	0,58	0,38	0,64	1,30
	$\delta_{N\infty}$	[mm]	1,84	1,70	2,00	1,95	1,80

Tabela C4: Przemieszczenia pod wpływem obciążenia ścinającego w przypadku obciążeń statycznych oraz quasi-statycznych

Rozmiar			M8	M10	M12	M16	M20
Efektywna głębokość zakotwienia	h_{ef}	[mm]	30-90	30-100	40-125	65-160	101-180
HST4-R							
Obciążenie ścinające w betonie zarysowanym i niezarysowanym	V	[kN]	8,9	14,1	21,1	36,9	55,6
Odpowiadające przemieszczenie	δ_{V0}	[mm]	6,7	4,0	4,5	3,2	3,2
	$\delta_{V\infty}$	[mm]	10,0	5,9	6,8	4,7	4,8
Obciążenie ścinające w betonie zarysowanym i niezarysowanym przy zastosowaniu zestawu wypełniającego	V	[kN]	8,9	14,1	21,1	36,9	58,7
Odpowiadające przemieszczenie	δ_{V0}	[mm]	6,7	4,0	4,5	3,2	4,9
	$\delta_{V\infty}$	[mm]	10,0	5,9	6,8	4,7	7,3

Hilti HST4-R, HST4

Właściwości użytkowe
Przemieszczenia

Załącznik C4

Tłumaczenie z języka angielskiego na język polski wykonano na zlecenie Hilti

Tabela C4: ciąg dalszy

Rozmiar			M8	M10	M12	M16	M20
Efektywna głębokość zakotwienia	h_{ef}	[mm]	30-90	30-100	40-125	65-160	101-180
HST4							
Obciążenie ścinające w betonie zarysowanym i niezarysowanym	V	[kN]	5,5	8,4	11,6	21,4	47,9
Odpowiadające przemieszczenie	δ_{v0}	[mm]	1,10	1,55	0,59	0,42	2,7
	$\delta_{v\infty}$	[mm]	2,34	3,89	1,70	0,98	4,1
Obciążenie ścinające w betonie zarysowanym i niezarysowanym przy zastosowaniu zestawu wypełniającego	V	[kN]	5,5	8,4	11,6	21,4	57,4
Odpowiadające przemieszczenie	δ_{v0}	[mm]	1,1	1,55	0,59	0,42	5,9
	$\delta_{v\infty}$	[mm]	2,34	3,89	1,7	0,98	8,8

Hilti HST4-R, HST4

Właściwości użytkowe
Przemieszczenia

Załącznik C5

Tłumaczenie z języka angielskiego na język polski wykonano na zlecenie Hilti

Tabela C5: Wartości charakterystyczne nośności pod wpływem obciążenia rozciągającego w przypadku kategorii sejsmicznej C1

Rozmiar		M8	M10	M12	M16	M20
Efektywna głębokość zakotwienia	h_{ef} [mm]	30-90	30-100	40-125	65-160	101-180
Zniszczenie stali						
Częściowy współczynnik bezpieczeństwa	$\gamma_{Ms,C1}^{1)}$ [-]	1,4				
HST4-R						
Nośność charakterystyczna	$N_{Rk,s,C1}$ [kN]	22,0	32,5	48,0	75,0	115,8
HST4						
Nośność charakterystyczna	$N_{Rk,s,C1}$ [kN]	21,0	32,5	46,0	75,0	124,2
Zniszczenie przez wyciągnięcie kotwy						
Montażowy współczynnik bezpieczeństwa	γ_{inst} [-]	1,0				
HST4-R						
Nośność charakterystyczna	$N_{Rk,p,C1}$ [kN]	Min (0,0321 · $h_{ef}^{1,5}; 9,3$)	Min (0,0378 $h_{ef}^{1,5}; 19,1$)	Min (0,0374 $h_{ef}^{1,5}; 24,4$)	Min (0,0390 · $h_{ef}^{1,5}; 37,1$)	35,0
HST4						
Nośność charakterystyczna	$N_{Rk,p,C1}$ [kN]	Min (0,0321 · $h_{ef}^{1,5}; 11,2$)	Min (0,0378 $h_{ef}^{1,5}; 18,1$)	Min (0,0374 $h_{ef}^{1,5}; 26,3$)	Min (0,0389 · $h_{ef}^{1,5}; 37,1$)	35,0
Zniszczenie przez wyłamanie stożka betonu ²⁾						
HST4-R, HST4						
Montażowy współczynnik bezpieczeństwa	γ_{inst} [-]	1,0				
Współczynnik	$k_1=k_{cr,N}$ [-]	7,7	8,9	8,9	8,9	7,7
Zniszczenie przez rozłupanie ²⁾						
Montażowy współczynnik bezpieczeństwa	γ_{inst} [-]	1,0				

¹⁾ W przypadku braku innych przepisów krajowych

²⁾ Zniszczenie przez wyłamanie stożka betonu i rozłupanie podłoża - patrz norma EN 1992-4:2018

Hilti HST4-R, HST4

Właściwości użytkowe

Nośność charakterystyczna pod wpływem oddziaływań sejsmicznych, kategoria sejsmiczna C1

Załącznik C6

Tłumaczenie z języka angielskiego na język polski wykonano na zlecenie Hilti

Tabela C6: Wartości charakterystyczne nośności pod wpływem obciążenia ścinającego w przypadku kategorii sejsmicznej C1

Rozmiar		M8	M10	M12	M16	M20
Zniszczenie stali						
Współczynnik zmniejszający zgodnie z normą EN 1992-4:2018 bez zestawu wypełniającego	α_{gap} [-]	0,5				
Współczynnik zmniejszający zgodnie z normą EN 1992-4:2018 przy użyciu zestawu wypełniającego	α_{gap} [-]	1,0				
Efektywna głębokość zakotwienia	h_{ef} [mm]	30-90	30-100	40-125	65-160	101-180
HST4-R						
Nośność charakterystyczna	$V_{Rk,s,C1}$ [kN]	Min (0,165· h_{ef} +8,26; 15,7)	Min (0,166· h_{ef} +13,3; 23,3)	Min (0,00063· h_{ef}^2 +0,3283· h_{ef} +17,72; 39,9)	Min (0,268· h_{ef} +38,0; 60,8)	56,7
Nośność charakterystyczna przy użyciu zestawu wypełniającego	$V_{Rk,s,C1}$ [kN]	Min (0,165· h_{ef} +8,26; 15,7)	Min (0,166· h_{ef} +13,3; 23,3)	Min (0,00063· h_{ef}^2 +0,3283· h_{ef} +17,72; 39,9)	Min (0,268· h_{ef} +38,0; 60,8)	102,7
Częściowy współczynnik bezpieczeństwa	$\gamma_{Ms,C1}^{1)}$ [-]	1,25				
HST4						
Nośność charakterystyczna	$V_{Rk,s,C1}$ [kN]	13,43	Min (0,136· h_{ef} +13,83; 21,97)	Min (0,476· h_{ef} +4,61; 33,16)	Min (0,432· h_{ef} +13,4; 50,13)	77,6
Nośność charakterystyczna przy użyciu zestawu wypełniającego	$V_{Rk,s,C1}$ [kN]	13,43	Min (0,136· h_{ef} +13,83; 21,97)	Min (0,476· h_{ef} +4,61; 33,16)	Min (0,432· h_{ef} +13,4; 50,13)	100,4
Częściowy współczynnik bezpieczeństwa	$\gamma_{Ms,C1}^{1)}$ [-]	1,25				
Zniszczenie przez podważenie betonu ²⁾						
HST4-R, HST4						
Efektywna głębokość zakotwienia	h_{ef} [mm]	30-90	30-100	40-125	65-160	101-180
Montażowy współczynnik bezpieczeństwa	γ_{inst} [-]	1,00				
Zniszczenie krawędzi betonu ²⁾						
Efektywna głębokość zakotwienia	h_{ef} [mm]	30-90	30-100	40-125	65-160	101-180
Montażowy współczynnik bezpieczeństwa	γ_{inst} [-]	1,00				

¹⁾ W przypadku braku innych przepisów krajowych

²⁾ Zniszczenie przez podważenie betonu i zniszczenie krawędzi betonu - patrz norma EN 1992-4:2018

Hilti HST4-R, HST4

Właściwości użytkowe

Nośność charakterystyczna pod wpływem oddziaływań sejsmicznych, kategoria sejsmiczna C1

Załącznik C7

Tłumaczenie z języka angielskiego na język polski wykonano na zlecenie Hilti

Tabela C7: Wartości charakterystyczne nośności pod wpływem obciążenia rozciągającego w przypadku kategorii sejsmicznej C2

Rozmiar			M8	M10	M12	M16	M20
Zniszczenie stali							
Efektywna głębokość zakotwienia	h_{ef}	[mm]	30-90	30-100	40-125	65-160	101-180
HST4-R							
Nośność charakterystyczna	$N_{Rk,s,C2}$	[kN]	22,0	32,5	40,0	75,0	115,8
Częściowy współczynnik bezpieczeństwa	$\gamma_{Ms,C2}^{1)}$	[-]	1,4				
HST4							
Nośność charakterystyczna	$N_{Rk,s,C2}$	[kN]	21,0	32,5	40,0	75,0	124,2
Częściowy współczynnik bezpieczeństwa	$\gamma_{Ms,C2}^{1)}$	[-]	1,4				
Zniszczenie przez wyciągnięcie kotwy							
Efektywna głębokość zakotwienia	h_{ef}	[mm]	30-90	30-100	40-125	65-160	101-180
HST4-R							
Nośność charakterystyczna	$N_{Rk,p,C2}$	[kN]	Min (0,09· h_{ef} + 0,33; 5,0)	Min (0,25· h_{ef} – 2,44; 12,7)	Min (0,33· h_{ef} – 2,68; 22,0)	Min (0,69· h_{ef} – 25,25; 36,8)	35,0
Montażowy współczynnik bezpieczeństwa	γ_{inst}	[-]	1,0				
HST4							
Nośność charakterystyczna	$N_{Rk,p,C2}$	[kN]	Min (0,07· h_{ef} + 1,09; 4,61)	Min (0,253· h_{ef} – 2,67; 12,51)	Min (0,380· h_{ef} – 6,875; 21,6)	Min (0,824· h_{ef} – 35,93; 38,2)	35,0
Montażowy współczynnik bezpieczeństwa	γ_{inst}	[-]	1,0				
Zniszczenie przez wyłamanie stożka betonu ²⁾							
HST4-R, HST4							
Efektywna głębokość zakotwienia	h_{ef}	[mm]	30-90	30-100	40-125	65-160	101-180
Montażowy współczynnik bezpieczeństwa	γ_{inst}	[-]	1,0				
Współczynnik	$k_1=k_{Cr,N}$	[-]	7,7	8,9	8,9	8,9	7,7
Zniszczenie przez rozłupanie ²⁾							
Efektywna głębokość zakotwienia	h_{ef}	[mm]	30-90	30-100	40-125	65-160	101-180
Montażowy współczynnik bezpieczeństwa	γ_{inst}	[-]	1,0				

¹⁾ W przypadku braku innych przepisów krajowych

²⁾ Zniszczenie przez wyłamanie stożka betonu i rozłupanie podłoża - patrz norma EN 1992-4:2018.

Hilti HST4-R, HST4

Właściwości użytkowe

Nośność charakterystyczna oraz przemieszczenia pod wpływem oddziaływań sejsmicznych, kategoria sejsmiczna C2

Załącznik C8

Tłumaczenie z języka angielskiego na język polski wykonano na zlecenie Hilti

Tabela C8: Przeszacowania pod wpływem obciążenia rozciągającego w przypadku kategorii sejsmicznej C2

Rozmiar			M8	M10	M12	M16	M20
Efektywna głębokość zakotwienia	h_{ef}	[mm]	30-90	30-100	40-125	65-160	101-180
HST4-R							
Przeszacowanie DLS	$\delta_{N,C2(DLS)}$	[mm]	3,4	3,4	3,5	4,6	6,9
Przeszacowanie ULS	$\delta_{N,C2(ULS)}$	[mm]	10,1	22,9	17,3	13,9	18,4
HST4							
Przeszacowanie DLS	$\delta_{N,C2(DLS)}$	[mm]	3,8	3,9	4,0	5,6	6,9
Przeszacowanie ULS	$\delta_{N,C2(ULS)}$	[mm]	10,1	22,9	18,7	16,2	18,4

Tabela C9: Wartości charakterystyczne nośności pod wpływem obciążenia ścinającego w przypadku kategorii sejsmicznej C2

Rozmiar			M8	M10	M12	M16	M20
Zniszczenie stali							
Współczynnik zmniejszający zgodnie z EN 1992-4:2018 bez wypełniania szczeliny	α_{gap}	[-]	0,5				
Współczynnik zmniejszający zgodnie z normą EN 1992-4:2018 przy użyciu zestawu wypełniającego	α_{gap}	[-]	1,0				
Efektywna głębokość zakotwienia	h_{ef}	[mm]	30-90	30-100	40-125	65-160	101-180
HST4-R							
Nośność charakterystyczna	$V_{Rk,s,C2}$	[kN]	Min (0,11· h_{ef} +5,06; 10,2)	Min (0,14· h_{ef} +10,24; 18,8)	Min (0,20· h_{ef} +12,05; 24,0)	51,3	49,5
Nośność charakterystyczna przy użyciu zestawu wypełniającego	$V_{Rk,s,C2}$	[kN]	Min (0,11· h_{ef} +5,06; 10,2)	Min (0,14· h_{ef} +10,24; 18,8)	Min (0,20· h_{ef} +12,05; 24,0)	51,3	67,4
Częściowy współczynnik bezpieczeństwa	$\gamma_{Ms,C2}^{1)}$	[-]	1,25				
HST4							
Nośność charakterystyczna	$V_{Rk,s,C2}$	[kN]	Min (0,186· h_{ef} +2,452; 10,81)	Min (0,157· h_{ef} +8,321; 17,77)	Min (0,114· h_{ef} +18,487; 26,46)	Min (0,299· h_{ef} +19,463; 44,91)	66,9
Nośność charakterystyczna przy użyciu zestawu wypełniającego	$V_{Rk,s,C2}$	[kN]	Min (0,186· h_{ef} +2,452; 10,81)	Min (0,157· h_{ef} +8,321; 17,77)	Min (0,114· h_{ef} +18,487; 26,46)	Min (0,299· h_{ef} +19,463; 44,91)	84,3
Częściowy współczynnik bezpieczeństwa	$\gamma_{Ms,C2}^{1)}$	[-]	1,25				

Hilti HST4-R, HST4

Właściwości użytkowe

Nośność charakterystyczna oraz przeszacowania pod wpływem oddziaływań sejsmicznych, kategoria sejsmiczna C2

Załącznik C9

Tłumaczenie z języka angielskiego na język polski wykonano na zlecenie Hilti

Tabela C9: ciąg dalszy

Rozmiar		M8	M10	M12	M16	M20
Zniszczenie przez podważenie betonu ²⁾						
HST4-R, HST4						
Efektywna głębokość zakotwienia	h_{ef} [mm]	30-90	30-100	40-125	65-160	101-180
Montażowy współczynnik bezpieczeństwa	γ_{inst} [-]	1,00				
Zniszczenie krawędzi betonu ²⁾						
Efektywna głębokość zakotwienia	h_{ef} [mm]	30-90	30-100	40-125	65-160	101-180
Montażowy współczynnik bezpieczeństwa	γ_{inst} [-]	1,00				

¹⁾ W przypadku braku innych przepisów krajowych

²⁾ Zniszczenie przez wyłamanie stożka betonu i rozłupanie podłoża - patrz norma EN 1992-4:2018

Tabela C10: Przemieszczenia pod wpływem obciążenia ścinającego w przypadku kategorii sejsmicznej C2

Rozmiar		M8	M10	M12	M16	M20
Efektywna głębokość zakotwienia	h_{ef} [mm]	30-90	30-100	40-125	65-160	101-180
Przemieszczenia						
HST4-R						
Przemieszczenie DLS	$\delta_{V,C2}$ (DLS) [mm]	3,8	4,1	5,1	4,5	3,9
Przemieszczenie DLS przy użyciu zestawu wypełniającego	$\delta_{V,C2}$ (DLS) [mm]	¹⁾	¹⁾	¹⁾	¹⁾	2,2
Przemieszczenie ULS	$\delta_{V,C2}$ (ULS) [mm]	6,2	8,2	9,9	7,5	7,0
Przemieszczenie ULS przy użyciu zestawu wypełniającego	$\delta_{V,C2}$ (ULS) [mm]	¹⁾	¹⁾	¹⁾	¹⁾	5,8
HST4						
Przemieszczenie DLS	$\delta_{V,C2}$ (DLS) [mm]	3,1	5,0	5,0	4,9	5,2
Przemieszczenie DLS przy użyciu zestawu wypełniającego	$\delta_{V,C2}$ (DLS) [mm]	¹⁾	¹⁾	¹⁾	¹⁾	1,9
Przemieszczenie ULS	$\delta_{V,C2}$ (ULS) [mm]	4,9	8,3	7,5	9,0	10,0
Przemieszczenie ULS przy użyciu zestawu wypełniającego	$\delta_{V,C2}$ (ULS) [mm]	¹⁾	¹⁾	¹⁾	¹⁾	5,3

¹⁾ Nie oceniano właściwości użytkowych

Hilti HST4-R, HST4

Właściwości użytkowe

Nośność charakterystyczna oraz przemieszczenia pod wpływem oddziaływań sejsmicznych, kategoria sejsmiczna C2

Załącznik C10

Tłumaczenie z języka angielskiego na język polski wykonano na zlecenie Hilti

Tabela C11: Nośność charakterystyczna ze względu na rozciąganie pod wpływem narażenia na działanie ognia w betonie zarysowanym

Rozmiar				M8		M10			M12			M16		M20
Efektywna głębokość zakotwienia	h_{ef}	[mm]		30 - 46	47 - 90	30 - 39	40 - 59	60 - 100	40 - 49	50 - 69	70 - 125	65 - 84	85 - 160	101-180
Zniszczenie stali														
HST4-R														
Nośność charakterystyczna	R30	$N_{Rk,s,fi}$	[kN]	2,2	4,9	3,5	5,2	11,8	5,2	9,1	17,1	16,9	31,9	49,8
	R60	$N_{Rk,s,fi}$	[kN]	1,8	3,6	2,9	3,7	8,4	4,4	6,8	12,2	12,6	22,8	35,5
	R90	$N_{Rk,s,fi}$	[kN]	1,4	2,4	2,3	2,5	5,0	3,6	4,5	7,3	8,4	13,6	21,2
	R120	$N_{Rk,s,fi}$	[kN]	1,2	1,7	2,0	2,0	3,3	3,2	3,3	4,8	6,2	9,0	14,1
HST4														
Nośność charakterystyczna	R30	$N_{Rk,s,fi}$	[kN]	0,9	0,9	1,5	1,5	2,4	2,3	2,3	5,2	4,4	9,7	15,2
	R60	$N_{Rk,s,fi}$	[kN]	0,8	0,8	1,2	1,2	1,8	1,7	1,7	3,7	3,2	6,8	10,6
	R90	$N_{Rk,s,fi}$	[kN]	0,7	0,7	0,9	0,9	1,2	1,1	1,1	2,1	2,1	3,9	6,0
	R120	$N_{Rk,s,fi}$	[kN]	0,6	0,6	0,8	0,8	0,9	0,8	0,8	1,3	1,3	2,4	3,8
Zniszczenie przez wyciągnięcie kotwy														
HST4-R														
Nośność charakterystyczna $\geq C20/25$	R30	$N_{Rk,p,fi}$	[kN]											
	R60	$N_{Rk,p,fi}$	[kN]	2,5		5,0			7,0			9,5		9,1
	R90	$N_{Rk,p,fi}$	[kN]											
	R120	$N_{Rk,p,fi}$	[kN]	2,0		4,0			5,6			7,6		7,3
HST4														
Nośność charakterystyczna $\geq C20/25$	R30	$N_{Rk,p,fi}$	[kN]											
	R60	$N_{Rk,p,fi}$	[kN]	3,0		4,7			7,0			9,5		9,1
	R90	$N_{Rk,p,fi}$	[kN]											
	R120	$N_{Rk,p,fi}$	[kN]	2,4		3,8			5,6			7,6		7,3

Hilti HST4-R, HST4

Właściwości użytkowe

Nośność charakterystyczna ze względu na rozciąganie pod wpływem narażenia na działanie ognia

Załącznik C11

Tłumaczenie z języka angielskiego na język polski wykonano na zlecenie Hilti

Tabela C11: ciąg dalszy

Rozmiar		M8		M10			M12			M16		M20
Efektywna głębokość zakotwienia	h_{ef} [mm]	30	47	30	40	60 -	40	50	70 -	65 -	85	101-
		-	-	-	-	100	-	-	125	84	-	180
		46	90	39	59		49	69		160		
Zniszczenie przez wyłamanie stożka betonu												
HST4-R, HST4												
Nośność charakterystyczna $\geq C20/25$	R30	$N_{Rk,c,fi}$ [kN]	$h_{ef} / 200 \cdot N^0_{Rk,c} \leq N^0_{Rk,c}$									
	R60	$N_{Rk,c,fi}$ [kN]										
	R90	$N_{Rk,c,fi}$ [kN]										
	R120	$N_{Rk,c,fi}$ [kN]										
Współczynnik		$k_1 = k_{cr,N}$ [-]	7,7	8,9	8,9	8,9	7,7					
Rozstaw	$s_{cr,N,fi}$ [mm]	$4 h_{ef}$										
	s_{min} [mm]	35	40	50	65	90						
Odległość od krawędzi	$c_{cr,N,fi}$ [mm]	$2 h_{ef}$										
	c_{min} [mm]	Działanie ognia z jednej strony: $2 h_{ef}$ Działanie ognia z więcej niż jednej strony: ≥ 300										

W przypadku braku innych przepisów krajowych, zalecany jest częściowy współczynnik bezpieczeństwa dla nośności pod wpływem narażenia na działanie ognia wynoszący $\gamma_{M,fi} = 1,0$.

Hilti HST4-R, HST4

Właściwości użytkowe

Nośność charakterystyczna ze względu na rozciąganie pod wpływem narażenia na działanie ognia

Załącznik C12

Tłumaczenie z języka angielskiego na język polski wykonano na zlecenie Hilti

Tabela C12: Nośność charakterystyczna ze względu na ścinanie pod wpływem narażenia na działanie ognia w betonie zarysowanym

Rozmiar			M8		M10			M12			M16		M20
Efektywna głębokość zakotwienia	h_{ef}	[mm]	30 - 46	47 - 90	30 - 39	40 - 59	60 - 100	40 - 49	50 - 69	70 - 125	65 - 84	85 - 160	101 - 180
Zniszczenie stali													
HST4-R													
Nośność charakterystyczna	R30	$V_{Rk,s,fi}$ [kN]	2,2	4,9	3,5	5,2	11,8	5,2	9,1	17,1	16,9	31,9	49,8
	R60	$V_{Rk,s,fi}$ [kN]	1,8	3,6	2,9	3,7	8,4	4,4	6,8	12,2	12,6	22,8	35,5
	R90	$V_{Rk,s,fi}$ [kN]	1,4	2,4	2,3	2,5	5,0	3,6	4,5	7,3	8,4	13,6	21,2
	R120	$V_{Rk,s,fi}$ [kN]	1,2	1,7	2,0	2,0	3,3	3,2	3,3	4,8	6,2	9,0	14,1
HST4													
Nośność charakterystyczna	R30	$V_{Rk,s,fi}$ [kN]	0,9	0,9	1,5	1,5	2,4	2,3	2,3	5,2	4,4	9,7	15,2
	R60	$V_{Rk,s,fi}$ [kN]	0,8	0,8	1,2	1,2	1,8	1,7	1,7	3,7	3,2	6,8	10,6
	R90	$V_{Rk,s,fi}$ [kN]	0,7	0,7	0,9	0,9	1,2	1,1	1,1	2,1	2,1	3,9	6,0
	R120	$V_{Rk,s,fi}$ [kN]	0,6	0,6	0,8	0,8	0,9	0,8	0,8	1,3	1,3	2,4	3,8
Zniszczenie stali z oddziaływaniem momentu zginającego													
HST4-R													
Nośność charakterystyczna	R30	$M^0_{Rk,s,fi}$ [Nm]	2,2	5,0	4,5	6,7	15,2	8,1	14,1	26,6	35,9	67,6	132,0
	R60	$M^0_{Rk,s,fi}$ [Nm]	1,8	3,7	3,8	4,8	10,8	6,9	10,5	19,0	26,8	48,2	94,1
	R90	$M^0_{Rk,s,fi}$ [Nm]	1,4	2,4	3,0	3,2	6,5	5,6	7,0	11,3	17,7	28,8	56,3
	R120	$M^0_{Rk,s,fi}$ [Nm]	1,2	1,8	2,6	2,6	4,3	5,0	5,2	7,5	13,2	19,1	37,3
HST4													
Nośność charakterystyczna	R30	$M^0_{Rk,s,fi}$ [Nm]	0,9	0,9	2,0	2,0	3,1	3,6	3,6	8,1	9,3	20,6	40,2
	R60	$M^0_{Rk,s,fi}$ [Nm]	0,8	0,8	1,6	1,6	2,4	2,7	2,7	5,7	6,9	14,4	28,1
	R90	$M^0_{Rk,s,fi}$ [Nm]	0,7	0,7	1,2	1,2	1,6	1,8	1,8	3,2	4,5	8,2	16,0
	R120	$M^0_{Rk,s,fi}$ [Nm]	0,6	0,6	1,0	1,0	1,2	1,3	1,3	2,0	3,3	5,1	10,0

W przypadku braku innych przepisów krajowych, zalecany jest częściowy współczynnik bezpieczeństwa dla nośności pod wpływem narażenia na działanie ognia wynoszący $\gamma_{M,fi} = 1,0$.

Hilti HST4-R, HST4

Właściwości użytkowe

Nośność charakterystyczna ze względu na ścinanie pod wpływem narażenia na działanie ognia

Załącznik C13